



ต้นแบบเปลือกไข่เต่าทะเลไทย : วิเคราะห์โครงสร้างสัณฐานวิทยาและองค์ประกอบชาตุเพื่อการ
อนุรักษ์

โดย
นางสาวสุรัสวดี นวนสุคนธ์

วิทยานิพนธ์นี้เป็นส่วนหนึ่งของการศึกษาตามหลักสูตรปริญญาวิทยาศาสตรมหาบัณฑิต
สาขาวิชาชีววิทยา^๑
ภาควิชาชีววิทยา^๒
บัณฑิตวิทยาลัย มหาวิทยาลัยศิลปากร
ปีการศึกษา 2552
ลิขสิทธิ์ของบัณฑิตวิทยาลัย มหาวิทยาลัยศิลปากร

ต้นแบบเปลือกไข่เต่าทะเลไทย : วิเคราะห์โครงสร้างสัณฐานวิทยาและองค์ประกอบชาตุเพื่อการอนุรักษ์

โดย

นางสาวสุรัสวดี นวนสุคนธ์

วิทยานิพนธ์นี้เป็นส่วนหนึ่งของการศึกษาตามหลักสูตรปริญญาวิทยาศาสตรมหาบัณฑิต

สาขาวิชาชีววิทยา

ภาควิชาชีววิทยา

บัณฑิตวิทยาลัย มหาวิทยาลัยศิลปากร

ปีการศึกษา 2552

ลิขสิทธิ์ของบัณฑิตวิทยาลัย มหาวิทยาลัยศิลปากร

**MODEL OF THAI MARINE TURTLE EGGSHELL : ANALYSIS OF ULTRASTRUCTURE,
MORPHOLOGY AND ELEMENT FOR CONSERVATION**

By

Suraswadee Nuamsukon

**A Thesis Submitted in Partial Fulfillment of the Requirements for the Degree
MASTER OF SCIENCE
Department of Biology
Graduate School
SILPAKORN UNIVERSITY
2009**

บัณฑิตวิทยาลัย มหาวิทยาลัยศิลปากร อนุมัติให้วิทยานิพนธ์เรื่อง “ด้านแบบเปลี่ยนไปฯ เต่า
ทะเลไทย : วิเคราะห์โครงสร้างสัมฐานวิทยาและองค์ประกอบของชาตุเพื่อการอนุรักษ์” เสนอโดย
นางสาวสุรัสวดี นวนสุคนธ์ เป็นส่วนหนึ่งของการศึกษาตามหลักสูตรปริญญาวิทยาศาสตร
มหาบัณฑิต สาขาวิชาชีววิทยา

.....
(รองศาสตราจารย์ ดร.ศิริชัย ชินะตั้งกุร)

คณบดีบัณฑิตวิทยาลัย
วันที่.....เดือน..... พ.ศ.....

อาจารย์ที่ปรึกษาวิทยานิพนธ์
ผู้ช่วยศาสตราจารย์ ดร.มยุรา อารีกิจเสรี

คณะกรรมการตรวจสอบวิทยานิพนธ์

..... ประธานกรรมการ
(ผู้ช่วยศาสตราจารย์ ดร. ธนาพร ชื่นอิ่ม)
...../...../.....

..... กรรมการ
(ผู้ช่วยศาสตราจารย์ ดร. บุญนา ปันยารชุน)
...../...../.....

..... กรรมการ
(ผู้ช่วยศาสตราจารย์ ดร. กมลชนก พานิชการ)
...../...../.....

..... กรรมการ
(อาจารย์ ดร. กัมปนาท ชารากุม)
...../...../.....

..... กรรมการ
(ผู้ช่วยศาสตราจารย์ ดร. มยุรา อารีกิจเสรี)
...../...../.....

50303212 : สาขาวิทยา

คำสำคัญ : เต่ากระ/เต่าตัน/เต่ามะเฟือง/กล้องจุลทรรศน์อิเล็กตรอนแบบส่องกราด

สรุปสวัสดิ์ นวนสุคนธ์ : ต้นแบบเปลือกไข่เต่าทะเลไทย : วิเคราะห์โครงสร้างสัณฐานวิทยาและองค์ประกอบชาตุเพื่อการอนุรักษ์. อาจารย์ที่ปรึกษาวิทยานิพนธ์ : ผศ. ดร. มยุภา อารีกิจเสรี. 109 หน้า.

การศึกษาโครงสร้างและวิเคราะห์องค์ประกอบชาตุของเปลือกไข่เต่าตัน เต่ากระและเต่ามะเฟืองด้วยกล้องจุลทรรศน์แบบส่องกราด โดยใช้หัวตรวจวัด secondary electron imaging (SEI), backscattered electron imaging (BEI) และ energy dispersive X-ray analysis (EDX) พบว่าเปลือกไข่เต่าทะเลแบ่งออกเป็น 3 ชั้น กือชั้นนอก (outer cuticle layer หรือ calcareous layer) ชั้นกลาง (middle layer หรือ middle multistrata layer) และชั้นใน (inner fibrous layer) โดยเปลือกไข่ชั้นนอกมีลักษณะแตกต่างกันในเต่าทะเลแต่ละชนิด เต่าตันและเต่ามะเฟืองมีลักษณะเป็นผลึกหนานมแหลมรวมตัวกันเป็นกลุ่มแพร์รัมี แต่เต่ามะเฟืองมีขนาดของผลึกเล็กและเรียกว่าเต่าตัน ส่วนเต่ากระมีผลึกรูปร่างกลมแทรกกระหว่างกลุ่มของผลึกรูปหนามแหลมซึ่งเรียงตัวชิดกันแน่น ส่วนกลางของกลุ่มผลึกยังคงติดกับฐานเปลือกไข่ชั้นกลาง บริเวณฐานมีรู (pore) ซึ่งอาจมีรูเดียวหรือหลายรูซึ่อมต่อกับเปลือกไข่ชั้นกลาง เปเปลือกไข่ชั้นกลางและชั้นในมีลักษณะเป็นโครงสร้างของ เส้นใยسانกัน มีช่องว่างระหว่างเส้นใยเชื่อมกันเป็นร่างแท้หักห้ามและพนสารประกอบโซเดียมคลอไรด์ในเปลือกไข่ชั้นกลาง จากการวัดความหนาของเปลือกไข่แต่ละชั้นของเต่าตัน 3 ชนิด พบว่ามีความแตกต่างกันอย่างมีนัยสำคัญ ($P<0.05$) ความหนาของเปลือกไข่ชั้นนอกของเต่าตัน เต่ากระและเต่ามะเฟืองเท่ากัน 129.88 ± 14.22 , 117.51 ± 16.19 และ 83.67 ± 17.15 ไมโครเมตร ตามลำดับ ความหนาของเปลือกไข่ชั้นกลางของเต่าตัน เต่ากระและเต่ามะเฟืองเท่ากัน 108.06 ± 13.00 , 118.32 ± 20.06 และ 144.20 ± 2.20 ไมโครเมตร ตามลำดับและความหนาของเปลือกไข่ชั้นในของเต่าตัน เต่ากระ และเต่ามะเฟืองเท่ากัน 11.38 ± 3.07 , 3.72 ± 0.86 และ 9.69 ± 2.53 ไมโครเมตร ตามลำดับ จากการวิเคราะห์ชาตุองค์ประกอบของเปลือกไข่เต่าทะเลทั้ง 3 ชนิด พบว่าประกอบด้วยชาตุคาร์บอน (C) ออกซิเจน (O) แคลเซียม (Ca) กำมะถัน (S) โซเดียม (Na) คลอรีน (Cl) แมกนีเซียม (Mg) ซิลิกอน (Si) โพแทสเซียม (K) อะลูминีียม (Al) ฟลูออรีน (F) และฟอฟอรัส (P) โดยคาร์บอน ออกซิเจนและแคลเซียมเป็นชาตุองค์ประกอบหลัก ซึ่งแคลเซียม สะสมอยู่ในเปลือกไข่ชั้นนอกมากที่สุด ($P<0.05$) พบการปนเปื้อนของชาตุโลหะหนักปริมาณ 0.1-0.5 เปอร์เซ็นต์ กือตะกั่ว (Pb) พาลาเดียม (Pd) และโมลิบดินัม (Mo) ในเปลือกไข่เต่าตัน 3 ชนิด นอกจากนั้นพบทองแดง (Cu) ในเปลือกไข่เต่าตันและเต่ามะเฟืองและพนแแคดเมียม (Cd) ในเปลือกไข่เต่าตัน โดยโลหะหนักที่พบอยู่ในเปลือกไข่ชั้นนอก ยกเว้นโมลิบดินัมที่พบในเปลือกไข่ตั้ง 3 ชั้น นอกจากนี้ยังพบชาตุอื่นๆ คือไบร์มีน (Br) และไอโอดีน (I) ผลจากการศึกษานี้จะเป็นข้อมูลฐานสำหรับการจัดการเกี่ยวกับการอนุรักษ์เต่าทะเลต่อไป

ภาควิชาชีววิทยา

ลายมือชื่อนักศึกษา.....

ลายมือชื่ออาจารย์ที่ปรึกษาวิทยานิพนธ์.....

บัณฑิตวิทยาลัย มหาวิทยาลัยศิลปากร

ปีการศึกษา 2552

50303212 : MAJOR : BIOLOGY

KEY WORDS : *Eretmochelys imbricata*/ *Chelonia mydas*/ *Dermochelys coriacea*/ SCANNING ELECTRON MICROSCOPY

SURASWADEE NUAMSUKON : MODEL OF THAI MARINE TURTLE EGGSHELL : ANALYSIS OF ULTRASTRUCTURE, MORPHOLOGY AND ELEMENT FOR CONSERVATION. THESIS ADVISOR : ASST. PROF. MAYUVA AREEKIJSEREE, Ph.D. 109 pp.

Ultrastructural and elemental analysis of eggshells in 3 marine turtle species; green turtle (*Chelonia mydas*), hawksbill turtle (*Eretmochelys imbricata*), and leatherback turtle (*Dermochelys coriacea*), were studied by scanning electron microscope (SEM) with secondary electron imaging (SEI), backscattered electron imaging (BEI), and energy dispersive X-ray analysis (EDX) detectors. All marine turtle eggshells composed of 3 layers, which were outer cuticle layer or calcareous layer, middle layer or middle multistrata layer, and inner fibrous layer. Generally, morphology of the cuticle layers for all eggshells was thick and porosity. However, there also were different characteristics among 3 eggshell types. The cuticle layers of green turtle eggshell contained loose nodular units forming as clusters of branching needle-like crystals without interlocking attachments. The leatherback turtle eggshells had a cuticle layer which was similar to the green turtle but their crystals were more tapering and smaller. For hawksbill turtles, the cuticle layers contained ball-shape and needle-like crystals. The middle layers and the inner layers consisted of fibers that were firmly forming as network thorough the layers. For the middle layers, sodium chloride was also observed as complexes in the compositions. The outer layer thickness of green turtles, hawksbill turtles, and leatherback turtles were 129.88 ± 14.22 , 117.51 ± 16.19 , and 83.67 ± 17.15 μm , respectively. While the middle layer thickness were 108.06 ± 13.00 , 118.32 ± 20.06 , and 144.20 ± 2.20 μm , respectively, the inner layer thickness of green turtles, hawksbill turtles, and leatherback turtles were 11.38 ± 3.07 , 3.72 ± 0.86 , and 9.69 ± 2.53 μm , respectively. Results from elemental analysis in all 3 marine turtle types showed that they mainly contained carbon (C), oxygen (O), calcium (Ca), sulfur (S), sodium (Na), chlorine (Cl), magnesium (Mg), silicon (Si), potassium (K), aluminium (Al) fluorine (F) and phosphorus (P). Among elements detected, carbon, oxygen, and calcium were found at high percentages. It was found that calcium was accumulated in the outer cuticle layers ($P < 0.05$). Moreover, trace elements, including lead (Pb), palladium (Pd), and molybdenum (Mo), were detected in all 3 eggshell types at the percentages of 0.1-0.5%. Also, copper (Cu) contaminated in leatherback eggshells and cadmium (Cd) was found in green turtle samples. Contaminations of these heavy metals were always seen in the outer layers except for Mo. Finally, there were other elements found in the eggshells which were bromine (Br) and iodine (I). The results from this study would be the fundamental data for further works to management of marine turtle conservation.

Department of Biology Graduate School, Silpakorn University Academic Year 2009

Student's signature.....

Thesis Advisor' s signature

กิตติกรรมประกาศ

การศึกษาวิทยานิพนธ์นี้ คิดถึงขอขอบพระคุณ ผู้ช่วยศาสตราจารย์ ดร. มยุรา อารีกิจเสรี ที่ได้กรุณาให้คำชี้แนะและช่วยเหลือ ตลอดจนแก้ไขปรับปรุงข้อผิดพลาดในการทำวิทยานิพนธ์นี้

ขอขอบพระคุณผู้ช่วยศาสตราจารย์ ดร. ธนาพร ชื่นอิ่ม อาจารย์ ดร. กัมปนาท ราภูมิ ผู้ช่วยศาสตราจารย์ ดร. กลมชนก พานิชการและผู้ช่วยศาสตราจารย์ ดร. บุญนา ปันยารชุน ที่ได้ กรุณาแนะนำและตรวจแก้ไข พร้อมทั้งให้ข้อเสนอแนะ ทำให้งานวิจัยนี้สมบูรณ์ยิ่งขึ้น

ขอขอบคุณสำนักงานโครงการทุนวิจัยมหาบัณฑิต (สกอ) หมายเลขที่ MRG-OSMEP505S192 ที่กรุณาให้การสนับสนุนทุนสำหรับการทำวิจัยในครั้งนี้

ขอขอบคุณคณะกรรมการวิทยาศาสตร์ มหาวิทยาลัยมหาสารคาม ที่กรุณาให้ใช้เครื่องมือ กล้องจุลทรรศน์อิเล็กตรอนแบบส่อง粒ด้วยแสงเพื่อวิเคราะห์ความคงทนของโครงสร้าง

ขอขอบคุณศูนย์อนุรักษ์พันธุ์เต่าทะเล หน่วยบัญชาการต่อสู้อากาศยานและรักษาฝั่ง อ.สัตหีบ จ.ชลบุรี ที่กรุณาให้ความช่วยเหลือและสนับสนุนตัวอย่างเปลือกไข่เต่าตนุและเต่ากระที่ ผ่านการเพาะฟักแล้ว ซึ่งมีแหล่งวางไข่บริเวณเกาะราม จ. ชลบุรีและขอขอบคุณอุทยานแห่งชาติ เขากาดใหญ่-หาดท้ายเหมือง อ. ท้ายเหมือง จ. พังงา ที่กรุณาให้ความช่วยเหลือและสนับสนุนตัวอย่างเปลือกไข่เต่ามะเฟืองที่ผ่านการเพาะฟักแล้วซึ่งมีแหล่งวางไข่บริเวณหมู่เกาะสิมิลัน จ.พังงา

ขอขอบคุณสถาบันวิจัยและพัฒนาทรัพยากรทางทะเล ชายฝั่งและป่าชายเลน กลุ่มสัตว์ ทะเลหายาก จ.ภูเก็ต ที่กรุณาให้การช่วยเหลือและสนับสนุนตัวอย่างเปลือกไข่เต่าทะเลที่ผ่านการ เพาะฟักแล้ว

ขอขอบพระคุณ ศาสตราจารย์พิเศษ พล โภ พิศาล เทพสิทธาและคุณณฤณล เตรียมวัฒนา ที่กรุนามอบเงินทุนการศึกษาเพื่อใช้สำหรับเป็นค่าใช้จ่ายในการนำเสนอผลงาน ณ กรุงโซล ประเทศเกาหลีใต้

ขอขอบคุณคณาจารย์ รองศาสตราจารย์ ดร. อารีย์ ทองภักดี ผู้ช่วยศาสตราจารย์ ดร. โชคพิศิษฐ์ เทพสิทธา ผู้ช่วยศาสตราจารย์ กัลยา ศรีพุทธชาติ อาจารย์นวลอนงค์ นาคคง และ เจ้าหน้าที่ของภาควิชาชีววิทยาทุกคนที่ให้ความสำคัญในด้านต่างๆ ตลอดจนพี่ๆ เพื่อนๆ และ น้องๆ ที่ให้ความช่วยเหลือและกำลังใจเป็นอย่างดี

สุดท้ายขอกราบขอบพระคุณ คุณพ่อ คุณแม่ และครอบครัวที่เป็นกำลังใจและให้การ สนับสนุนการศึกษามาโดยตลอด ทำให้วิทยานิพนธ์ฉบับนี้สำเร็จลงได้ด้วยดี

สารบัญ

	หน้า
บทคัดย่อภาษาไทย	๑
บทคัดย่อภาษาอังกฤษ	๒
กิตติกรรมประกาศ	๓
สารบัญตาราง	๔
สารบัญภาพ	๕
สารบัญภาพประกอบ	๖
 บทที่	
1 บทนำ	1
ความเป็นมาและความสำคัญของปัญหา	1
วัตถุประสงค์ของการวิจัย	2
ขอบเขตของการศึกษา	2
ประโยชน์ที่คาดว่าจะได้รับ	3
นิยามศัพท์เฉพาะ	4
2 เอกสารและงานวิจัยที่เกี่ยวข้อง	5
ชีวิทยาเต่าทะเล	5
วงจรชีวิตเต่าทะเล	12
การวางไข่ของเต่าทะเล	12
การพัฒนาของไข่และตัวอ่อนเต่าทะเล	14
ความทรงจำในแหล่งกำเนิดของลูกเต่าทะเล	17
แหล่งวางไข่ของเต่าทะเลในประเทศไทย	18
งานวิจัยเกี่ยวกับการติดตามการเดินทางของเต่าทะเล	19
งานวิจัยที่เกี่ยวกับเปลือกไข่	20
งานวิจัยเกี่ยวกับไข่และการเจริญเติบโตของตัวอ่อน	24
การปนเปื้อนของโลหะหนักและแบนค์ทีเรียในเต่าทะเล	27
โครงการสร้างผลีกอรากูไนท์และแคลไซท์ที่พบในเปลือกไข่เต่าทะเล	28
หลักการทำงานของกล้องจุลทรรศน์อิเล็กตรอนชนิดส่องการดู	29

บทที่		หน้า
3	อุปกรณ์ สารเคมี และวิธีการทดลอง	37
	ตัวอย่างเปลือกไข่เต่าทะเล	37
	วัสดุ อุปกรณ์และสารเคมี	37
	เครื่องมือ	38
	การเตรียมตัวอย่างเปลือกไข่เต่าทะเล	38
	การทำความสะอาดตัวอย่างเปลือกไข่เต่า	38
	การวิเคราะห์ทางสอดคล้อง	40
4	ผลการทดลอง	45
	ศึกษาสัณฐานวิทยาและ โครงสร้างอย่างละเอียดของเปลือกไข่เต่าตาม เต่ากระ และเต่ามะเฟือง	45
	ความหนาของชั้นเปลือกไข่เต่าทะเล	63
	ชั้นนอก	63
	ชั้นกลาง	64
	ชั้นใน	64
	ศึกษาองค์ประกอบชาตุของเปลือกไข่เต่ากระ เต่าตาม และเต่ามะเฟืองด้วย หัวตรวจวัด EDX	66
	เต่าตาม	66
	เต่ากระ	66
	เต่ามะเฟือง	66
	ศึกษาองค์ประกอบชาตุในแต่ละชั้นของเปลือกไข่เต่ากระ เต่าตาม และ เต่ามะเฟือง โดยใช้หัวตรวจวัด BEI และการทำแผนที่ชาตุองค์ประกอบ	76
5	อภิปรายผลการทดลอง	92
	ศึกษาสัณฐานวิทยาและ โครงสร้างอย่างละเอียดของเปลือกไข่เต่าตาม	92
	ศึกษาองค์ประกอบชาตุของเปลือกไข่เต่ากระ เต่าตาม และเต่ามะเฟือง	94
	ศึกษาองค์ประกอบชาตุในแต่ละชั้นของเปลือกไข่เต่ากระ เต่าตาม และ เต่ามะเฟือง โดยใช้หัวตรวจวัด BEI และการทำแผนที่ชาตุองค์ประกอบ	97
6	สรุปผลการทดลอง	98
	ศึกษาสัณฐานวิทยาและ โครงสร้างอย่างละเอียดของเปลือกไข่เต่าตาม	98

บทที่	หน้า
ศึกษาองค์ประกอบของปลาล็อกไนเตอร์ต่อการเต่าตุ้นและเต่ามะเฟือง	98
ศึกษาองค์ประกอบของปลาตุ้นแต่ละชั้นของปลาล็อกไนเตอร์ต่อการเต่าตุ้นและ เต่ามะเฟืองโดยใช้หัวตรวจวัด BEI และการทำแผนที่ชาตุของค์ประกอบ	99
 บรรณานุกรม	100
 ประวัติผู้วิจัย	108

สารบัญตาราง

ตารางที่		หน้า
1	แสดงเปอร์เซ็นต์ชาตุของค์ประกอบในเปลือกไข่เต่าตุรกีองเพาะพืชและ หลังเพาะพืชในเปลือกไข่ทั้ง 3 ชั้น จากการวิจัยของ Al-Bahry และ คณะ (2009).....	23
2	แสดงผลการวิเคราะห์ชาตุเชิงปริมาณ โดยใช้หัวตรวจ EDX.....	36
3	แสดงจำนวน สถานที่และเวลาที่เก็บตัวอย่างเปลือกไข่เต่าทะเล	38
4	แสดงความหนาของเปลือกไข่ชั้นนอกของเต่าตุรกี ต่ากระและเต่ามะเฟือง.....	63
5	แสดงความหนาของเปลือกไข่ชั้นกลางของเต่าตุรกี ต่ากระและเต่ามะเฟือง.....	64
6	แสดงความหนาของชั้นในของเต่าตุรกี ต่ากระและเต่ามะเฟือง.....	64
7	แสดงความหนาของเปลือกไข่เต่าตุรกี ต่ากระและเต่ามะเฟือง	65
8	แสดงปริมาณชาตุของค์ประกอบในเปลือกไข่เต่าตุรกี	67
9	แสดงปริมาณชาตุของค์ประกอบในเปลือกไข่เต่ากระ	70
10	แสดงปริมาณชาตุของค์ประกอบในเปลือกไข่เต่ามะเฟือง.....	73

สารบัญภาพ

ภาพที่		หน้า
1	แสดงลักษณะกระดองด้านหลัง (carapace) และด้านท้อง (plastron) และเกล็ดบริเวณส่วนหัวของเต่ากระ	8
2	แสดงลักษณะกระดองด้านหลัง (carapace) และด้านท้อง (plastron) และเกล็ดบริเวณส่วนหัวของเต่าตัน	9
3	แสดงลักษณะกระดองด้านหลัง (carapace) และด้านท้อง (plastron) และเกล็ดบริเวณส่วนหัวของเต่าหยา	11
4	แสดงลักษณะกระดองด้านหลัง (carapace) และด้านท้อง (plastron) ของเต่ามะเฟือง	12
5	แสดงโครงสร้างไข่สัตว์เลี้ยงคลาน	15
6	แสดงลักษณะท่อน้ำไข่ (oviduct) ของจะระเข้	16
7	แสดงโครงสร้างของเปลือกไข่	17
8	แสดงเส้นทางการเดินทางของแมเต่าทะเลที่มีแหล่งวางไข่ในประเทศไทย	21
9	แสดงลักษณะการระเจิงของอิเล็กตรอนแบบต่างๆ	32
10	แสดงลักษณะการระเจิงของ SE, BSE และ X-rays	32
11	แสดงส่วนประกอบต่างๆ ภายในกล้องจุลทรรศน์อิเล็กตรอนแบบส่องกราด	33
12	แสดงระดับพลังงานของชาตุ	34
13	แสดงลักษณะหัวตรวจวัด EDX	35
14	แสดงการเตรียมตัวอย่างบนฐานรองตัวอย่างเพื่อศึกษาด้วยกล้องจุลทรรศน์- อิเล็กตรอนแบบส่องกราด	41
15	แสดงการวางชิ้นเปลือกไข่เต่าทะเลบนเทปคาร์บอนในการศึกษาด้วยกล้อง จุลทรรศน์แบบส่องกราด	42
16	แสดงเครื่องขับตัวอย่างด้วยทอง (sputter coater)	42
17	แสดงการวางตัวอย่างในช่องใส่ตัวอย่าง (chamber) ในเครื่อง SEM	43
18	แสดงการแบ่งชั้นต่างๆ ของเปลือกไข่เต่าทะเล	43
19	แสดงการวัดความหนาของเปลือกไข่ด้วยโปรแกรม Smile view	44
20	ภาพจาก SEI แสดงสัมฐานวิทยาของเปลือกไข่เต่าตัน	46

ภาพที่		หน้า
21	ภาพจาก SEI แสดงสัณฐานวิทยาของเปลือกไข่เต่ากระ	47
22	ภาพจาก SEI แสดงสัณฐานวิทยาของเปลือกไข่เต่ามะเฟือง.....	47
23	ภาพจาก SEI แสดงลักษณะเปลือกไข่ชั้นนอกมีผลึกรูปร่างหนามแผลม รวมตัวกันเป็นกลุ่มแพร์ซมีของเต่าต้น.....	48
24	ภาพจาก SEI แสดงลักษณะเปลือกไข่ชั้นนอกซึ่งมีผลึกเป็นรูปร่างหนาม แผลมรวมตัวกันเป็นกลุ่มแพร์ซมีของเต่ากระ.....	48
25	ภาพจาก SEI แสดงลักษณะเปลือกไข่ชั้นนอกของเต่ามะเฟืองเป็นผลึก รูปร่างหนามแผลมรวมตัวกันเป็นกลุ่มแพร์ซมี.....	49
26	ภาพจาก SEI แสดงสัณฐานวิทยาของเปลือกไข่ชั้นนอกของเต่ามะเฟือง เป็นผลึกรูปแท่งคล้ายหนามแผลมรวมกันเป็นกลุ่มแพร์ซมี.....	49
27	ภาพจาก SEI แสดงลักษณะ โครงสร้างผลึกรูปหนามแผลมที่รวมกลุ่มแพร์ซมี ในเปลือกไข่ชั้นนอกของเต่ามะเฟืองเป็นผลึกรูปแท่งยาวคล้ายทรง ระบบอย่างส่วนหักเป็นท่อนล้วนๆ รวมตัวกัน.....	50
28	ภาพจาก SEI แสดงลักษณะ โครงสร้างผลึกรูปหนามแผลมในเปลือกไข่ ชั้นนอกของเต่าต้นเป็นแผ่นผลึกหลากหลาขนาดเรียงช้อนทับกันและ บีดติดกันแน่น	50
29	ภาพจาก SEI แสดงลักษณะ โครงสร้างผลึกรูปหนามแผลมในเปลือกไข่ ชั้นนอกของเต่ากระ (ถ่ายจากผู้ด้านนอกของเปลือกไข่).....	51
30	ภาพจาก SEI แสดงสัณฐานวิทยาของเปลือกไข่ชั้นนอกของเต่าต้นเป็น [†] ผลึกรูปแท่งรวมกันเป็นกลุ่มหรือก้อนแพร์ซมี	51
31	ภาพจาก SEI แสดงสัณฐานวิทยาของเปลือกไข่ชั้นนอกของเต่าต้น มีลักษณะ เป็นผลึกรูปแท่งรวมกันเป็นกลุ่มแพร์ซมี	52
32	ภาพจาก SEI แสดงสัณฐานวิทยาของเปลือกไข่เต่าต้นชั้นนอก มีลักษณะ เป็นกลุ่มของผลึกเรียงตัวชิดกันแน่นในแนวระนาบแต่ยังสามารถเห็น ว่าผลึกแบ่งเป็นกลุ่มๆ	52
33	ภาพจาก SEI แสดงสัณฐานวิทยาของเปลือกไข่ชั้นนอกของเต่ากระ มีลักษณะ เป็นผลึกรูปแท่งรวมกันเป็นกลุ่มแพร์ซมีและมีผลึกรูปกลมแทรกกระหว่าง กลุ่มผลึกรูปหนามแผลม	53

ภาพที่		หน้า
34	ภาพจาก SEI แสดงสัณฐานวิทยาของเปลือกไช่ชั้นนอกของเต่ากระ เป็นกลุ่มของผลึกเรียงตัวชิดกันแน่นในแนวระนาบ ด้านบนมีผลึกเล็กๆ รวมตัวกันเป็นแผ่นบางๆ ทำให้ผิวด้านบนเปลือกไช่ชั้นนอกของเต่ากระค่อนข้างเสมอ กัน.....	53
35	ภาพจาก SEI แสดงสัณฐานวิทยาของเปลือกไช่เต่ามะเฟืองชั้นนอก มีลักษณะเป็นกลุ่มของผลึกเรียงตัวชิดกันแน่นในแนวระนาบอย่างไม่สม่ำเสมอ ทำให้ผิวด้านบนของเปลือกไช่เต่ามะเฟืองชั้นนอกมีความสูงต่ำไม่เสมอ กัน	54
36	ภาพจาก SEI แสดงสัณฐานวิทยาชั้นของเปลือกไช่ของเต่าต้น ชั้นนอกมีลักษณะเป็นผลึกรูปแท่งรวมกันเป็นกลุ่มแพร่รัศมี เรียงตัวชิดกันแน่น	54
37	ภาพจาก SEI แสดงสัณฐานวิทยาชั้นของเปลือกไช่ของเต่ากระ ชั้นนอกมีลักษณะเป็นผลึกรูปแท่งรวมกันเป็นกลุ่มแพร่รัศมี เรียงตัวชิดกันแน่ และมีผลึกรูปกลมแทรกระหว่างกลุ่มผลึกรูปแท่ง	55
38	ภาพจาก SEI แสดงสัณฐานวิทยาของเปลือกไช่ชั้นนอกของเต่ามะเฟือง มีลักษณะเป็นผลึกรูปหนามแหลมรวมเป็นกลุ่มแพร่รัศมี	55
39	ภาพจาก SEI แสดงลักษณะฐานของกลุ่มผลึกในเปลือกไช่ชั้นนอกของเต่าต้น .	56
40	ภาพจาก SEI แสดงลักษณะฐานของกลุ่มผลึกที่เกิดจากผลึกรูปหนามแหลมรวมตัวแพร่รัศมีในเปลือกไช่ชั้นนอกของเต่ามะเฟือง.....	56
41	ภาพจาก SEI แสดงลักษณะรู (P=pore) ของเต่ามะเฟืองซึ่งเป็นบริเวณที่ส่วนกลางของกลุ่มผลึกยึดติดกับฐานอาจมีรูเดียวหรือหลายรูเชื่อมต่อกับเปลือกไช่ชั้นกลาง	57
42	ภาพจาก SEI แสดงสัณฐานวิทยาเปลือกไช่ชั้นกลางของเต่ามะเฟือง	57
43	ภาพจาก SEI แสดงสัณฐานวิทยาของจุดกำเนิด (PS=primary spherite) ของเต่ามะเฟือง	58
44	ภาพจาก SEI แสดงลักษณะเส้นใย (fiber) ที่سانกันเป็นร่างแหของเปลือกไช่ชั้นกลางในเปลือกไช่เต่ามะเฟือง	58

ภาคที่	หน้า	
45	ภาคจาก SEI แสดงลักษณะเส้นใย (fiber) ที่سانกันเป็นร่างแท้และช่องว่างระหว่างเส้นใยในเปลือกไข่ชั้นกลางเต่าตัน	59
46	ภาคจาก SEI แสดงลักษณะเส้นใย (fiber) ที่เรียงตัวسانกันแน่นและช่องว่างระหว่างเส้นใยของเปลือกไข่ชั้นกลางของเต่ากระ	59
47	ภาคจาก SEI แสดงลักษณะเส้นใย (fiber) ที่سانกันเป็นร่างแท้และช่องว่างระหว่างเส้นใยของเปลือกไข่ชั้นกลางในเปลือกไข่เต่ามะเฟือง	60
48	ภาคจาก SEI แสดงสัมฐานวิทยาเปลือกไข่ชั้นในของเต่ากระ	60
49	ภาคจาก SEI แสดงสัมฐานวิทยาเปลือกไข่ชั้นกลาง (middle layer) และชั้นใน (inner fibrous layer) ของเต่าตัน	61
50	ภาคจาก SEI แสดงสัมฐานวิทยาเปลือกไข่ชั้นกลาง (middle layer) และชั้นใน (inner fibrous layer) ของเต่ามะเฟือง	61
51	ภาคจาก SEI แสดงลักษณะเปลือกไข่ชั้นใน (ถ่ายจากผิวด้านใน) ของเต่าตัน	62
52	ภาคจาก SEI แสดงลักษณะเปลือกไข่ชั้นใน (ถ่ายจากผิวด้านใน) ของเต่ากระ	62
53	ภาคจาก SEI แสดงลักษณะเปลือกไข่ชั้นใน (ถ่ายจากผิวด้านใน) ของเต่ามะเฟือง	63
54	แสดงผลของการทำแผนที่ชาตุองค์ประกอบของเปลือกไข่เต่าตัน	78
55	แสดงผลของการทำแผนที่ชาตุองค์ประกอบของเปลือกไข่เต่าตัน	79
56	แสดงผลของการทำแผนที่ชาตุองค์ประกอบของเปลือกไข่เต่าตัน	80
57	แสดงผลของการทำแผนที่ชาตุองค์ประกอบของเปลือกไข่เต่าตัน	81
58	แสดงลักษณะพลีกในชั้นนอกของเต่าตันที่ถ่ายโดยใช้หัวตรวจวัด BEI (บัน) และ SEI (ล่าง)	82
59	แสดงผลของการทำแผนที่ชาตุองค์ประกอบของเปลือกไข่เต่ากระ	83
60	แสดงผลของการทำแผนที่ชาตุองค์ประกอบของเปลือกไข่เต่ากระ	84
61	แสดงผลของการทำแผนที่ชาตุองค์ประกอบของเปลือกไข่เต่ากระ	85
62	แสดงลักษณะพลีกในเปลือกไข่ชั้นนอกของเต่ากระที่ถ่ายโดยใช้หัวตรวจวัด BEI (บัน) และ SEI (ล่าง)	86
63	แสดงผลของการทำแผนที่ชาตุองค์ประกอบของเปลือกไข่เต่ามะเฟือง	87
64	แสดงผลของการทำแผนที่ชาตุองค์ประกอบของเปลือกไข่เต่ามะเฟือง	88

ภาคที่		หน้า
65	แสดงผลของการทำแผนที่ชาติองค์ประกอบของเปลือกไข่ต่ามະເຟອງ	89
66	แสดงผลของการทำแผนที่ชาติองค์ประกอบของเปลือกไข่ต่ามະເຟອງ	90
67	แสดงลักษณะผลึกในชั้นนอกของเต่ามະເຟອງที่ถ่ายโดยใช้หัวตรวจวัด BEI (บນ) และ SEI (ล่าง)	91

สารบัญภาพประกอบ

กราฟที่		หน้า
1	แสดงความหนาของเปลือกไข่เต่าตุ่น เต่ากระและเต่ามะเฟือง	65
2	แสดงสัดส่วนชาตุ้องค์ประกอบแต่ละชนิดเป็นเปอร์เซ็นต์ในเปลือกไข่ชั้นนอกของเต่าตุ่น ($n = 54$)	68
3	แสดงสัดส่วนชาตุ้องค์ประกอบแต่ละชนิดเป็นเปอร์เซ็นต์ในเปลือกไข่ชั้นกลางของเต่าตุ่น ($n = 54$).....	68
4	แสดงสัดส่วนชาตุ้องค์ประกอบแต่ละชนิดเป็นเปอร์เซ็นต์ในเปลือกไข่ชั้นในของเต่าตุ่น ($n = 54$)	69
5	แสดงสัดส่วนชาตุ้องค์ประกอบแต่ละชนิดเป็นเปอร์เซ็นต์ในเปลือกไข่ชั้นนอกของเต่ากระ ($n = 27$).....	71
6	แสดงสัดส่วนชาตุ้องค์ประกอบแต่ละชนิดเป็นเปอร์เซ็นต์ในเปลือกไข่ชั้นกลางของเต่ากระ ($n = 27$).....	71
7	แสดงสัดส่วนชาตุ้องค์ประกอบแต่ละชนิดเป็นเปอร์เซ็นต์ในเปลือกไข่ชั้นในของเต่ากระ ($n = 27$).....	72
8	แสดงสัดส่วนชาตุ้องค์ประกอบแต่ละชนิดเป็นเปอร์เซ็นต์ในเปลือกไข่ชั้นนอกของเต่ามะเฟือง ($n = 30$).....	74
9	แสดงสัดส่วนชาตุ้องค์ประกอบแต่ละชนิดเป็นเปอร์เซ็นต์ในเปลือกไข่ชั้นกลางของเต่ามะเฟือง ($n = 30$).....	74
10	แสดงสัดส่วนชาตุ้องค์ประกอบแต่ละชนิดเป็นเปอร์เซ็นต์ในเปลือกไข่ชั้นในของเต่ามะเฟือง ($n = 30$).....	75

บทที่ 1

บทนำ

1. ความเป็นมาและความสำคัญของปูยุพา

ประชารกรของเต่าทะเลลดลงอย่างต่อเนื่องจนถึงจุดวิกฤต อันเนื่องมาจากกิจกรรมของมนุษย์ เช่น การวางแผน การลักลอบขุดไปต่อเต่าทะเล ผลกระทบและการสูญเสียแหล่งวางไข่ มีการใช้ประโยชน์จากส่วนต่างๆ ของเต่าทะเล เช่น เนื้อน้ำไปประกอบอาหารเพื่อปรุงโภค ไต ตับและเนื้อเยื่อไขมัน นำไปสักด้น้ำมันเพื่อทำสมุนไพรยาสมานแพล กระดอง (carapace) นำไปทำเป็นเครื่องประดับ (Aguirre, 2006) อนุสัญญาฯ ด้วยการคำรำหัวงประเทศซึ่งชนิดสัตว์ป่าและพืชป่าที่ใกล้สูญพันธุ์ (Convention of International Trade in Endangered Species, CITES) ประกาศให้เต่าทะเลทุกชนิดพันธุ์เป็นสัตว์ป่าใกล้สูญพันธุ์ในชนิดพันธุ์แบบท้ายบัญชีหมายเลข 1 (APPENDIX I) ซึ่งเป็นชนิดพันธุ์ที่ห้ามทำการค้าโดยเด็ดขาด (กฎกระทรวง, 2546) นานาประเทศได้ทำการศึกษาชีววิทยาและนิเวศวิทยาของเต่าทะเลเพื่อความเข้าใจที่ถูกต้องซึ่งจะทำให้ประสิทธิภาพในการอนุรักษ์ดียิ่งขึ้น สำหรับประเทศไทยมีหลายหน่วยงานที่จัดตั้งขึ้นเพื่ออนุรักษ์เต่าทะเล

พ.ศ. 2493 - กองทัพเรือออกประกาศตามพระราชบัญญัติฯ ด้วยเขตปลอดภัยทางราชการ และให้ส่วนบุคคลที่ไม่ได้รับอนุญาตเข้าไปในเขตปลอดภัย ห้ามมิให้ผู้ที่ไม่มีหน้าที่เกี่ยวข้องรวมทั้งนักท่องเที่ยวเข้าไปพื้นที่และมอบหมายให้กรมอุตุศาสตร์เป็นหน่วยแรกที่ดำเนินการ

พ.ศ. 2501 - กรมอุตุศาสตร์โอนให้สถานีทหารเรือสัตหีบดำเนินการอนุรักษ์พันธุ์เต่าทะเล แต่เนื่องจากผู้บัญชาการสถานีทหารเรือสัตหีบ ในขณะนี้ คือ พล.ร.ต.อนันต์ เนตร โภจน์ ดำรงตำแหน่ง ผู้บังคับการกองการฝึก กองเรือยุทธการอีกตำแหน่งหนึ่ง จึงได้ลงคำสั่งให้กองการฝึก กองเรือยุทธการ เป็นผู้ดำเนินการ

พ.ศ. 2522 - สมเด็จพระนางเจ้าฯ พระบรมราชินีนาถ ทรงมีพระราชนิพัทธ์ให้ กรมประมงจัดตั้งโครงการอนุรักษ์พันธุ์เต่าทะเลที่เกาะมันใน อ. แกลง จ. ระยอง

พ.ศ. 2522 - กองทัพเรือมอบให้ฐานทัพเรือสัตหีบ โดยกรมกรมต่อสู้อากาศยานและรักษาฝ่ายรับผิดชอบการดูแลเกาะมันแทนกองการฝึก กองเรือยุทธการ

พ.ศ. 2535 - กรมป่าไม้ประกาศให้อุทัยานแห่งชาติทางทะเลทุกแห่งดำเนินกิจกรรมและการวางแผนการจัดหาการอนุรักษ์เต่าทะเลทั้งระยะสั้นและระยะยาว โดยกำหนดให้ทำการเพาะเลี้ยงเต่าทะเลเพื่อการศึกษาและการปล่อยตามประเพณีได้ไม่เกิน 10 เบอร์เซ็นต์ของจำนวนเต่าที่ฟอกออกจากไป

พ.ศ. 2537 - กองทัพเรือก่อตั้งศูนย์อนุรักษ์พันธุ์เต่าทะเลของทัพเรือ จ. ชลบุรี ซึ่งมีหน่วยงานเฉพาะคือ “หน่วยรักษาทรัพยากรธรรมชาติและอนุรักษ์พันธุ์เต่าทะเล (นรต.)” เพื่อปฏิบัติภารกิจรักษาความปลอดภัยบริเวณเกาะราม เกาะอีร้าและเกาะจาน พร้อมทั้งทำการอนุรักษ์พันธุ์เต่าทะเลไทย 2 ชนิด คือ เต่าตนุ (*Chelonia mydas*) และเต่ากระ (*Eretmochelys imbricata*)

พ.ศ. 2538 - กองทัพเรือขยายการอนุรักษ์ไปทางฝั่งอันดามัน กองเรือภาคที่ 3 กองเรือยุทธการ รับผิดชอบที่ชายหาดสน江南 แหลมปอ ฐานทัพเรือพังงา อ. ท้ายเหมือง จ. พังงา

หน่วยรักษาทรัพยากรธรรมชาติและอนุรักษ์พันธุ์เต่าทะเลทำการอนุรักษ์โดยเก็บไข่เต่าจากชายหาด นำมาเพาะฟักและอนุบาลจนแข็งแรง เมื่ออายุครบ 6 เดือนจึงปล่อยกลับคืนสู่ธรรมชาติ ส่วนของเปลือกไข่ที่เหลือจากการเพาะฟักนั้นเป็นลิ้นที่นกจิจันในนามศึกษาให้เกิดเป็นข้อมูลทางวิชาการที่มีคุณค่า เพื่อประโยชน์ทางอนุกรรมวิชาการและ การอนุรักษ์เต่าทะเลไทย

การอนุรักษ์ทรัพยากรธรรมชาติ คือการรักษาใช้ทรัพยากรธรรมชาติอย่างนดาด การใช้ประโยชน์นั้นจะต้องเกิดผลดีต่อประชากรโลกส่วนรวมมากที่สุด จะต้องรักษาใช้ประโยชน์ให้ได้เป็นเวลาภานานที่สุด ให้มีการสัญเสียทรัพยากรอย่างเปล่าประโยชน์น้อยที่สุดและต้องกระจายการใช้ประโยชน์ให้ทั่วถึงกัน (สารานุกรมไทยสำหรับเยาวชนฯ เล่มที่ 21: 2539) ปัจจัยสำคัญในการอนุรักษ์คือ ข้อมูลพื้นฐานเกี่ยวกับชีวิทยา การวางแผน ไป การอพยพข้ายื่น แหล่งหากิน ซึ่งข้อมูลเหล่านี้กำลังทำการศึกษาโดยกองทัพเรือและจัดแสดงพิพิธภัณฑ์เกี่ยวกับชีวิตของเต่าทะเล เพื่อเป็นแหล่งความรู้แก่เยาวชนและผู้ที่สนใจ แต่ยังคงขาดข้อมูลเกี่ยวกับโครงสร้างเปลือกไข่เต่าทะเลในเชิงลึก ในงานวิจัยนี้ทำการศึกษาลึกโครงสร้าง สัณฐานวิทยาและองค์ประกอบมาตรฐานทางค้านคุณภาพ และปริมาณของเปลือกไข่เต่าด้วย EDX, BEI และ SEI ซึ่งสามารถใช้เป็นข้อมูลพื้นฐาน เพื่อการจัดจำแนกและใช้เป็นข้อมูลพื้นฐานของเปลือกไข่เต่าทะเลชนิดต่างๆ โดยจะเก็บข้อมูลอย่างละเอียดจากเต่าแต่ละสายพันธุ์ในชายฝั่งทะเลต่างๆ บริเวณอ่าวไทยและอันดามัน แล้วทำการวิเคราะห์ข้อมูลทางสถิติ เพื่อดูความสัมพันธ์และเปรียบเทียบเพื่อให้เป็นความรู้แก่บุคคลที่สนใจต่อไป

2. จุดมุ่งหมายและวัตถุประสงค์ของงานวิจัย

1. เพื่อศึกษาโครงสร้างและองค์ประกอบของเปลือกไข่เต่าทะเลอย่างละเอียด
2. เพื่อศึกษาและวิเคราะห์ชาตุที่ประกอบในแต่ละชั้นของเปลือกไข่เต่าทะเล
3. เพื่อจัดทำเป็นข้อมูลพื้นฐานเกี่ยวกับเปลือกไข่เต่าทะเลและศึกษาความเป็นไปได้

ในการใช้โครงสร้างเปลือกไข่เป็นเกณฑ์ในการจัดจำแนกชนิดเต่าทะเล

3. สมมุติฐานของการศึกษา

โครงสร้างและชาตุของค์ประกอบของเปลือกไข่เต่าทะเล แต่ละชนิดอาจจะมีความแตกต่างกัน ซึ่งอาจใช้เป็นข้อมูลพื้นฐานในการจำแนกชนิดของเต่าทะเลของไทยได้ในเบื้องต้น

4. ขอบเขตของการศึกษา

ศึกษาโครงสร้างทางสัณฐานวิทยาและองค์ประกอบชาตุของเปลือกไข่เต่าทะเล 3 ชนิด คือเต่ากระ เต่าคน และเต่ามะเฟืองที่วางไว้บนชายหาดฝั่งอ่าวไทยและอันดามัน

5. ประโยชน์ที่คาดว่าจะได้รับ

การศึกษานี้เป็นการศึกษาสัณฐานวิทยาและโครงสร้างและองค์ประกอบชาตุของเปลือกไข่เต่าทะเลที่วางไว้ที่หาดฝั่งอ่าวไทยและอันดามัน ซึ่งจะใช้เป็นต้นแบบของเปลือกไข่เต่าทะเลไทย โดยศึกษาด้วยกล้องจุลทรรศน์อิเล็กตรอนแบบส่องกล้อง โดยใช้หัวตรวจวัด EDX, BEI และ SEI ซึ่งผลการศึกษาจะเป็นประโยชน์กับงานอนุกรรมวิชาน ในการจัดจำแนกชนิดของเต่าทะเล และยังเป็นข้อมูลที่จะนำไปสู่การศึกษารายละเอียดค้านอื่นๆ ต่อไป เช่น การใช้เปลือกไข่เป็นคันธนีชีวัสดุสภาพแวดล้อมในอันดับของเต่าทะเล ความอุดมสมบูรณ์ของอาหาร การปนเปื้อนของสารเคมี และสารพิษที่อาจมีผลกระทบต่อเต่าทะเลและที่สำคัญอีกประการหนึ่งคือสามารถนำข้อมูลจากงานวิจัยไปใช้ประกอบในการจัดตั้งพิพิธภัณฑ์เต่าทะเลที่สมบูรณ์แบบเพื่อให้ความรู้แก่เยาวชนและบุคคลที่สนใจต่อไป

นิยามศัพท์เฉพาะ

คำย่อ	คำเต็ม
°C	= degree celsius
$\mu\text{g Cd/g}$	= microgram cadmium per gram
AE	= auger electron
BaP	= benzo[a]pyrene
BEI	= backscattered electron imaging
BSE	= backscattered electron
CRT	= cathode ray tube
DMBA	= 7, 12-dimethylbenz[a]anthracene
EDX	= energy dispersive X-ray analysis
GCECD	= gas chromatography with electron capture detection
Hg	= mercury
im	= inframarginal scale
mOs.mol.kg^{-1}	= milli-osmolality mole per kilogram
PAHs	= polycyclic aromatic hydrocarbons
PCBs	= polychlorinated biphenyl
PCDDs	= polychlorinated dibenzodioxins
PCDFs	= polychlorinated dibenofurans
Pf	= prefrontal scales
PNEC	= the predicted no effect concentrations
po	= postocular scales or postorbital scales
PTT	= platform transmitter terminals
r	= rhamphopheca
SE	= secondary electron
SEI	= secondary electron imaging
SEM	= scanning electron microscopy
TE	= transmitted electron

บทที่ 2

เอกสารและงานวิจัยที่เกี่ยวข้อง

1. ชีววิทยาเต่าทะเล

เต่าเป็นสัตว์เลื้อยคลานเพียงกลุ่มเดียวที่มีชีวิตตั้งแต่ในยุคไตรแอลสติกจนถึงยุคปัจจุบัน ที่มีการเปลี่ยนแปลงทางสัณฐานวิทยาน้อยมาก เต่าเป็นสัตว์มีกระดูกสันหลังและมีโครงสร้างแข็ง ห่อหุ้มร่างกายและอวัยวะสำคัญเรียกว่า กระดองซึ่งประสบมาจากการกระดูก เกล็ดที่ห่อหุ้มร่างกายใช้สำหรับป้องกันตัวจากศัตรู มีหัวใจสามห้อง หายใจด้วยปอด มีรูจมูก 2 รูอยู่ทางด้านหน้าส่วนบนของตัว มีหูอยู่บริเวณด้านหลังของตาหนึ่งอุ้มปากเล็กน้อย เต่าทะเลมีการปรับเปลี่ยนโครงสร้างเท้าทั้ง 4 ให้มีลักษณะเป็นพายเพื่อให้เหมาะสมกับการดำรงชีวิตในน้ำ เต่าแบ่งออกเป็น 4 กลุ่มตามลักษณะกระดองและแหล่งที่อยู่อาศัย (บพิชและนันทพร, 2547) ดังนี้

ก. เทอร์เทล (turtles) เป็นเต่าที่จัดอยู่ในประเภทสะเทินน้ำสะเทินบก เรียกว่า amphibious turtles ซึ่งอาศัยอยู่ในแหล่งน้ำจืดและทะเล

บ. เทอร์ราพิน (terrapins) เป็นเต่าน้ำจืดที่มีกระดองแข็ง

ค. เทอร์ทอยส์ (tortoise) เป็นเต่าที่อาศัยบนบก

ง. เทอร์เทลเปลือกอ่อนนุ่ม (soft-shelled turtles) เป็นเต่าที่มีลักษณะลำตัวไม่มีเกล็ด มีผิวนังที่คลุมกระดองซึ่งมีความเหนียวคล้ายกับหนัง ได้แก่ ตะพาบน้ำ

เต่าทะเลอาศัยอยู่ในทะเลเขตตropic มีการดำรงชีวิตอยู่ในน้ำเป็นส่วนใหญ่ ยกเว้นช่วงวางไข่แม่เต่าทะเลจะคลานขึ้นมาบนบก โดยเลือกชายหาดที่เงียบสงบเพื่อขุดหลุมวางไข่ และคลานลงสู่ทะเลเช่นเดิม เนื่องจากเต่าทะเลอาศัยอยู่ในน้ำทะเลตลอดเวลา เต่าทะเลเจิงมีวิธีการรักษาสมดุลของของเหลวในร่างกาย โดยมีระบบการขับเกลือแร่ส่วนเกินออกจากร่างกายทางต่อมน้ำตากซึ่งอยู่หลังลูกตาทั้งสองข้างซึ่งกระบวนการนี้เกิดขึ้นตลอดเวลาดังนั้นในขณะที่เต่าทะเลขึ้นมาบนบกจึงเห็นเมือกไหลออกมากทางตา ซึ่งเมือกที่ขับออกมานั้นแต่ละครั้งมีปริมาณ 300 ถึง 400 มิลลิโอลิตร โมลต่อกรัม (mOs.mol.kg^{-1}) โดยประกอบด้วยโซเดียมไออกอน (Na^+) คลอไรด์ไออกอน (Cl^-) โพแทสเซียม-

ไออ้อน (K^+) แมกนีเซียม ไออ้อน (Mg^{2+}) และไฮโคลเรนคาร์บอเนต ไออ้อน (HCO_3^-) (Nicolson, 1989)

เต่าทะเลทั่วโลกพบอยู่ 8 ชนิด (Eckert และคณะ, 1999) คือ

เต่ากระหรือ Hawksbill turtle (*Eretmochelys imbricata*)

เต่าตนุหรือ Green turtle (*Chelonia mydas*)

เต่าตนุดำหรือ Black turtle (*Chelonia agassizii*)

เต่ามะเฟืองหรือ Leatherback turtle (*Dermochelys coriacea*)

เต่าหัวมือนหรือ Loggerhead turtle (*Caretta caretta*)

เต่าหลังแบนหรือ Flatback turtle (*Natator depressus*)

เต่าหลี่ย่าหรือ Olive ridley turtle (*Lepidochelys olivacea*)

เต่าหลี่ย่าแอกแตลันติกหรือ Kemp's ridley turtle (*Lepidochelys kempii*)

แต่จากการศึกษาลำดับวิวัฒนาการเพื่อจำแนกชนิด (phylogenetic) ของเต่าทะเลโดยใช้รหัสพันธุกรรมของไซโตโครม b (cytochrome b) และรหัสพันธุกรรมในไมโทคอนเดรีย (mtDNA) ด้วย Magic PDR Preps system พบว่าเต่าตนุดำมีลำดับพันธุกรรมที่คล้ายคลึงกับเต่าตนุมากอีกทั้ง เต่าตนุดำพบได้เฉพาะทางตอนใต้ของทะเลแปซิฟิกซึ่งมีจำนวนน้อยมาก ซึ่งผลการศึกษาดังกล่าว สนับสนุนแนวความคิดของ Mrosovsky (1983) ว่าเต่าตนุดำน่าจะเป็นเต่าตนุแบบดำ (melanistic form) จึงได้จัดเต่าตนุดำเป็นชนิดรอง (subspecies) ของเต่าตนุ ปัจจุบัน IUCN ระบุว่าเต่าทะเลมีทั้งสิ้น 7 ชนิด

ในประเทศไทยมีรายงานว่าพบเต่าทะเลเพียง 5 ชนิดคือ เต่ากระ เต่าตนุ เต่ามะเฟือง เต่าหลี่ย่าและเต่าหัวมือน (บุญเลิศ, 2524) แต่หลังจากปี 2530 ถึงปัจจุบันเหลือเพียง 4 ชนิดคือ เต่ากระ เต่าตนุ เต่ามะเฟืองและเต่าหลี่ย่า ที่ยังคงขึ้นมาวางไข่บนชายหาดของไทยทั้งทางฝั่งอ่าวไทยและอันดามัน บริเวณที่เคยพบเต่าทะเลขึ้นวางไข่ทางฝั่งอ่าวไทย ได้แก่ ชายหาดของ จ. ชลบุรี ตราด นครศรีธรรมราช นราธิวาส ประจำวันศรีขันธ์ และปัตตานี ส่วนทางฝั่งอันดามัน ได้แก่ ชายหาดของ จ. ภูเก็ตและพังงา พบร่องรอยน้ำที่เคยวางไข่บนบริเวณชายหาดของ จ. ตรังและสตูล (นิวัติ, 2537)

เต่าทะเลไทยเหลือน้อยมาก ปัจจุบันพบแหล่งวางไข่เต่าทะเลในอ่าวไทยที่ จ. ชลบุรี บริเวณเกาะราม เกาะอีร้า เกาะจาน และเกาะต่างๆ ซึ่งอยู่ในเขตการดูแลของกองทัพเรือ จ. ระยอง บริเวณเกาะมันในและ จ. นครศรีธรรมราช บริเวณเกาะกระ ส่วนทางฝั่งทะเลอันดามันพบที่หมู่เกาะสิมิลันและหมู่เกาะสุรินทร์ พบร่องรอยน้ำที่ จ. พังงาบริเวณหาดท้ายเหมืองและเกาะพระทองและ จ. ภูเก็ต บริเวณหาดในยางและหาดไม้ขาว (นิวัติ, 2537)

เต่าทะเลที่พบรายงานการวางไข่ในประเทศไทยมีทั้งหมด 4 ชนิด จัดอยู่ใน 2 ครอบครัว (Family) (นิวัติ 2537; Eckert และคณะ, 1999) คือ

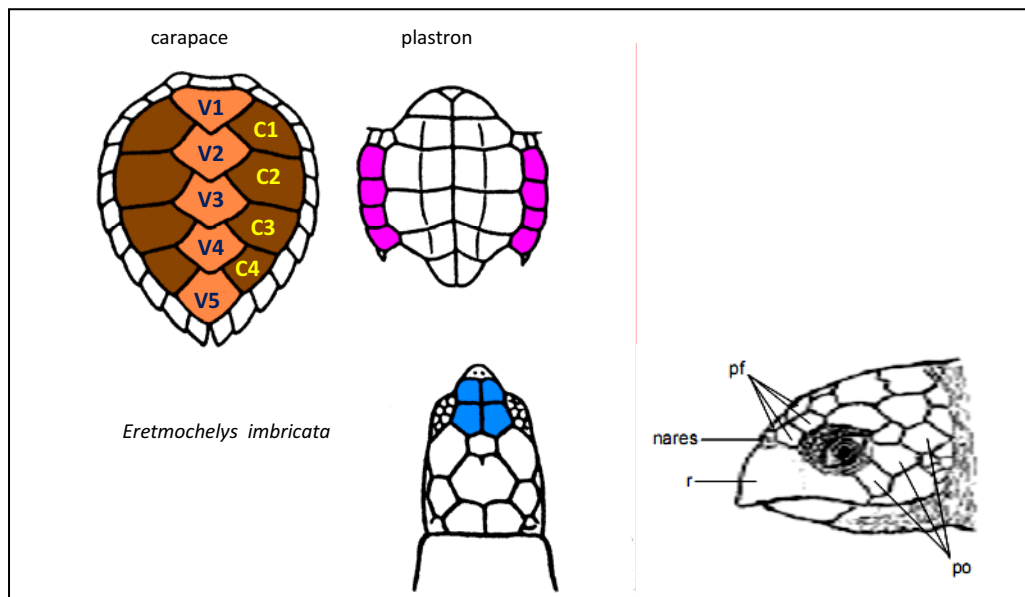
1. Family Cheloniidae มี 3 ชนิด

1.1 เต่ากระ

ชื่อสามัญ Hawksbill turtle

ชื่อวิทยาศาสตร์ *Eretmochelys imbricata*

ลักษณะทางสัณฐานวิทยา งอยปากแหลมซุ่มคล้ายปากเหยียบ มีเกล็ดบนส่วนหัวตอนหน้า (prefrontal scales) 2 คู่ เกล็ดบนหลังแควข้าง (costal scales) มีข้างละ 4 เกล็ด ลักษณะเด่นของเต่ากระคือเกล็ดบนกระดองมีลวดลายเป็นริ้วสีและช่องกันเหินได้ชัดเจน (ภาพที่ 1) เต่ากระตัวโตเต็มที่มีความยาวของกระดองประมาณ 71-91 เซนติเมตร น้ำหนักประมาณ 60-80 กิโลกรัม ขนาดที่สามารถแพร่พันธุ์ได้มีความยาวกระดองประมาณ 70 เซนติเมตร ไข่ของเต่ากระมีขนาดเส้นผ่านศูนย์กลางประมาณ 32-36 มิลลิเมตร จำนวน 110-180 ฟองต่อครั้ง ใหญ่ไปกว่างประมาณ 70-85 เซนติเมตร เต่ากระอาศัยอยู่ตามแนวปะการังมากกินสัตว์จำพวกฟองน้ำ หอย และสัตว์ไม่มีกระดูกสันหลังต่างๆ เป็นอาหาร แหล่งวางไข่ของเต่ากระพบมากในอ่าวไทย บริเวณเกาะรามน้อย เกาะอีรักและเกาะจัน จ. ชลบุรี และฝั่งอันดามัน บริเวณหมู่เกาะสุรินทร์ จ. พังงา



ภาพที่ 1 แสดงลักษณะกระดองด้านหลัง (carapace) และด้านท้อง (plastron) และเกล็ดบริเวณส่วนหัวของเต่ากระ C1-C4 คือเกล็ดบนหลังแคลวข้างด้านละ 4 เกล็ด V1-V5 คือเกล็ดบนหลังแคลวกาง (ventebral scales) มี 5 เกล็ดและเกล็ดบนส่วนหัวตอนหน้า (prefrontal scales; pf) จำนวน 2 คู่ (สีน้ำเงิน) เกล็ดส่วนหัวด้านข้าง (postorbital scales หรือ postocular scales; po) ด้านละ 3 เกล็ดและส่วนด้านหน้าของปาก (rhamphopheca; r)

ที่มา : ¹ สมเกียรติ และคณะ, กรมป่าไม้, สำนักอนุรักษ์ทรัพยากรธรรมชาติ, ส่วนอุทยานแห่งชาติทางทะเล, การสำรวจเต่าทะเล (กรุงเทพฯ: 2543), 48.

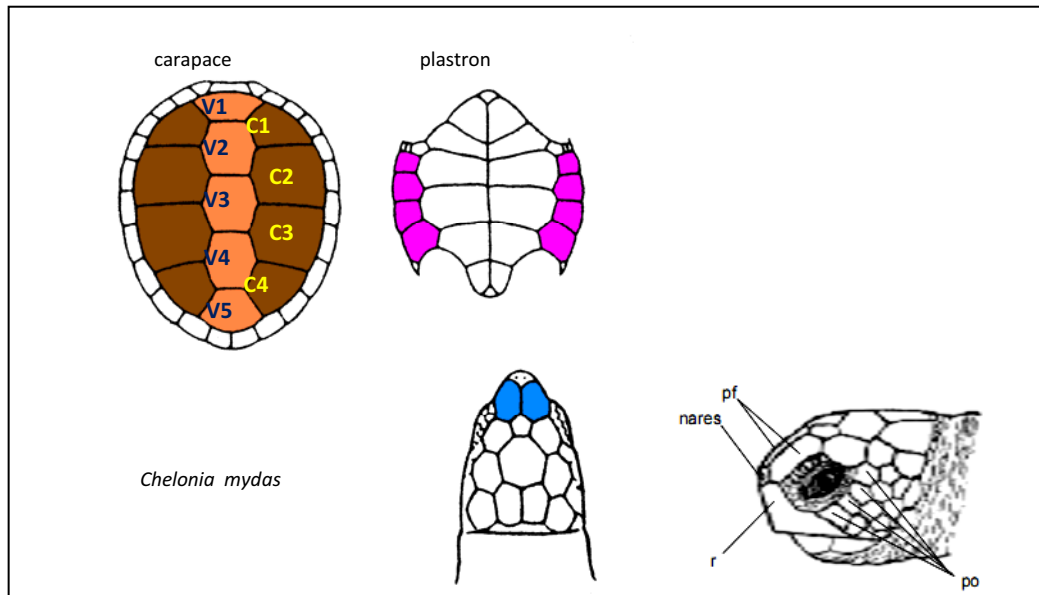
²Eckert และคณะ, Research and management techniques for the conservation of sea turtles (Pennsylvania : Consolidated Graphic Communications, 1999), 235.

1.2 เต่าตนุหรือเต่าแสงอาทิตย์

ชื่อสามัญ Green turtle

ชื่อวิทยาศาสตร์ *Chelonia mydas*

ลักษณะทางสัมฐานวิทยา เกล็ดบนส่วนหัวตอนหน้า (prefrontal scale) จำนวน 1 คู่ เกล็ดบนกระดองแคลวข้าง (costal scale) จำนวน 4 เกล็ด ลักษณะขอบของเกล็ดจะเรื่อมต่อกันไม่ซ้อนกัน สีสันและลวดลายสวยงาม โดยมีกระดองสีน้ำตาลอ่อนเหลือง มีลายริ้วสีจางกว่ากระดองจากส่วนกลางเกล็ด กระดองส่วนใต้ท้องสีเหลืองหรือสีครีมอ่อน (ภาพที่ 2)



ภาพที่ 2 แสดงลักษณะกระดองค้านหลัง (carapace) และค้านท้อง (plastron) และเกล็ดบริเวณส่วนหัวของเต่าตุ๊ C1-C4 คือเกล็ดบนหลังacco ข้างค้านละ 4 เกล็ด V1-V5 คือเกล็ดบนหลังacco กลาง (ventral scales) มี 5 เกล็ดและเกล็ดบนส่วนหัวตอนหน้า (prefrontal scales; pf) จำนวน 1 คู่ (สีน้ำเงิน) เกล็ดส่วนหัวค้านข้าง (postorbital scales หรือ postocular scales; po) ค้านละ 4 เกล็ดและส่วนค้านหน้าของปาก (rhamphopheca; r)

ที่มา : ¹สมเกียรติ และคณะ, กรมป่าไม้, สำนักอนุรักษ์ทรัพยากรธรรมชาติ, ส่วนอุทยานแห่งชาติทางทะเล, การสำรวจเต่าทะเล (กรุงเทพฯ: 2543), 48.

²Eckert และคณะ, Research and management techniques for the conservation of sea turtles (Pennsylvania : Consolidated Graphic Communications, 1999), 235.

เต่าตุ๊โตเต็มที่ขนาดความยาวกระดองประมาณ 90-100 เซนติเมตร น้ำหนักประมาณ 113-182 กิโลกรัม ขนาดที่สามารถแพร์พันธุ์ได้มีความยาวกระดองประมาณ 80 เซนติเมตร ไข่ที่มีขนาดของเส้นผ่านศูนย์กลางประมาณ 40-46 มิลลิเมตร จำนวน 110-130 พองต่อครั้ง หลุมไข่กว้างประมาณ 100-130 เซนติเมตร เต่าตุ๊กินพืชเป็นอาหารหลัก ได้แก่ พวงหญ้าทะเลและสาหร่ายทะเลชนิดต่างๆ เต่าตุ๊ในวัยอ่อนจะกินหิ้งพีชและเนื้อสัตว์เป็นอาหาร เต่าตุ๊มีแหล่งวางไข่ในอ่าวไทย

บริเวณเกาะคราม จ. ชลบุรีและเกาะกระ จ. นครศรีธรรมราช ส่วนทางฝั่งอันดามันพบบริเวณหมู่เกาะสิมิลัน จ. พังงา

1.3 เต่าหลี่

ชื่อสามัญ Olive ridley turtle

ชื่อวิทยาศาสตร์ *Lepidochelys olivacea*

ลักษณะทางสัณฐานวิทยา กระดองเรียบสีเทาอมเขียว ส่วนหัวค่อนข้างโต จอยปากมนให้ญี่คุณและแข็งแรง มีเกล็ดบนหัวตอนหน้า (prefrontal scale) จำนวน 2 คู่ และเกล็ดบนกระดองหลังแคลวข้าง (costal scale) มีจำนวน 6-8 แผ่น ซึ่งเป็นลักษณะพิเศษของเต่าหลี่ กระดองส่วนท้องและกลาง (inframarginal scale) มีรูสำหรับขับถ่ายหรืออุดสีด้านสำหรับประสานรับความรู้สึก จำนวน 5 คู่ (ภาพที่ 3) เต่าหลี่โตเต็มที่มีขนาดความยาวกระดองประมาณ 80 เซนติเมตร น้ำหนักประมาณ 80 กิโลกรัม ขนาดที่สามารถแพร่พันธุ์ได้ความยาวกระดองประมาณ 60 เซนติเมตร กินสัตว์ทะเลได้แก่ ปู ปลา กุ้ง และหอยเป็นอาหาร มีแหล่งวางไข่ทางฝั่งทะเลอันดามัน บริเวณหาดทราย จ. ภูเก็ตและพังงา ส่วนทางฝั่งอ่าวไทยไม่มีรายงานการวางไข่ของเต่าหลี่

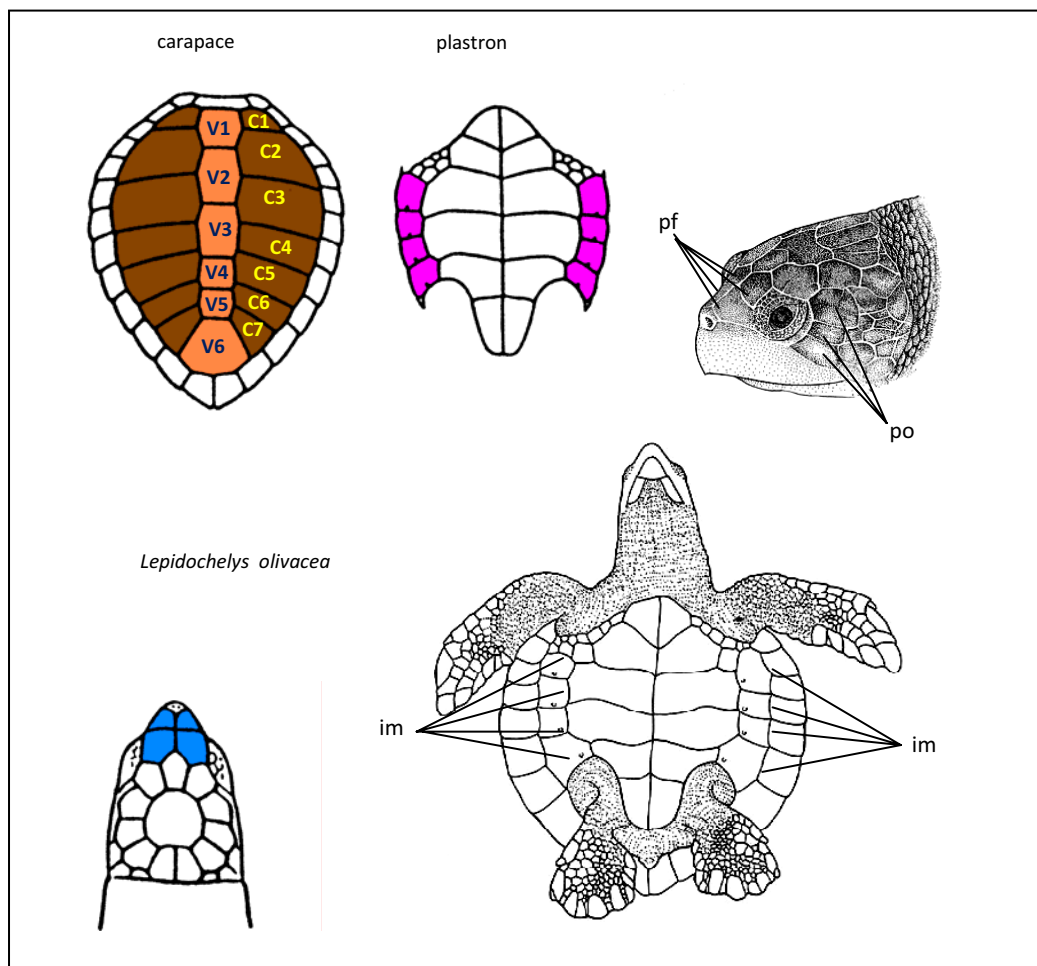
2. Family Dermochelyidae มีเพียงชนิดเดียว คือ

2.1 เต่ามะเฟือง

ชื่อสามัญ Leatherback turtle

ชื่อวิทยาศาสตร์ *Dermochelys coracea*

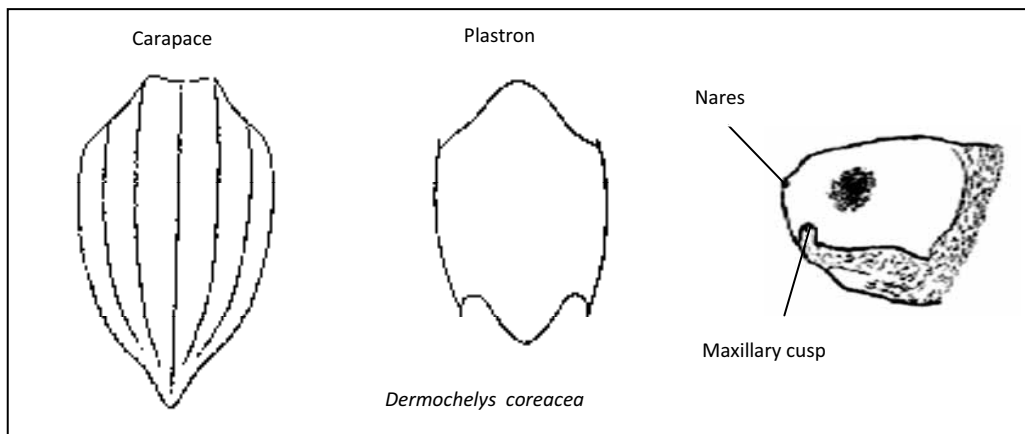
ลักษณะทางสัณฐานวิทยา มีขนาดใหญ่กว่าเต่าทะเลชนิดอื่นๆ กระดอง มีลักษณะเป็นแผ่นหนังหนาสีดำ ไม่มีเกล็ด มีแต้มสีขาวประทึ้งตัว กระดองเป็นสันนูนตามแนวความยาวจากส่วนหัวถึงท้ายจำนวน 7 สัน ส่วนหัวไม่มีเกล็ดปกคลุมจอยปากด้านบนมีลักษณะเป็นหยัก 3 หยัก (ภาพที่ 4)



ภาพที่ 3 แสดงลักษณะกระดองด้านหลัง (carapace) และด้านท้อง (plastron) และเกล็ดบริเวณส่วนหัวของเต่า海龟 C1-C7 คือเกล็ดบนหลังและข้างด้านละ 6-8 เกล็ด V1-V6 คือเกล็ดบนหลังและกลาง (ventebral scales) มี 6 เกล็ดและเกล็ดบนส่วนหัวตอนหน้า (prefrontal scales; pf) จำนวน 2 คู่ (สีน้ำเงิน) เกล็ดส่วนหัวด้านข้าง (postorbital scales หรือ postocular scales; po) ด้านละ 3 เกล็ด เกล็ดบนส่วนหัวตอนหน้าจำนวน 2 คู่ (สีน้ำเงิน) และกระดองส่วนท้องและกลาง (inframarginal scale; im) มีรูสำหรับขับถ่ายหรือรูเปิดสำหรับประสารับความชื้น

ที่มา : ¹สมเกียรติ และคณะ กรมป่าไม้, สำนักอนุรักษ์ทรัพยากรธรรมชาติ, ส่วนอุทยานแห่งชาติทางทะเล, การสำรวจเต่าทะเล (กรุงเทพฯ: 2543), 48.

²Eckert และคณะ, Research and management techniques for the conservation of sea turtles (Pennsylvania : Consolidated Graphic Communications, 1999), 235.



ภาพที่ 4 แสดงลักษณะกระดองด้านหลัง (carapace) และด้านท้อง (plastron) ของเต่ามะเฟืองและส่วนหัวแสดงตำแหน่งของรูจมูก (nares) ลักษณะของปากส่วนล่างที่ยื่นเข้าไปในจอยปากส่วนบน (maxillary cusp) ใช้สำหรับกัดหรือนิ่กอาหาร

ที่มา : ¹สมเกียรติ และคณะ กรมป่าไม้, สำนักอนุรักษ์ทรัพยากรธรรมชาติ, ส่วนอุทยานแห่งชาติทางทะเล, การสำรวจเต่าทะเล (กรุงเทพฯ: 2543), 48.

²Eckert และคณะ, Research and management techniques for the conservation of sea turtles (Pennsylvania : Consolidated Graphic Communications, 1999), 235.

เต่ามะเฟืองตัวโตเต็มที่มีความยาวกระดองประมาณ 180-250 เซนติเมตร น้ำหนักสูงสุดถึง 1,000 กิโลกรัม ขนาดที่สามารถแพร์พันธุ์ได้มีความยาวกระดองประมาณ 150 เซนติเมตร ไข่มีขีนหาด เส้นผ่านศูนย์กลางประมาณ 51-55 มิลลิเมตร จำนวน 80-90 ฟองต่อครั้ง มักกินอาหารจำพวกพืชและสัตว์ที่ล่องลอยตามน้ำ อาหารหลักคือแมลงกระพรุน ปัจจุบันพบเต่ามะเฟืองขึ้นวางไข่อยู่มาก พบร้างบริเวณหาดรายและหมู่เกาะต่างๆ ฝั่งทะเลอันดามัน จ.พังงาและภูเก็ต ปัจจุบันไม่พบเต่ามะเฟืองขึ้นวางไข่บริเวณอ่าวไทย

2. วงจรชีวิตเต่าทะเล

เมื่อถึงฤดูวางไข่เต่าทะเลจะเดินทางจากแหล่งอาหารไปยังแหล่งผสมพันธุ์ ซึ่งจะมีแหล่งที่แน่นอนของเต่าทะเลแต่ละกลุ่ม เต่าทะเลเพศผู้เมื่อผสมพันธุ์เสร็จแล้วจะเดินทางกลับสู่แหล่งอาหารทันที ส่วนเต่าทะเลเพศเมียจะเดินทางไปยังแหล่งวางไข่ซึ่งเชื่อกันว่าเป็นถิ่นเดิมที่เต่ากำเนิด จากการวิจัยพบว่าการเจริญของตัวอ่อนของสัตว์เลือกคลานต้องการแร่ธาตุต่างๆ ซึ่งได้มา

จากไข่แดง (yolk) และเปลือกไข่ (eggshell) (Packard และคณะ, 1984; Packard และ Packard, 1986; Packard และ Packard, 1991; You และ Wang, 1994) เมื่อสูญเสียหัวเหล็กออกจากไข่ประมาณ 7 วัน สูญเสียหัวเหล็กทั้งหมดจะขับตัวพร้อมกันภายในหلامุนไข่ เพื่อให้ทราบที่ปิดปากหلامุนไข่ยุบตัว และคลานเข้าหากหلامุนพร้อมๆ กัน แล้วจึงคลานลงสู่หัวเหล็กซึ่งที่น้ำหัวเหล็กนี้สูงสุดและว่ายน้ำ ติดต่อกันเป็นเวลาหลายวันซึ่งในช่วงนี้สูญเสียจะใช้ไข่แดงที่สะสมอยู่บริเวณท้อง จากนั้นจะหยุดอาศัยโดยตัวอยู่ตามสาร์ยาหรือสิ่งปฏิกูลต่างๆ ที่ล้อมรอบเพื่อหลบศัตรู จากนั้นเดินทางไปสู่แหล่งอาหารในช่วงสูญเสียแรกเกิดเดินทางไปหาภินทร์อยู่บริเวณไหน มีความเป็นอยู่อย่างไรยังไม่ทราบแน่ชัด เนื่องจากจะพบต่อหัวเหล็กเข้ามาหากินตามชายฝั่งเมื่อโตแล้ว คำนวณจากอายุประมาณ 1-2 ปีขึ้นไป เมื่อถึงวัยจริญพันธุ์ซึ่งใช้เวลานานกว่า 10 หรือ 20 ปีซึ่งเป็นอยู่กับชนิดและความสมบูรณ์ของต่อหัวเหล็กแต่ละตัว แม่ต่อหัวเหล็กจะกลับมาระหว่างไข่ในแหล่งเดินซึ่งมีความเฉพาะเจาะจงในต่อหัวเหล็กแต่ละชนิด

3. การวางไข่ของต่อหัวเหล็ก

ต่อหัวเหล็กเป็นสัตว์ที่มีการเดินทางไปอาศัยบริเวณแหล่งอาหารที่ห่างไกลมาก โดยแหล่งอาหารแต่ละแห่งมีต่อหัวเหล็กกลุ่มอาศัยอยู่ด้วยกัน เมื่อถึงฤดูวางไข่ต่อหัวเหล็กจะเดินทางไปผสมพันธุ์ซึ่งจะมีแหล่งที่แน่นอนของต่อหัวเหล็กแต่ละกลุ่ม การผสมพันธุ์ต่อหัวเหล็กผู้จะสามารถผสมกับเพศเมียได้หลายตัวในขณะเดียวกันต่อหัวเหล็กเมียจะผสมกับเพศผู้ได้หลายตัว เช่นกัน และต่อหัวเหล็กเมียสามารถเก็บน้ำเชื้อไว้ภายในรังไข่บริเวณท่อนนำไปสู่ส่วนด้าน (Xiangkun และคณะ, 2006) ได้ในปริมาณมากพอที่จะผสมกับไข่ต่อหัวเหล็กได้ต่อเนื่องต่อๆ ไปจนไม่จำเป็นต้องได้รับการผสมพันธุ์กับต่อหัวเหล็กผู้อื่น เมื่อผสมพันธุ์เสร็จแล้วต่อหัวเหล็กผู้จะเดินทางกลับสู่แหล่งอาหารทันที ส่วนต่อหัวเหล็กเมียจะเดินทางสู่แหล่งวางไข่ซึ่งเชื่อว่าเป็นแหล่งเดินที่เดินกัน (นิรัติ, 2537)

ต่อหัวเหล็กส่วนใหญ่เข้ามาระหว่างไข่ในช่วงที่น้ำขึ้นสูงสุดและวางไข่บนหาดทรายที่เงียบสงบในช่วงเวลากลางคืน แม่ต่อหัวเหล็กหلامุนบริเวณหาดทรายที่สูงกว่าแนวน้ำขึ้นสูงสุด โดยใช้ขาหลังขุดหلامุนทรายและกอบทรายขึ้นมาทึบบริเวณปากหلامุน ความลึกของหلامุนไข่ประมาณ 30-50 เซนติเมตร สำหรับต่อหัวเหล็ก เต่าตันและเต่าหลังและประมาณ 60-80 เซนติเมตร สำหรับต่อหัวเหล็กต่อหัวเหล็กต่อหัวเหล็กที่มีปากหلامุนแคบแต่ก้นหلامุนกว้างกว่า เมื่อแม่ต่อหัวเหล็กหلامุนได้ขนาดตามที่ต้องการแล้ว จึงวางไข่ลงในหلامุน การวางไข่จะปล่อยไข่ออกจากหัวไปครึ่งละ 1-3 ฟอง แม่ต่อหัวเหล็กเรือยาฯ จะหมดใช้เวลาประมาณ 20-30 นาที จำนวนไข่แต่ละครั้งที่แม่ต่อหัวเหล็กวางไข่ประมาณ 70-150 ฟอง

สำหรับเต่ากระ เต่าตนุเต่าหัญชาและ 60-130 ฟอง สำหรับเต่ามะเฟือง ขนาดของไข่เต่าทะเลมีขนาด
เส้นผ่านศูนย์กลางประมาณ 5.5 เซนติเมตร เมื่อแม่เต่าทะเลวางไข่เสร็จแล้วก็จะทำการกลบหลุมไข่
ด้วยทราย โดยใช้ขาหลังกดทรายและกดทรายให้ขุบลงปิดหลุมไข่จนเต็ม จากนั้นก็จะทำการตอบ
หลุมให้แน่นโดยใช้กระดองหน้าอก ใช้ขาหน้ายกขึ้นแล้วตอบลงมาสลับกันซ้ำหลายๆ ครั้งแล้ว
จึงเกลี่ยทรายบริเวณที่วางไข่เป็นวงกว้าง เพื่อทำพรางหลุมไข่ที่แท้จริงและคลานลงสู่ทะเล (นิวัติ,
2537)

ในแต่ละปีเต่าทะเลแต่ละตัวสามารถวางไข่ได้มากกว่า 1 ครั้ง โดยเว้นช่วงตั้งแต่ 12-40
วัน จำนวนครั้งของการขึ้นวางไข่และจำนวนของไข่ขึ้นอยู่กับชนิดและความสมบูรณ์ของแม่เต่า
ทะเล เมื่อวางไข่แล้วแม่เต่าทะเลจะกลับมาระยะห่างหนึ่งหลังจากเวลาผ่านไป 2-4 ปี ดังนั้น
จำนวนรังที่นับได้ในแต่ละปีจึงเปลี่ยนแปลง (สมเกียรติ และคณะ, 2543)

จำนวนครั้งการขึ้นวางไข่ต่อปีเฉลี่ยของเต่าทะเลชนิดต่างๆ (Limpus, 1993)

เต่ามะเฟือง วางไข่ได้ 5 ครั้งต่อปี

เต่าตนุ วางไข่ได้ 5 ครั้งต่อปี

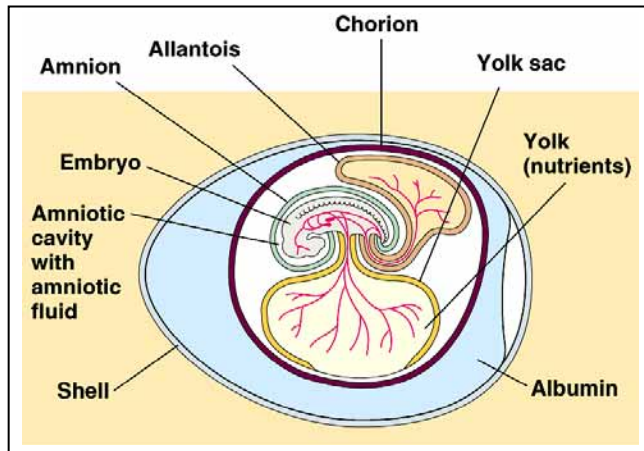
เต่ากระ วางไข่ได้ 4 ครั้งต่อปี

เต่าหัญชา วางไข่ได้ 3 ครั้งต่อปี

เต่าหัวฟ้อน วางไข่ได้ 4 ครั้งต่อปี

4. การพัฒนาของไข่และตัวอ่อนเต่าทะเล

Carpenter (1999) รายงานว่าไข่ของสัตว์เลือยก้านค้านถ่ายคลึงกับไข่นก แต่ไข่
สัตว์เลือยก้านมีไข่ขาวน้อยกว่าไข่นกโดยเฉพาะไข่ตุ๊กแก่ โครงสร้างของไข่สัตว์เลือยก้าน
ประกอบด้วย ตัวอ่อน ถุงหุ้มตัวอ่อนและอัลเลนทอยด์ โโคเรียนและถุงไข่แดง ซึ่งเป็นถุงหุ้มภายนอก
ตัวอ่อน มีไข่แดง ไข่ขาวและเปลือกไข่เป็นแหล่งพลังงานและชาต้อหารสำคัญต่อการเจริญของ
ตัวอ่อน (ภาพที่ 5)

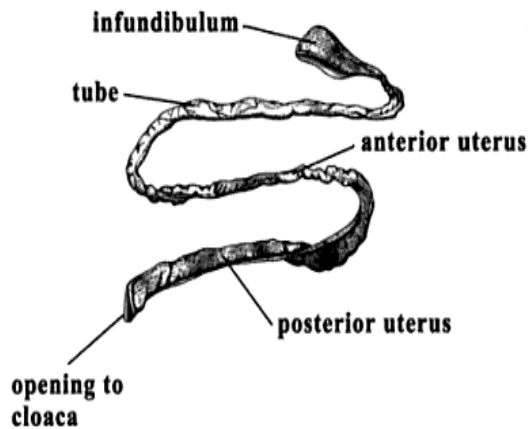


ภาพที่ 5 แสดงโครงสร้างไข่สัตว์เลือกคลานประกอบด้วยตัวอ่อน (embryo) ถุงหุ้มตัวอ่อน (amnion) ถุงอัลเลนทอยด์ (allantois) ถุงหุ้มไข่แดง (yolk sac) และ chorion ซึ่งเป็นถุงหุ้มภายนอกตัว อ่อน (extraembryonic membranes) และมีไข่แดง (yolk) ไข่ขาว (albumin) และเปลือกไข่ (shell) เป็นแหล่งพลังงานและชาตุอาหารแก่ตัวอ่อน

ที่มา : Eckert และคณะ, Research and management techniques for the conservation of sea turtles

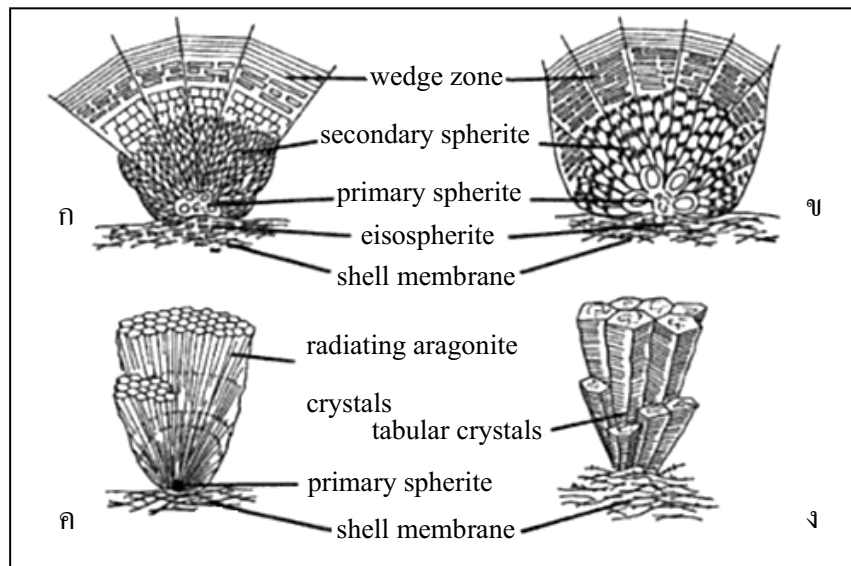
(Pennsylvania : Consolidated Graphic Communications, 1999), 235.

ท่อนำไข่ของสัตว์เลือกคลานแบ่งออกเป็นส่วนๆ ได้แก่ infundibulum, anterior uterus และ posterior โดยกระบวนการสร้างไข่เริ่มจากการพัฒนาของถุงไข่ (follicle) ซึ่งมีขนาด 2-3 มิลลิเมตร แล้วค่อยๆ ขยายใหญ่ขึ้นเป็นไข่แดงที่มีขนาด 3-4 เซนติเมตร ซึ่งการพัฒนาของไข่แดง จะเกิดพร้อมๆ กันหลายร้อยใบ ใช้เวลาอัน 10 เดือน ไข่แดงที่พัฒนาเต็มที่แล้วชุดแรกจะเคลื่อนตัวสู่ ท่อนำไข่ (oviduct) และจะผ่านพันธุ์กับน้ำเชื้อของเต่าทะเลเพศผู้ซึ่งถูกเก็บไว้ในท่อนำไข่ส่วนต้น (Carpenter, 1999; Xiangkun และคณะ, 2008) ไข่ที่ได้รับการผสมแล้วจะเริ่มมีการเจริญของเซลล์ และเคลื่อนไปตามท่อนำไข่ โดยการบีบตัวของกล้ามเนื้อของท่อนำไข่เข่นเดียวกับการบีบตัวของ หลอดอาหารและกระดูกให้สร้างไข่ขาวขึ้นล้อมรอบไข่แดงบริเวณท่อนำไข่ส่วน infundibulum จากนั้นจะสร้างเปลือกไข่หุ้มอีกชั้นหนึ่งบริเวณ anterior uterus (ภาพที่ 6) ใช้เวลาประมาณ 18-24 ชั่วโมง (Carpenter, 1999; Alkindi และคณะ, 2006) เต่าหลายชนิดออกไข่ที่มีเปลือกแข็งและเปลือก ไข่ไม่สองชั้นหลักๆ (Ewert, 1985) ชั้นนอกของเปลือกไข่เรียกว่า calcium layer และชั้นในเรียกว่า membrane layer



ภาพที่ 6 แสดงถุงมัณฑะท่อน้ำไข่ (oviduct) ของจะระเข้ ประกอบด้วย infundibulum ซึ่งเป็นท่อน้ำไข่ ส่วนด้านเป็นบริเวณที่สร้างไข่ขาว anterior uterus เป็นบริเวณที่มีการสร้างเปลือกไข่และ posterior uterus คือท่อน้ำไข่ส่วนปลาย

การสร้างเปลือกไข่เริ่มจากจุดกำเนิดหรือ primary spherite (ภาพที่ 7) ซึ่งติดกับเยื่อเปลือกไข่ (shell membrane) และมีการตกผลึกของแคลเซียมคาร์บอนेट (CaCO_3) หรือแมgnีเซียมคาร์บอนेट (MgCO_3) เป็นแบบอะราโกไนท์ (aragonite) เรียงตัวในแนววัลค์มี (Carpenter, 1999)



ภาพที่ 7 แสดงโครงสร้างของเปลือกไข่ (ก) ไข่นกเพนกวิน (ข) ไข่นกกระจากเทศ (ค) ไข่เต่า (ง) ไข่จะระเข้

การพัฒนาของตัวอ่อนจะเกิดที่ตำแหน่งด้านบนของไข่ ซึ่งเป็นตำแหน่งที่ไข่แดงมีความเข้มข้นน้อยกว่า ตัวอ่อนจะเจริญถึงระบบลาสตูลา (blastula) ในขณะที่อยู่ในห้องน้ำไข่ เมื่อแม่เต่าทะเลวงไข่ ตัวอ่อนเจริญถึงระบบแกสตูลา (gastrula) ในระยะนี้ตัวอ่อนยังไม่เจริญยึดติดกับเยื่อเปลือกไข่ซึ่งช่วงนี้ถ้ามีการเคลื่อนย้ายหรือหมุนไข่เต่า ตัวอ่อนในไข่จะหมุนและลอยตัวขึ้นอยู่ด้านบนของไข่แดงเสมอ เนื่องจากบริเวณด้านบนของไข่แดงมีความเข้มข้นต่ำกว่าด้านล่าง เมื่อตัวอ่อนเต่าทะเลเจริญได้ 3-6 ชั่วโมง เริ่มปรากฏเป็นภาคร่างและเริ่มยึดติดกับเยื่อเปลือกไข่ด้านในโดยผนังเยื่อหุ้มตัวอ่อนจะเชื่อมติดกับเยื่อเปลือกไข่ ในระยะนี้จะมองเห็นจุดสีขาวบนเปลือกไข่จากภายในออก ซึ่งเป็นบริเวณที่ตัวอ่อนใช้ในการแลกเปลี่ยนก้าชกับภายนอก ระยะนี้เป็นระยะที่เประบາงที่สุดสำหรับลูกเต่าทะเล หากเกิดการกระแทกกระเทือนหรือเคลื่อนย้ายไข่เต่าทะเล ตัวอ่อนที่ยึดติดกับเยื่อเปลือกไข่หลุดออกและเสียชีวิตโดยง่าย ดังนั้นการเคลื่อนย้ายไข่เต่าทะเลควรกระทำอย่างรวดเร็วภายใน 3-6 ชั่วโมง ก่อนที่ตัวอ่อนจะยึดติดกับเยื่อเปลือกไข่ ตัวอ่อนจะเจริญเติบโตขึ้นเรื่อยๆ บริเวณสีขาวบนเปลือกไข่จะขยายใหญ่ขึ้นจนรอบไข่ (Zhu, 2006) ตัวอ่อนเต่าทะเลเจริญและมีอวัยวะครบถ้วนส่วนเมือเพาะฟิกได้ประมาณ 25 วัน เมื่ออายุได้ 35 วันลูกเต่าเจริญเติบโตจนมีสีและภาคร่างที่สมบูรณ์ และฟิกออกจากไข่ในวันที่ 40-60 วัน ส่วนเต่ามะเฟืองใช้เวลาประมาณ 60-65 วัน (สมเกียรติ และคณะ, 2543)

ปัจจัยในการเพาะฟิกของไข่เต่าทะเลคืออุณหภูมิและความชื้น จากการวิจัยของ Ramsey และ Crews (2009) พบว่าเพศของเต่าแก้มแดง (*Trachemys scripta elegans*) ลูกกำหนดด้วยอุณหภูมิขณะเพาะฟิก ถ้าไข่เพาะฟิกที่อุณหภูมิ 31 องศาเซลเซียสเต่าจะเป็นเพศเมียแต่ถ้าเพาะฟิกที่ 26 องศาเซลเซียสเต่าจะเป็นเพศผู้และการเจริญเติบโตของตัวอ่อนแบ่งเป็น 26 ระยะ โดยเริ่มสร้าง urogenital ridge ในระยะที่ 13 และเจริญเป็น bipotential gonad ในระยะ 14-16 ต่อมาเริ่มมีการเจริญของเพศในระยะ 16.5/17-19/21 และพัฒนาไปเป็นอวัยวะเพศในระยะ 20/21 จนกระทั่งฟิกเป็นตัว nok จากนี้ยังพบว่าระดับฮอร์โมน สเตียรอยด์ในไข่แดงและสัดส่วนเพศของเต่าส่วนปีง มีความสัมพันธ์กับ โดยเฉพาะเอสโตรเจน เนื่องจากที่อุณหภูมิ 31 องศาเซลเซียส ทำให้บทบาทของเอนไซม์อะโรมาเตส (aromatase) เพิ่มขึ้นซึ่งเอนไซม์อะโรมาเตสไปทำให้เกิดการแสดงออกของยีนที่สร้างตัวรับสเตียรอยด์ (steroid receptor) ได้แก่ ตัวรับเอนโดโรเจน (androgen receptor) คือ (AR), ER_α และ ER_β ซึ่ง ER_α จะไปยับยั้งการแสดงออกของยีน Sox9, Mis, Dmrt1 และ Sf1 ซึ่งเป็นยีนที่ควบคุมการเจริญของเพศผู้ ในขณะเดียวกันเอนไซม์อะโรมาเตสไปทำให้เกิดการแสดงออกของยีน ER_α/AR, FoxL2 และ Rspo1 ซึ่งไปกระตุ้นการทำงานของ ER_β ทำให้มีการเจริญของรังไข่

สำหรับประเทศไทยอุณหภูมิของหลุมไบ่เต่าทะเลได้ทรายอยู่ในช่วง 25-34 องศาเซลเซียส ค่าเฉลี่ย 29.1 องศาเซลเซียส ในธรรมชาติอัตราการเกิดเป็นตัวของลูกเต่าทะเลปกติประมาณ 80-90 เปอร์เซ็นต์ ลูกเต่าแรกเกิดทั่วไปจะมีขนาดความยาวกระดองประมาณ 4-4.5 เซนติเมตร ส่วนลูกเต่ามะเพื่องแรกเกิดความยาวกระดองประมาณ 6 เซนติเมตร (สำนักงานสภากินแบ่งรัฐบาล 2547)

5. ความทรงจำในแหล่งกำเนิดของลูกเต่าทะเล

เนื่องจากแหล่งวางไข่เต่าทะเลแต่ละชนิดจะมีแหล่งจำเพาะ จึงเชื่อว่าลูกเต่าทะเลสามารถจำแหล่งกำเนิดได้ทันทีที่เกิดและคลานลงสู่ทะเล โดยภายในช่องจมูกและประสาทส่วนหน้าซึ่งเป็นประสาทที่ไวต่อการรับกลิ่นหรือสารเคมีมาก ประสาทสัมผัสนี้จะรับรู้ถึงคุณสมบัติทางเคมีของสภาพแวดล้อมบริเวณนั้นและบันทึกความทรงจำของแหล่งกำเนิดนั้นไว เมื่อลูกเต่าทะเลเจริญเติบโตจนกระทั้งถึงวัยเจริญพันธุ์ก็จะเดินทางกลับมาวางไข่ยังแหล่งกำเนิดเดิม แต่ยังไม่เป็นที่ทราบแน่ชัดว่า ความทรงจำต่อแหล่งกำเนิดของลูกเต่าทะเล เกิดในขณะที่ดันตัวออกจากห้องทรัพย์หรือทันทีที่ลงน้ำ (นิวติ, 2537)

จากการทดลองศึกษาปัจจัยที่เกี่ยวข้องกับการกำหนดทิศทางการเดินทางของลูกเต่าทะเล พบว่ากระแสน้ำแม่น้ำหลักโลกมีผลต่อการกำหนดทิศทางการเดินทางของลูกเต่าทะเล โดยลูกเต่าทะเลส่วนใหญ่จะว่ายน้ำในทิศทางทวนคลื่นเสมอ จึงสรุปได้ว่าการเดินทางโดยย้ายถิ่น การเดินทางอันยาวไกล และใช้เวลานานของเต่าทะเลในการเดินทางกลับสู่แหล่งวางไข่ซึ่งเป็นแหล่งกำเนิดเดิมนั้น เต่าทะเลอาจคำนึงถึงกระแสน้ำแม่น้ำหลักโลกประกอบกับทิศทางของกระแสน้ำในการกำหนดทิศทางการเดินทาง และขณะเดียวกันก็ต้องอาศัยสัญญาณความทรงจำในแหล่งกำเนิดเพื่อกำหนดแหล่งวางไข่ ซึ่งโดยทั่วไปเป็นแหล่งที่เกิดหรือแหล่งที่ใกล้เคียงกัน (Avens และคณะ, 2004)

6. แหล่งวางไข่ของเต่าทะเลในประเทศไทย

สำหรับประเทศไทยหมู่เกาะสิมิลัน จ.พังงา เป็นแหล่งวางไข่ของเต่าตนุที่ใหญ่ที่สุด ด้านทะเลอันดามัน สิมิลัน มาจากภาษาอาวี่ซึ่งแปลว่า ก้า หมู่เกาะสิมิลันคือหมู่เกาะทั้งก้า ซึ่งตั้งชื่อหมายเลขอีกด้วยๆ โดยเรียงจากทิศใต้ขึ้นมาทิศเหนือ ประกอบด้วย เกาะช้าง (เกาะหนึ่ง) เกาะปายัง (เกาะสอง) เกาะป่าหยัน (เกาะสาม) เกาะเมียง (เกาะสี่) เกาะห้า เกาะหก เกาะปาย (เกาะเจ็ด) เกาะสิมิลัน (เกาะแปด) และเกาะนาฎ (เกาะเก้า) เนื่องจากหมู่เกาะสิมิลันมีลักษณะเป็น

ชายฝั่งแบบยุบตัวทั้งหมด มีขาสูงชันเป็นพินเกรนิตอายุประมาณ 65 ล้านปี ชายฝั่งส่วนใหญ่เป็นหน้าผา ไม่มีอ่าวขนาดใหญ่ เกาะที่มีชายหาดมี 4 เกาะ ได้แก่ เกาะหูยง เกาะเมียง เกาะป่าญ และเกาะสินิลัน ซึ่งหาดทรายของเกาะทั้งสี่เป็นแหล่งรวมไข่ของแม่เต่าตันที่สำคัญ โดยประมาณ 80 เปอร์เซ็นต์ของแม่เต่าตันจะขึ้นมาวางไข่บนหาดของเกาะหูยง เนื่องจากมีหาดทรายที่ยาวที่สุดถึง 800 เมตร และมีสภาพภูมิประเทศหน้าและหลังหาดที่เอื้อต่อการวางไข่ของเต่าทะเล นอกจากนี้ยังพบแหล่งวางไข่อื่นๆ ของเต่าตัน ได้แก่ ในอ่าวไทย บริเวณเกาะคราม จ. ชลบุรี และเกาะกระ江南ครศรีธรรมราช นอกจากนี้ยังมีแหล่งวางไข่อื่นๆ ได้แก่ แหล่งวางไข่ของเต่ากระ พบทางฝั่งอ่าวไทย บริเวณเกาะครามน้อย เกาะอีร้า เกาะจาน จ. ชลบุรี และฝั่งอันดามัน บริเวณหมู่เกาะสุรินทร์ จ. พังงา แหล่งวางไข่ของเต่าหูยงและเต่ามะเฟือง พบทางฝั่งทะเลอันดามัน บริเวณหาดทรายใน จ. ภูเก็ต และ จ. พังงา (นิวัติ, 2537)

Chantrapornsyl (1993) ทำการศึกษาสถานภาพของเต่าทะเล 4 ชนิดซึ่งได้รับการอนุรักษ์ของไทย ได้แก่ เต่าตัน เต่ากระ เต่าหูยง และเต่ามะเฟือง พบร่วมกับเต่าตันและเต่ากระมีถิ่นที่อยู่อาศัย บริเวณอ่าวไทย เช่น เกาะคราม เกาะอีร้า เป็นต้น มีคุณภาพไข่ระหว่างเดือนพฤษภาคมถึงกรกฎาคม ส่วนเต่าหูยงและเต่ามะเฟือง พบทากทางอันดามัน ได้แก่ เกาะพระทอง เกาะภูเก็ต หมู่เกาะสุรินทร์ หมู่เกาะสินิลัน และหาดท้ายเหมือง มีคุณภาพไข่ระหว่างเดือนพฤษภาคมถึงมีนาคม จำนวนหลุมไข่ทั้งหมด 360 หลุม (ค.ศ. 1985) ลดลงเหลือ 36 หลุม (ค.ศ. 1995) จำนวนของเต่าตันและเต่ากระ ไม่ได้ลดลงอย่างมีนัยสำคัญ ในขณะที่ประชากรของเต่าหูยงและเต่ามะเฟืองกำลังลดลงอย่างมีนัยสำคัญ อันเนื่องมาจากการปัจจัย เช่น การล่าเพื่อเป็นอาหาร ทำเครื่องประดับหรือติดเครื่องมือสำหรับทำการประมงและการสูญเสียแหล่งวางไข่ เป็นต้น

7. งานวิจัยเกี่ยวกับการติดตามการเดินทางของเต่าทะเล

การติดตามเส้นทางการเดินทางของเต่าทะเลทำให้ทราบแหล่งอาหารและแหล่งที่อยู่อาศัยของเต่าทะเล ซึ่งจะมีประโยชน์ในการขอความร่วมมือจากประเทศเพื่อนบ้านในการอนุรักษ์เต่าทะเลร่วมกัน นอกจากนี้ยังเป็นประโยชน์ในการติดตามสภาวะแวดล้อมของแหล่งอาหารและแหล่งที่อยู่อาศัย ซึ่งอาจจะเป็นสาเหตุของการปนเปื้อนในเต่าทะเล

Kittiwattanawong และคณะ (2002) ทำการศึกษาพฤติกรรมของเต่าตันในทะเลอันดามันโดยใช้การติดตามทางดาวเทียม (PTT) ดำเนินการติดเครื่องส่งสัญญาณให้กับเต่าตันจำนวน 4 ตัว ที่มีอายุ 6 เดือนและ 32 วัน แล้วปล่อยลงสู่ทะเลบริเวณเกาะภูเก็ตและหมู่เกาะสินิลัน พบร่วมกับเต่าอายุ 32 วัน มีการว่ายน้ำ 18 ถึง 66 กิโลเมตรต่อวัน ขณะที่เต่าตันอายุ 6 เดือน มีการว่ายน้ำ 2

ถึง 12 กิโลเมตรต่อวัน มีการขึ้นหายใจที่ผิวน้ำเฉลี่ย 9.0 ± 2.0 เปอร์เซ็นต์ต่อวัน อุณหภูมิบริเวณผิวน้ำทะเลประมาณ 29.6 ± 0.1 องศาเซลเซียส และเต่าตนุทั้งสี่ตัวมีแหล่งอาหารอยู่ที่หมู่เกาะอันดามันประเทศไทยเดียว

สุพจน์ และคณะ (2544) ทำการศึกษาและการเดินทางของแม่เต่าทะเลที่มีแหล่งวางไข่ในประเทศไทยโดยใช้เครื่องส่งสัญญาณดาวเทียม โดยได้รับความร่วมมือจากหน่วยงานของกรมประมงและมหาวิทยาลัยเกียวโต ประเทศญี่ปุ่น ดำเนินการติดตั้งเครื่องส่งสัญญาณดาวเทียมบนกระดองหลังของแม่เต่าตนุจำนวน 8 ตัว คือเต่าทะเลฝั่งอ่าวไทย 5 ตัว (เกาะราม จ.ชลบุรี 4 ตัว, เกาะมันใน จ.ระยอง 1 ตัว) และฝั่งทะเลอันดามัน 3 ตัว (สถาบันวิจัยชีววิทยาและประมงทะเล 1 ตัว และเกาะชุมยง หมู่เกาะสินลัน 2 ตัว) ในปี 2543 พบร่องรอยของแม่เต่าตนุที่วางไข่บริเวณเกาะราม เดินทางเลี้ยงชาฟฟ์ไปทางภาคตะวันออกฝั่ง จ.ระยองและจ.ตราด ไปทางแหลมญวนในน่านน้ำของประเทศไทยกัมพูชาและเวียดนาม แต่มีตัวหนึ่งเดินทางข้ามทะเลจีนใต้เข้าสู่ทะเลจีนใต้ ประเทศฟิลิปปินส์ แม่เต่าตนุที่วางไข่บริเวณเกาะมันใน มีเส้นทางการเดินทางลงไปทางทิศใต้ ผ่านกลางอ่าวไทยไปยังบริเวณชายฝั่งด้านทิศตะวันออกของรัฐรัฐรัฐกานู ประเทศมาเลเซีย และบริเวณปลายแหลมลายไก่ลักษณะคล้ายเป็นรากไม้ ตัวที่ 3 เดินทางไปทางทิศตะวันตกมุ่งตรงไปทางหมู่เกาะนิโคบา และเดินทางขึ้นเหนือไปอ่าดีย์บริเวณหมู่เกาะอันดามันของอินเดีย (ภาพที่ 8)



ภาพที่ 8 แสดงเส้นทางการเดินทางของแม่เต่าทะเลที่มีแหล่งวางไข่ในประเทศไทย

ที่มา : ศูนย์อนุรักษ์พันธุ์เต่าทะเล กองทัพเรือ (SEA TURTLES CONSERVATION CENTER). ชีววิทยาของเต่าทะเล [ออนไลน์], เข้าถึงเมื่อ 15 มิถุนายน 2552. ได้จาก <http://www.navy.mi.th/turtles/biologies.htm>

8. งานวิจัยที่เกี่ยวกับเปลือกไข่

เต่าทะเลออกไข่ที่มีเปลือกแข็งและเปลือกไข่มี 3 ชั้น คือชั้น cuticle ชั้น calcium และชั้น membrane (Ewert 1985) เปลือกไข่เต่าทะเลประกอบด้วยแคลเซียมคาร์บอเนต (CaCO_3) ซึ่งมีการฟอร์มลักษณะโครงสร้างแบบอะราโกไนท์ (aragonite) (Hirsch, 1983; Kitimasak, 2003)

Kitimasak และคณะ (2003) ศึกษาไข่ของตะพาบม่านลาย (*Chitra chitra*) ภายใต้กล้องจุลทรรศน์อิเล็กตรอนแบบส่องgranular โดยศึกษาความหนาของโครงสร้างเปลือกไข่และฐานของค์ประกอบของเปลือกไข่โดยใช้ EDX พบร่วมเปลือกไข่ตะพาบม่านลายประกอบด้วย 3 ชั้นคือ outer calcareous sheet, middle crystalline layer และ inner fibrous layer โดยชั้น calcareous มีลักษณะบางมากและมีรูเชื่อมกับ shell unit ในชั้น crystalline ซึ่งมีลักษณะเป็นผลึกแคลเซียม-คาร์บอเนตที่เกิดจากจุดกำนิด (primary spherite) บนชั้น inner fibrous เรียงตัวแบบอะราโกไนท์ เป็นรูปพัดและชั้น inner fibrous มีลักษณะเป็นเส้นใยซ้อนกันหลายชั้นและจากการวิเคราะห์ชาตุองค์ประกอบพบว่าเปลือกไข่ของตะพาบม่านลายประกอบด้วย ออกซิเจน (O) 53.0 ± 4.8 เปอร์เซ็นต์ คาร์บอน (C) 35.0 ± 9.2 เปอร์เซ็นต์ แมกนีเซียม (Mg) 5.55 ± 0.34 เปอร์เซ็นต์ แคลเซียม (Ca) 5.4 ± 7.2

เปอร์เซ็นต์ ซิลิกอน (Si) 2.9 ± 1.6 เปอร์เซ็นต์อลูมิเนียม (Al) 2.3 ± 1.1 เปอร์เซ็นต์ โซเดียม (Na) 0.74 ± 0.3 เปอร์เซ็นต์และโพแทสเซียม (K) 0.17 ± 0.1 เปอร์เซ็นต์

Osborne และ Thompson (2005) ศึกษาโครงสร้างและองค์ประกอบทางเคมีของเปลือกไข่ตุ๊กแก 3 ชนิด ได้แก่ *Lampropolus guichenoti*, *Lampropolus delicata* และ *Physignathus lesueuri* พบร่วมเปลือกไข่ตุ๊กแกทั้ง 3 ชนิดมี 3 ชั้น ได้แก่ outer calcareous layer, fibrous shell membrane และ inner boundary layer ชั้น calcareous มีลักษณะบางมากและมีไอนของแคลเซียม และแมกนีเซียม ชั้น fibrous หนาประกอบด้วยแคลเซียมคาร์บอนเนตเรียงตัวแบบแคลไซท์ (calcite) และชั้น inner boundary บาง มีลักษณะเป็นเส้นใยห้องกัน แต่ใน *P. Lesueuri* มีชั้น amorphous ระหว่างชั้น calcareous กับชั้น fibrous จากการวิเคราะห์ธาตุพบว่าเปลือกไข่ตุ๊กแกประกอบด้วย แคลเซียม แมกนีเซียม คาร์บอน ออกซิเจน อะลูมิเนียม ซิลิกอนและกำมะถัน แต่ไม่พบโซเดียมและโพแทสเซียม พบร่วมแคลเซียมและแมกนีเซียมเฉพาะในชั้น calcareous

Sahoo และคณะ (1998) ศึกษาชาตุประกอบด้วยแคลเซียม แมกนีเซียม กำมะถัน โพแทสเซียมและฟอสฟอรัส ในเปลือกไข่ ไข่แดง ไข่ขาวและตัวอ่อนของเต่าหอย โดยใช้วิธีการไตรเตตโดยใช้สารเคมี thymolphthalexone เป็นตัวบ่งชี้เนื่องจากมีความว่องไวต่อแคลเซียม พบร่วม แคลเซียมเป็นสารอนินทรีย์ที่สำคัญยิ่งต่อการเจริญเติบโตของตัวอ่อน โดยแคลเซียมที่ตัวอ่อนใช้ในการเจริญเติบโต 40 เปอร์เซ็นต์ มาจากไข่แดงและ 60 เปอร์เซ็นต์ มาจากเปลือกไข่ ทั้งนี้สัตว์จำพวกนก เต่าและจะระเหยใช้เปลือกไข่เป็นแหล่งของแคลเซียมลำดับที่ 2 โดยแคลเซียมจากเปลือกไข่จะถูกนำมาใช้หลังจากวันที่ 40 ของการเพาะฟักที่อุณหภูมิ 29.5 องศาเซลเซียส ซึ่งจะแตกต่างกันในแต่ละกลุ่ม พบร่วมสัตว์ที่มีการใช้เปลือกไข่เป็นแหล่งของแคลเซียมสำหรับตัวอ่อนจากมากไปน้อยกึ่งnak เต่าและจะระเหย ตามลำดับ

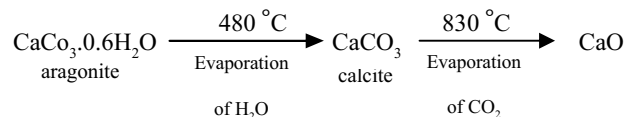
Al-Bahry และคณะ (2009) ศึกษาเปลือกไข่เต่าตุ่นด้วยกล้องจุลทรรศน์อิเล็กตรอนแบบส่องกราด พบร่วมเปลือกไข่เต่าตุ่นมี 3 ชั้น คือชั้นนอก (outer calcareous layer) ชั้นกลาง (compact middle layer with multistrata) และชั้นใน (fibrous innershell membrane) โดยชั้นนอกมีความหนาประมาณ 200.0 ถึง 263.9 ไมโครเมตร มีลักษณะเป็นผลึกที่มีภาพร่างเป็นก้อนกลม (nodular) และหนามแหลม (spicule) โดยผลึกรวมตัวกันเป็นก้อน ซึ่งส่วนกลางของแต่ละกลุ่มก้อนนั้นมีรู (pore) อาจมีรูเดียวหรือหลายรู ซึ่งเกิดจากการسانกันของแท่งผลึกและเส้นใย ส่วนชั้นกลาง หนาประมาณ 106.2 ถึง 131.1 ไมโครเมตร มีลักษณะเป็นโครงสร้างของเส้นใยที่ san กันแน่นทั้งชั้นและชั้นในหนาประมาณ 2.9 ถึง 3.9 ไมโครเมตร ประกอบด้วยเส้นใยที่ san กันเป็นร่างแท (reticular fiber)

และผลึกของโซเดียมคลอไรด์ (NaCl) มีรูปเปิดของโครงสร้างเส้นใยระหว่างชั้นกลางและชั้นใน และจากการวิเคราะห์องค์ประกอบชาตุด้วยหัวตรวจ EDX พบการ์บอน ออกซิเจนและแคลเซียมเป็นส่วนใหญ่และธาตุองค์ประกอบอื่นๆ ในปริมาณที่น้อยมาก เช่น ซิลิกอน กำมะถัน คลอริน อะลูมิเนียม แมgnีเซียม โซเดียม โพแทสเซียมและอื่นๆ ทั้งก้อนและหลังการเผาฟัก แต่พบว่าปริมาณแคลเซียมในเปลือกไช่หลังการเผาฟักในชั้นนอกและชั้นกลางลดลงอย่างมีนัยสำคัญส่วนชั้นในคงที่ เปลือกไช่ชั้นนอกประกอบด้วยแคลเซียมคาร์บอนेट มีโครงสร้างเป็นอะราโกไนท์ 91 เปอร์เซ็นต์ แคลไซซ์ท์ 6 เปอร์เซ็นต์และ瓦特ไรท์ (vaterite) 3 เปอร์เซ็นต์ เปลือกไช่ชั้นกลางประกอบด้วยอะราโกไนท์ 89 เปอร์เซ็นต์และแคลไซซ์ท์ 11 เปอร์เซ็นต์ ผลจากการทำแผนที่ขององค์ประกอบชาตุ (mapping) พบว่าแคลเซียมส่วนใหญ่สะสมอยู่ในเปลือกไช่ชั้นนอก ปริมาณชาตุองค์ประกอบก้อนและหลังการเผาฟัก สรุปได้ดังนี้ (ตารางที่ 1)

ตารางที่ 1 แสดงเปอร์เซ็นต์ชาตุองค์ประกอบในเปลือกไช่ต่ำนูก้อนเผาฟักและหลังเผาฟักในเปลือกไช่ทั้ง 3 ชั้น งานวิจัยของ Al-Bahry และคณะ (2009)

ชาตุ	ชั้นนอก			ชั้นกลาง			ชั้นใน		
	ก้อน	หลัง	เพิ่มขึ้น	ก้อน	หลัง	เพิ่มขึ้น	ก้อน	หลัง	เพิ่มขึ้น
	เพา ฟิก	เพา ฟิก	(+) / ลดลง (-)	เพา ฟิก	เพา ฟิก	(+) / ลดลง (-)	เพา ฟิก	เพา ฟิก	(+) / ลดลง (-)
	(%)	(%)	(%)	(%)	(%)	(%)	(%)	(%)	(%)
คาร์บอน	31.18	40.55	+9.37	43.13	51.38	+8.25	58.62	47.36	-11.26
ออกซิเจน	39.53	34.08	-5.45	39.42	38.68	-0.74	29.09	37.38	+8.29
แคลเซียม	25.32	17.15	-8.17	11.06	2.24	-8.82	6.25	6.60	+0.35
ซิลิกอน	2.30	2.28	-0.02	1.14	2.15	+1.01	0.32	1.39	+1.07
คลอริน	0.91	1.09	+0.18	0.58	1.01	+0.43	0.72	0.65	-0.07
โซเดียม	0.24	0.50	+0.26	0.41	0.71	+0.30	0.34	0.97	+0.63
โพแทสเซียม	0.20	0.33	+0.13	0.41	0.16	-0.25	0.11	0.27	+0.16

ซึ่งเมื่อคิดเปอร์เซ็นต์การเปลี่ยนแปลงของปริมาณธาตุหลังเพาะฟิกเทียบกับปริมาณธาตุเริ่มต้นก่อนเพาะฟิก พบว่าหลังการเพาะฟิกควรบอนเพิ่มขึ้น 7.89 เปอร์เซ็นต์ของควรบอนก่อนเพาะฟิกออกซิเจนเพิ่มขึ้น 4.96 เปอร์เซ็นต์ของออกซิเจนก่อนเพาะฟิก แคลเซียมลดลง 37.19 เปอร์เซ็นต์ของแคลเซียมก่อนเพาะฟิก ชิลิกอนเพิ่มขึ้น 3.29 เปอร์เซ็นต์ของชิลิกอนก่อนเพาะฟิก คลอรินลดลง 16.96 เปอร์เซ็นต์ของคลอรินก่อนเพาะฟิก โซเดียมลดลง 46.94 เปอร์เซ็นต์ของโซเดียมก่อนเพาะฟิกและโพแทสเซียมลดลง 29.53 เปอร์เซ็นต์ของโพแทสเซียมก่อนเพาะฟิกและการทำ thermogravimetry เพื่อศึกษาความบริสุทธิ์ของผลึกพบว่า อะราโกไนท์สามารถเปลี่ยนไปเป็น calcite ได้ จากการทดลองในห้องปฏิบัติการของ Al-Bahry และคณะ (2009) พบว่าอะราโกไนท์เปลี่ยนไปเป็นแคลไซด์ที่ได้เมื่อทำการระเหยน้ำออกที่อุณหภูมิ 480 องศาเซลเซียส ความดันปกติ และแคลไซด์ที่เปลี่ยนไปอยู่ในสภาพของแคลเซียมออกไซด์เมื่อระเหยควรบอนได้ออกไซด์ออกที่ 830 องศาเซลเซียส



Winkler (2006) ศึกษาการจัดแบ่งกลุ่มตามลำดับวิัฒนาการของเต่าคอยาในสกุล (genus) *Chelodina*, *Emydura*, *Elseya*, *Acanthochelys*, *Hydromedusa*, *Phrynops*, *Pelomedusa*, *Erymnochelys*, *Peltocephalus* และ *Podocnemis* โดยใช้ลักษณะทางสัณฐานวิทยาของเปลือกไข่ เป็นเกณฑ์ในการจัดจำแนก พบว่าสามารถแยกกลุ่มของเต่าคอยาได้ถึงระดับสกุลซึ่งสอดคล้องกับ การจำแนกโดยใช้ชุดของยีน 12S rRNA ในไมโครคอนเดรีย

ศัลศรียา (2540) ศึกษาปัจจัยทางสิ่งแวดล้อมต่อการขึ้นวางแผน ไป่ของเต่าหัญชาบ้านหาดทราย จ. ภูเก็ต พบร่วมกับรายงานการว่างไป่ของเต่าหัญชา มีความกว้าง ความชัน ปริมาณน้ำและเกลือในทรายและขนาดเม็ดทรายแตกต่างอย่างมีนัยสำคัญกับหาดที่ไม่มีเต่าหัญชาขึ้นวางแผน ไป่ จากการศึกษาเปรียบเทียบลักษณะทางสัณฐานวิทยาของเปลือก ไป่เต่าหัญชาจากธรรมชาติ และบ่อเลี้ยง พบร่วมกับรายงานการว่างไป่ของเต่าหัญชา มีขนาดเด็นผ่านศูนย์กลางของไป่ น้ำหนักไป่ แต่ความหนาของเปลือกไป่และพลังงานในไป่ แต่บ่อเลี้ยงอย่างมีนัยสำคัญ แต่ความหนาของเปลือก

ไข่ชั้นนอกและเปลือกไข่ในชั้นนี้อยู่ของไข่จากธรรมชาติไม่มีความแตกต่างอย่างมีนัยสำคัญและไม่มีความแตกต่างในระดับโครงสร้างของเปลือกไข่

9. งานวิจัยเกี่ยวกับไข่และการเจริญเติบโตของตัวอ่อน

ในการเจริญของตัวอ่อนของสัตว์เลือยกланต้องการแร่ธาตุต่างๆ ซึ่งได้มาจากการเปลือกไข่แดงและเปลือกไข่ (Packard และคณะ, 1984; Packard และ Packard, 1986; Packard และ Packard, 1991; You และ Wang, 1994) ใน การเจริญของตัวอ่อนของ *Chinemys reevesii* พบร่วมแคลเซียม 54.1 เปอร์เซ็นต์ และแมกนีเซียม 12.3 เปอร์เซ็นต์ ได้มาจากเปลือกไข่ (You และ Wang, 1994)

Thompson และ Speake (2003) พบร่วมกับประกอบพื้นฐานของไข่แดงเป็นไขมน้ำและโปรตีนซึ่งเป็นแหล่งพลังงานและเป็นส่วนสำคัญในการสร้างเนื้อเยื่อของเอมบริโอ นอกจากนี้ยังมีส่วนประกอบอื่นๆ เช่น อนินทรียสาร วิตามิน แครอทินอยด์ น้ำและโซร์โนน ส่วนไออกอนของอนินทรียสารบางชนิดมาจากเปลือกไข่

Stewart และ Thompson (2000) รายงานว่าสัตว์ที่ออกลูกเป็นไข่ (oviparous) ตัวอ่อนจะได้รับสารอาหารจากไข่แดงแต่ได้รับแคลเซียมจากเปลือกไข่เพื่อใช้ในการเจริญเติบโต

Cai และคณะ (2007) พบร่วมการเจริญเติบโตของตัวอ่อนงูลายสาบคอแดง (*Rhabdophis tigrinus lateralis*) แบ่งออกเป็น 3 ระยะ คือ ระยะแรกในวันที่ 1 ถึง 10 นับจากวันที่แม่สูงวัยเป็นระยะที่ตัวอ่อนเริ่มใช้พลังงานจากไข่แดง ระยะที่สองระหว่างวันที่ 10 ถึง 22 หรือ 23 เออมบริโภเจริญเติบโตอย่างรวดเร็วเกิดการลดลงของไข่แดงและระยะที่สามระหว่างวันที่ 22 หรือ 23 จนกระทั่งฟักออกจากไข่เอมบริโภเจริญเติบโตยังคงมีการลดลงของไข่แดงอย่างต่อเนื่องถึง 73.6 เปอร์เซ็นต์ของน้ำหนักแห้ง 50 เปอร์เซ็นต์ของไขมันที่ไม่มีไข้า และ 57.8 เปอร์เซ็นต์ของพลังงานที่นำมายาจากไข่ เพื่อการเจริญเติบโตตลอดช่วงที่เพาะฟักและเอมบริโภใช้แร่ธาตุจากเปลือกไข่เป็นหลักระหว่างการเจริญเติบโตในช่วงท้ายของการเพาะฟัก

Guirlet และคณะ (2008) ศึกษาความเข้มข้นของชาตุโลหะที่จำเป็นต่อตัวอ่อน ได้แก่ ทองแดง สังกะสีและซีลินียม วัดความเข้มข้นของชาตุโลหะปืนอนหรือโลหะหนัก ได้แก่ แคนเดียม ตะกั่วและปรอท ในเลือดและไข่ของเต่ามะเฟืองในถุงดูดไข่จาก French Guiana พบร่วมความเข้มข้นของชาตุดังกล่าวมีความสัมพันธ์กันในเลือดกับไข่ เนื่องจากมีการส่งผ่านจากเลือดของแม่เต่าไปยังไข่ ซีลินียมมีบทบาทสำคัญในการเจริญเติบโตของตัวอ่อนโดยทำหน้าที่เป็นตัวพาโปรตีน ซึ่งจากการศึกษาพบว่าแคนเดียมสามารถทำหน้าที่ได้เช่นเดียวกับซีลินียม ในถุงดูดไข่

ความเข้มข้นของทองแดงในน้ำเลือดคลองขณะที่ความเข้มข้นของตะกั่วเพิ่มขึ้น ซึ่งอธิบายได้ว่าในขณะที่เมื่อเต่ามีการสร้าง ไม่มีความต้องการแคลเซียมในกระบวนการการสร้างไข่ซึ่งมักจะควบคู่ไปกับกระบวนการย่อยสลายของตะกั่ว ทำให้ในเลือดมีความเข้มข้นของตะกั่วเพิ่มสูงขึ้นตลอดฤดูหนาว ใจแต่ความเข้มข้นของโลหะที่เป็นพิษมีน้อยกว่าชาตุโลหะที่จำเป็น

Van Meter และคณะ (2006) ศึกษาผลของสาร PAHs ต่อการอุดชีวิตและเจริญเติบโตของตัวอ่อนเต่าสแนปปิ้ง (*Chelydra serpentina*) สาร PAHs เป็นสารไฮโดรคาร์บอนที่พบในน้ำมันดิน ซึ่งปนเปื้อนอยู่ในน้ำและดิน ทำการศึกษาไข่ของเต่าสแนปปิ้งจาก สหรัฐอเมริกาและแคนาดา ในช่วงเดือนพฤษภาคมถึงกรกฎาคม 2002 โดยเลือกศึกษา 2 อนุพันธ์ ได้แก่ BaP และ 7, 12- DMBA นำไปมาเพาะฟักที่อุณหภูมิประมาณ 27 องศาเซลเซียส โดยกำหนดสารปนเปื้อนที่ความเข้มข้นต่างๆ น้ำมันดิน: 1 ไมโครลิตร, 5 ไมโครลิตร, 10 ไมโครลิตร (ในทราย) BaP: 0.02%, 0.05%, 0.1%, 0.2%, 0.5%, 0.75%, 1.0% (มวลต่อมวล) และ DMBA: 0.02%, 0.05%, 0.1%, 0.2%, 0.5%, 0.75%, 1.0% (มวลต่อมวล) หลังจากลูกเต่าฟักออกจากไข่ 14 วัน ทำการศึกษาความผิดปกติของลูกเต่า พบร้าลูกเต่ามีการเจริญเติบโตผิดปกติ แบ่งความผิดปกติออกเป็น 3 ระดับ คือ ระดับน้อย ปานกลางและมากดังนี้ ในระดับน้อยลูกเต่ามีลักษณะกระดองส่วนหลังผิดสภาพ ทางกุด นิ่วขาด สีซีดหรือมีลำตัวคล้ายลูกศร ในระดับปานกลางลูกเต่ามีความผิดปกติ เช่น ตาบอดหรือปากบิด กระดูกสันหลังโกรังขอและมีการเจริญเติบโตช้าและในระดับมาก ลูกเต่ามีกระเพาะอาหารผิดปกติ ปากบิด มีความผิดปกติของสมอง เช่น น้ำคั่งในโพรงสมอง (hydrocephaly) หรือสมองไม่แบ่งเป็นพู (missing lobs) ลักษณะขากรรไกรผิดสภาพ อันเนื่องมาจากขากรรไกร ไม่เชื่อมติดกับระบบทางเดินหายใจ ขาดขากรรไกรบนหรือล่าง ไม่มีกระดอง มีความผิดปกติของหัวใจ ตาบอดหรือกระโหลกศีรษะ ไม่เชื่อมติดกัน

Sakai และคณะ (1995) ศึกษาโลหะหนัก ได้แก่ เหล็ก (Fe) แมงกานีส (Mn) สังกะสี (Zn) ทองแดง (Cu) ตะกั่ว (Pb) นิกเกิล (Ni) โคบล็อก (Co) และแคนเดเมียม (Cd) ในกล้ามเนื้อ ตับ ไต และไข่ของเต่าหัวส่อน พบร้าปริมาณโลหะหนัก ในตับและไตมากกว่าในกล้ามเนื้อและไข่ จากการวัดปริมาณโลหะหนัก (ไมโครกรัมต่อน้ำหนักตัว; ug g-1 wet wt) ในเปลือกไข่เต่าหัวส่อน พบร้าเหล็ก 10.6 ± 2.20 แมงกานีส 0.68 ± 0.48 สังกะสี 2.17 ± 0.59 ทองแดง 5.57 ± 0.77 แคนเดเมียมน้อยกว่า 0.01 และปรอท (Hg) 0.0040 ± 0.0013 ในไข่แดง พบร้าเหล็ก 25.1 ± 2.18 แมงกานีส 0.91 ± 0.42 สังกะสี 34.4 ± 3.18 ทองแดง 1.57 ± 0.07 แคนเดเมียม 0.026 ± 0.007 และปรอท 0.012 ± 0.003 ในไข่ขาว พบร้าเหล็ก

0.87 ± 0.38 แมงกานีส 0.17 ± 0.30 สังกะสี 0.594 ± 0.584 ทองแดง 0.129 ± 0.083 แคนดเมียมน้ำอยกว่า 0.01 และปรอท 0.0005 ± 0.0002

Bilinski และคณะ (2001) ศึกษาผลของสิ่งแวดล้อมบนเพศเพาะพักต่อการสลายแคลเซียมของตัวอ่อนเต่ามะเฟือง โดยทำการเพาะพักไข่เต่ามะเฟืองในทรายที่มีความชื้น 5 และ 12 เปอร์เซ็นต์ภายในอุณหภูมิ 28.5 และ 31.0 องศาเซลเซียส นาน 60 วันและวัดปริมาณแคลเซียมในตัวอ่อนไข่เดงกับไข่ขาวและเปลือกไข่เปรียบเทียบกับปริมาณแคลเซียมเริ่มต้น พบว่าในไข่ที่มีการเจริญของตัวอ่อนปริมาณแคลเซียมในเปลือกไข่ลดลง 42.9 เปอร์เซ็นต์ ในไข่เดงและไข่ขาวลดลง 20.8 เปอร์เซ็นต์ในวันที่ 45 ของการเพาะพักและเพิ่มขึ้น 0.99 เปอร์เซ็นต์ในวันที่ 60 ของการเพาะพัก พบว่าในตัวอ่อนที่เพาะพักที่อุณหภูมิ 28.5 มีปริมาณแคลเซียมมากกว่าไข่ที่เพาะพักที่ 31.0 องศาเซลเซียสและปริมาณแคลเซียมของตัวอ่อนที่เพาะพักที่มีความชื้น 5 เปอร์เซ็นต์มากกว่า 12 เปอร์เซ็นต์ ส่วนไข่ที่ไม่มีการเจริญของตัวอ่อนพบว่าปริมาณแคลเซียมในเปลือกไข่ลดลง 25.7 เปอร์เซ็นต์และคงที่จากวันที่ 30-60 ส่วนปริมาณแคลเซียมในไข่เดงและไข่ขาวคงที่ในวันที่ 1-30 และค่อยๆ เพิ่มขึ้นในวันที่ 30-60

Bishop และคณะ (1998) ศึกษาการปนเปื้อนในสภาพแวดล้อมต่อความผิดปกติของการเจริญเติบโตของตัวอ่อนเต่าสแนปปี้จากทะเลสาบเกรท แม่น้ำลอร์เรนซ์ ในปี ก.ศ. 1989-1991 พบว่าเกิดความผิดปกติของการเจริญเติบโตในไข่ที่มีการปนเปื้อน organochlorine pesticides, polychlorinated biphenyl (PCBs), polychlorinated dibenzodioxins (PCDDs), polychlorinated dibenofurans (PCDFs) และปรอท นอกจากนี้ตรวจพบ 7-ethoxyresorufin, O-deethylase และ cytochrome P450 ในตับแสดงว่าสารปนเปื้อนก่อให้เกิดความเป็นพิษต่อเซลล์

Brasfield และคณะ (2004) ศึกษาผลกระทบจากการปนเปื้อนของแคนดเมียมในдинต่อการเจริญของตัวอ่อนและขนาดตัวอ่อนตามธรรมชาติ และระดับไทรอยด์อร์โนน ได้แก่ throxine (T_4) และ triiodothyronine (T_3) ของ fence lizard (*Sceloporus undulates*) จาก Arkansas ประเทศสหรัฐอเมริกา ทำการศึกษาโดยเตรียมสารละลายแคนดเมียมจากแคนดเมียมคลอไรด์ ($CdCl_2$) ความเข้มข้น 0, 1.48, 14.8, 148, 1,480 และ 14,800 ไมโครกรัมแคนดเมียมต่อกิโลกรัม ($\mu\text{g Cd/g}$) เพาะพักที่อุณหภูมิ 28 ± 0.5 องศาเซลเซียส ซึ่งผลการทดลองพบว่าที่ความเข้มข้นของแคนดเมียม 1480 และ 14800 ไมโครกรัมทำให้ตัวอ่อนตาย 100 เปอร์เซ็นต์ ที่ความเข้มข้น 1480 ไมโครกรัมตัวอ่อนตายภายใน 35.80 ± 10.90 วัน และที่ความเข้มข้น 14800 ไมโครกรัมตัวอ่อนตายภายใน 2.70 ± 1.19 วันซึ่งความเข้มข้นของแคนดเมียมไม่ได้ส่งผลต่อขนาดและน้ำหนักของตัวอ่อน แต่มีผลต่อระดับไทรอยด์อร์โนนทั้ง T_3 ($P=0.593$) และ T_4 ($P=0.082$) ทำให้อัตราส่วนของไทรอยด์อร์โนน T_3 ต่อ T_4 ลดลงอย่างมีนัยสำคัญ

($P=0.042$) ซึ่งผู้วิจัยคาดว่าแอดเมียโนสารต่อไปนี้เปลือกไข่ได้โดยวิธี active-transport พร้อมกับน้ำ

Alava และคณะ (2006) รายงานว่าพบการปนเปื้อนของ PCBs และสารกำจัดวัชพืชในไข่เต่าหัวแม่นและนำไปเพาะฟักเพื่อทำการศึกษาการเจริญเติบโตของเต่าหัวแม่น 3 ระยะ คือระยะแรก ระยะกลางและระยะสุดท้ายพบว่าในระยะแรกและระยะกลาง มีปริมาณของ PCBs และสารกำจัดวัชพืชไม่แตกต่างกัน ในระยะสุดท้ายปริมาณไขมันเพิ่มขึ้น 50 เปอร์เซ็นต์ และพบว่าปริมาณของ PCBs และสารกำจัดวัชพืชเพิ่มขึ้นเป็นสองเท่า โดยใช้วิธีการวัดด้วย GCECD

Tryfonas (2006) ศึกษาไข่ของเต่าแก้มแดง (*Trachemys scripta elegans*) บริเวณแม่น้ำอิลลินอยส์พับโลหะหลายชนิด ได้แก่ อะลูมิเนียม แอดเมียโน โคลเมียโน แมงกานีส นิกเกิล ตะกั่ว วาเลเดียม สตรอนเนียม ทองแดงและสังกะสี จากการศึกษาในไข่ขาวและไข่แดงพบ สังกะสี ($24.2 \pm 13 \text{ mgkg}^{-1}$) อะลูมิเนียม (2.21 ± 2) สตรอนเนียม (1.8 ± 1.1) แมงกานีส (1.1 ± 0.6) และทองแดง (0.9 ± 0.5) ส่วนในเปลือกไข่พบสังกะสี (6.8 ± 3.9) สตรอนเนียม (3.7 ± 3.1) ทองแดง (1.9 ± 1.3) โคลเมียโน (1.6 ± 1.5) วาเลเดียม (1.6 ± 1.4) ตะกั่ว (1.3 ± 0.7) นิกเกิล (1.3 ± 0.9) แมงกานีส (1.0 ± 0.8) และแอดเมียโน (0.16 ± 0.11)

Gómara และคณะ (2007) รายงานการปนเปื้อนของสาร PCB, DDT าร์เซนิคและโลหะหนัก ได้แก่ แอดเมียโน ทองแดง ตะกั่วและสังกะสี ในไข่ของ *Chamaeleo chamaeleon* จากตะวันตกเฉียงใต้ของประเทศไทยสเปน พบร่องรอยการปนเปื้อนของสังกะสี 5605-13290 นาโนกรัมต่อน้ำหนักตัว และมีการปนเปื้อนของทองแดงปริมาณ 1487-4361 นาโนกรัมต่อน้ำหนักตัว

11. การปนเปื้อนของโลหะหนักและแบคทีเรียในเต่าทะเล

Lam (2006) รายงานว่าพบโลหะหนักในเปลือกไข่เต่าต้น ได้แก่ ซิลเวอร์ ชิลินียม สังกะสี ปรอทและตะกั่ว สถาบันกำหนดความเข้มข้นที่ไม่ส่งผลกระทบต่อสิ่งมีชีวิต (PNEC) ได้กำหนดความเข้มข้นของโลหะหนัก (นาโนกรัมต่อน้ำหนักตัว; ng/g wet weight) ซึ่งไม่ก่อให้เกิดอันตรายในไข่เต่าต้น ดังนี้ ตะกั่ว (1000) ชิลินียม (340-6000) และนิกเกิล (17)

Maffucci และคณะ (2005) รายงานว่าพบโลหะหนัก ได้แก่ แอดเมียโน (Cd) ทองแดง (Cu) ปรอท (Hg) ชิลินียม (Se) และสังกะสี (Zn) ในตับ ไต และกล้ามเนื้อของเต่าหัวแม่นและตะวันตกของทะเลเมดิเตอเรเนียน ประเทศไทย

García-Fernández (2008) พบ โลหะหนัก คือแอดเมิร์ม ตะกั่ว ทองแดง สังกะสี ในเนื้อเยื่อ ตับ ไต กล้ามเนื้อขาหน้า สมองและกระดูกสันหลังของเต่าหัวช้อนແບตະວັນຕາເຈິຍໃຕ້ ຂອງທະເລມະດີເຕອເຣນີຍນ ປະເທດສະບັບ

Aguirre (2006) รายงานວ່າພັບກາຣປັນເປົ້ອນຂອງແບນທີ່ເຮີຍທຶນແກຣມບວກແລະລົບໃນເຕົາທະເລຈາກຫາວາຍແລະອອສເຕຣເລີຍ ແກຣມລົບຄື້ອງ *Aeromonas hydrophila*, *Bacillus spp.*, *Chlamydophila spp.*, *Flavobacterium spp.*, *Leptospira spp.*, *Pseudomonas fluorescens*, *Salmonella spp.*, *Vibrio alginolyticus* ແກຣມບວກ ໄດ້ແກ່ *Mycobacterium spp.* ປຣສີຕ (*Brucella spp.*, *Cryptosporidium parvum*, *Entamoeba invadens*, *Entamoeba histolitica*, *Taxoplasma gondii*) ໂລທະໜັກຄື້ອງ ແຄດເມີຣິມ ປຣອທ ຕະກຳວະສາປະກອບອິນທຣີຍຄື້ອງ DDT, PCBs ແລະ Chlordane

ກາຣປັນເປົ້ອນສາຮບາງໜີດອາຈສ່ງຜລຕ່ອສຸຂພາພຂອງແມ່ເຕົາທະເລ ອັນຈະສ່ງຜລຕ່ອກາຮ ສ້າງໄປ ທີ່ຈຶ່ງຈາມມີຜລຕ່ອກາຮອດຊີວິຕແລະສຸຂພາພຂອງລູກເຕົາທະເລ ທີ່ຈຶ່ງຈາມໃຊ້ເປົ້ອກໄປເປັນດັ່ງນີ້ໜີ້ວັດສຸພາພແວດລ້ອມໃນແຫ່ງທີ່ອູ້ອາສີບຂອງເຕົາທະເລ ຮວມທຶນ້ອງອາຫາຣທີ່ເຕົາທະເລເກີນວ່າມີກາຣປັນເປົ້ອນ ມີວິໄມ

12. ໂຄງສ້າງພລືກອະຮາໂກໃນທີ່ແລະແຄລໄຟທີ່ພບໃນແປລືອກໄປເຕົາທະເລ

ອະຮາໂກໃນທີ່

ສູງຕຣເຄມີຄື້ອງ CaCO_3 ມີຮບພລືກແບນ orthorhombic ລັກມະພລືກນີ້ 4 ແບນຄື້ອງ

ກ. ປຣມີດກາພເບີນ ເປັນປຣີ່ມແນວຕັ້ງສ່ວນປລາຍຄູກຕັດ ໂດຍຽຸປຜສມຂອງປຣາ

ມີຄຸ່ງແລະປຣີ່ມນັກເກີດເປັນກຸ່ມແພ່ວໍສົມ

ຂ. ແທ່ງ ເປັນຮະນາມເດັ່ນທີ່ຈຶ່ງຄູກຕັດດ້ວຍຮະນາມແລະປຣີ່ມທຽງຕີຢີໃນຮະນາມ

ຄ. ປຣີ່ມກາພທກເຫຼື່ມຕັດປລາຍດ້ວຍຮະນານຈູານ ກາພພລືກເກີດຈາກກາຣແກຣກໃນແນວຮະນານທີ່ 3 ແນວ

1. ທີ່ສາທາງທີ່ຕ່າງກັນ ເນື່ອງຈາກມູນຂອງປຣີ່ມໄມ່ເທົ່າກັນ 60 ອົງສາ ມີຄວາມ
ຄ່າວິຈີພາບຂອງປຣີ່ມນັກທຳມູນກລັບ (>180 ອົງສາ) ແລະພບພລືກກາພໄຕ້ຫີ່ອກພແທ່ງ ມີຄວາມ
ຄ່າວິຈີພາບທີ່ຕ່າງກັນ 2.95 ອາຈໄໝ່ມີສີ ຂາວ ເຫັນອ່ອນຫີ່ອສີພື້ນອ່ອນໆ ອະຮາໂກໃນທີ່ມີຄວາມສັນພັນທີ່
ກັນແຄລເຊີຍຄາຮນບອນຕີ່ບຣິສຸຖົມ ທີ່ຈຶ່ງຄໍາມີສຕຣອນເທິຍມຫີ່ອຕະກຳວ່າ ເພີຍເລີກນ້ອຍເຂົ້າແທນທີ່ແຄລເຊີຍ

ในโครงสร้างแคลไซซ์ที่จะสามารถเปลี่ยนไปเป็นอะราโกไนท์ได้ ในสภาวะความดันสูง อุณหภูมิต่ำ อะราโกไนท์เสถียรมากกว่าแคลไซซ์แต่ในสภาวะปกติแคลไซซ์ที่เสถียรมากกว่าอะราโกไนท์

แคลไซซ์

สูตรเคมีคือ CaCO_3 มีระบบผลึกแบบ hexagonal-R ผลึกมีหลายภาพร่างและค่อนข้างซับซ้อน ภาพร่างที่โดดเด่นมี 3 แบบคือ แบบแท่ง แบบแปดเหลี่ยมและแบบสามเหลี่ยมด้านไม่เท่า มีความถ่วงจำเพาะเท่ากับ 2.71 โครงสร้าง calcite ประกอบด้วย CaO 56.0 เปอร์เซ็นต์และ CO_2 จำนวน 44.0 เปอร์เซ็นต์ อาจเกิดการแทนที่ของแคลเซียมด้วยแมงกานีสไอออน เพอรัสไอออน และแมgnีเซียมไอออน

13. หลักการทำงานของกล้องจุลทรรศน์อิเล็กตรอนชนิดส่องกราด

เกิดจากการที่อิเล็กตรอนปฐมภูมิ (primary electron beam) จากแหล่งกำเนิดคือ electron gun ซึ่งคำว่าอิเล็กตรอนจะถูกไฟฟ้าให้เข้มขึ้นจนมีพลังงานประมาณ 2-40 กิโลโวลต์และเส้นผ่านศูนย์กลางเล็กลง โดยตอนเดนเซอร์เลนส์ (condenser lens) จนมีเส้นผ่านศูนย์กลางประมาณ 2-10 มิลลิเมตรและสแกนนิ่งคอยด์ (scanning coil) จะควบคุมการภาวดของลำอิเล็กตรอนให้ภาวดจากซ้ายไปขวา เมื่อสุดก็เลื่อนลงอีกขั้นและภาวดจากซ้ายไปขวาอีกครั้ง เป็นเช่นนี้จนครบเฟรมการภาวดลำอิเล็กตรอนเช่นนี้เรียกว่า raster scan และเมื่อครบเฟรมแล้วก็จะไปเริ่มแสดงที่จุดแรกใหม่ในการภาวดลำอิเล็กตรอนในแต่ละเฟรมจะถูกกำหนดจำนวนชุดและถ้าไว้อ้างແน้นนอน จากนั้นจะถูกไฟฟ้าให้ตกลงบนพิวตัวอย่างโดย objective lens (แม่น, 2534) (ภาพที่ 9) วิ่งไปกระแทบพื้นพิวของวัตถุ ทำให้มีการสะท้อนกลับของพลังงานในภาพแบบต่างๆ (ภาพที่ 10) แบ่งได้สองกลุ่มคือ

13.1 การกระเจิงของอิเล็กตรอนแบบไม่มีดัดหุ่น (Inelastic scattering)

- Secondary electron (SE)
- X-Rays
- Auger electron (AE)
- Phonons
- Transmitted electron (TE)
- Cathocoluminescence

13.2 การกระเจิงของอิเล็กตรอนแบบมีดัดหุ่น (Elastic scattering)

- Back scattered electron (BSE)

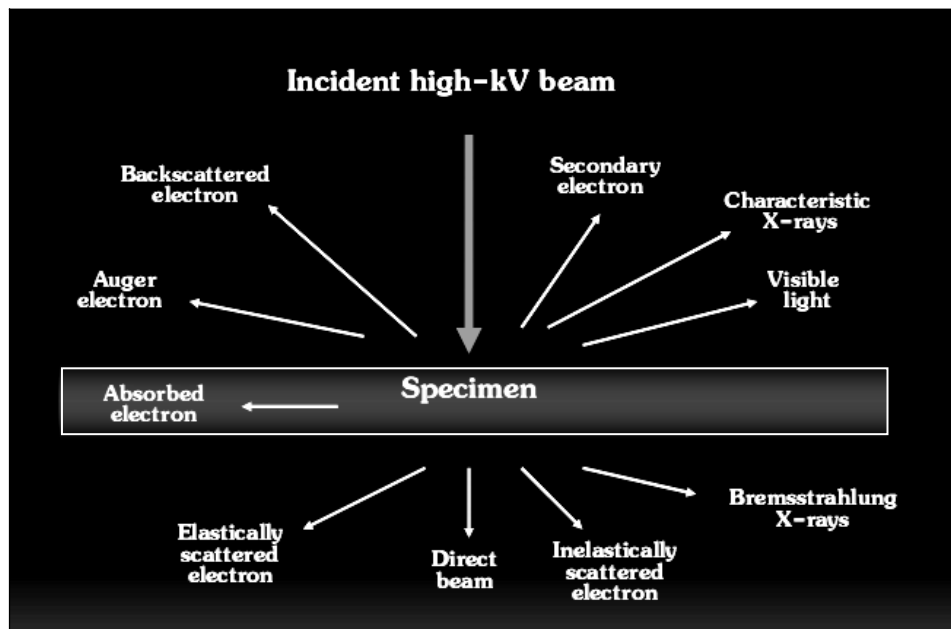
สัญญาณที่นำมาใช้ประโยชน์ทางชีววิทยาในกล้องจุลทรรศน์อิเล็กตรอนแบบส่อง-กราดมี 3 ชนิดคือ (Toya และคณะ, 1986)

ก. Secondary electrons (SE) เป็นอิเล็กตรอนพลังงานต่ำที่เกิดจากอิเล็กตรอนปัจุบันชนทำให้อิเล็กตรอนที่ผิวตัวอย่างหลุดออกมา โดยจะหลุดออกจากการผิวตัวอย่างที่ความลึกจากพื้นผิวไม่เกิน 10 นาโนเมตร ให้ภาพที่มีรายละเอียดสูง ความเข้มของ SE จะขึ้นกับมุนที่อิเล็กตรอนปัจุบันมิติกใส่และสภาพพื้นผิwtawoyang ให้ภาพที่มีรายละเอียดสูง ภาพที่ได้จาก SE เรียกว่า Secondary electron image (SEI)

ก. Back scattered electrons (BSE) คืออิเล็กตรอนปัจุบันที่กระเจิงกลับออกมาจากผิwtawoyang กล่าวคือ เมื่ออิเล็กตรอนปัจุบันวิ่งเข้าใกล้หรือเข้าชนนิวเคลียสของอะตอมบนผิwtawoyang ก็จะเกิดการเปลี่ยนทิศทางกระเจิงกลับออกมาจากผิwtawoyang โดย BSE จะเกิดมากกับชาตุที่มีเลขอะตอมสูง ความเข้มของสัญญาณ BSE จะขึ้นกับมุนที่อิเล็กตรอนปัจุบันมิติกใส่ตัวอย่าง และยังขึ้นกับเลขอะตอมของชาตุที่ผิwtawoyang ภาพที่ได้จาก BSE เรียกว่า Backscattered electron image (BEI)

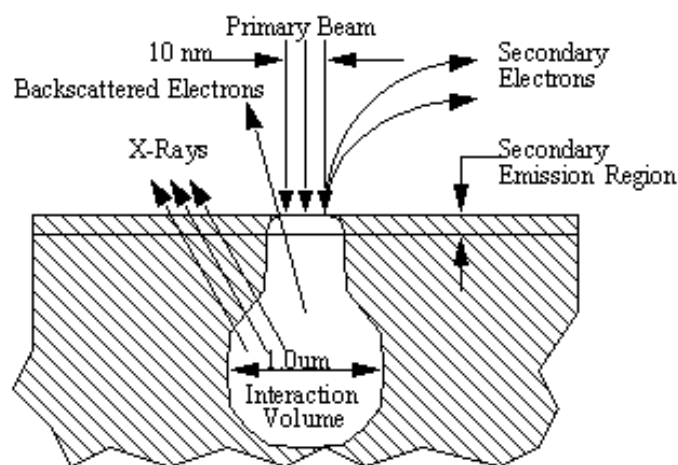
ค. Characteristic X-rays เกิดจากการที่เมื่ออิเล็กตรอนวงในของชาตุตัวอย่างถูกชนโดยอิเล็กตรอนปัจุบันหลุดออกไป ที่จะเกิดเป็นระดับชั้นพลังงานที่ว่าง ทำให้อิเล็กตรอนที่ระดับพลังงานสูงกว่าลดระดับพลังงานลง พร้อมกันนี้ก็จะปล่อยพลังงานในภาพรังสีเอ็กซ์ออกมายังพลังงานของรังสีเอ็กซ์ที่ได้จะมีภาพแบบของระดับพลังงานเฉพาะตัวแตกต่างกันไปในแต่ละชาตุ เรียกว่า Characteristic X-rays ดังนั้นจึงสามารถทำให้วิเคราะห์ชาตุองค์ประกอบที่ผิwtawoyang โดยอาศัยประโยชน์จากการวิเคราะห์พลังงานหรือความยาวคลื่นของรังสีเอ็กซ์ที่เกิดขึ้น

ภายในลำกล้องจุลทรรศน์อิเล็กตรอนชนิดส่องกราดจะมีตัวรับสัญญาณที่ทำหน้าที่รับและเปลี่ยนอิเล็กตรอนอันดับสองให้เป็นสัญญาณอิเล็กตรอน (electrical signal) แล้วส่งสัญญาณไปยังจอภาพ (cathode ray tube; CRT) การแสดงใน CRT จะถูกควบคุมให้มีการสแกนแบบ raster scan พร้อม ๆ กับการแสดงของลำอิเล็กตรอนในกล้อง ซึ่งความสว่างของจุดอิเล็กตรอนบนหน้าจอภาพ CRT จะขึ้นอยู่กับความแรงของสัญญาณจากเครื่องขยายสัญญาณ (amplifier) ที่ขยายสัญญาณจากหัวตรวจวัดที่รับสัญญาณอิเล็กตรอนในกล้อง ถ้าสัญญาณแรงก็จะให้ความสว่างของลำอิเล็กตรอนมาก เมื่อส่งลงบนจอภาพ CRT (ภาพที่ 11) ก็จะปรากฏเป็นจุดสว่างในทางกลับกันถ้าสัญญาณเบา ก็จะได้จุดที่มีความสว่างน้อย บนจอก็จะรากฐานเป็นจุดสว่างน้อยบนจอ CRT จะทำการเรียงจุดของสัญญาณที่ได้เป็นแนวตรงๆ ตามที่กำหนด ก็จะทำให้เกิดภาพที่ตามองเห็นได้ โดยภาพที่ออกมานั้นจะมีลักษณะ 3 มิติ



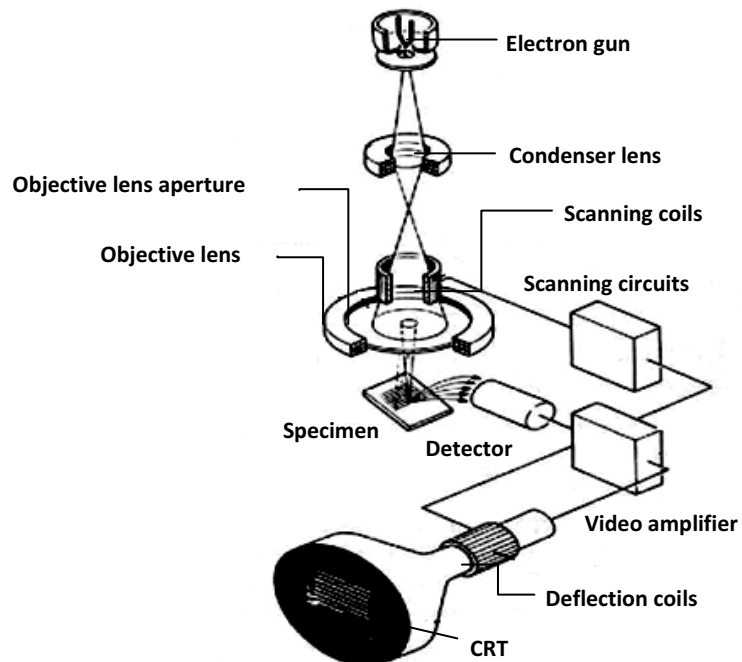
ภาพที่ 9 แสดงลักษณะการกระเจิงของอิเล็กตรอนแบบต่างๆ

ที่มา : มหาวิทยาลัยเทคโนโลยีมหานคร, กล้องจุลทรรศน์อิเล็กตรอนแบบส่องกราด [ออนไลน์], เข้าถึงเมื่อ 11 มิถุนายน 2552. ได้จาก <http://www.mut.ac.th/~vet/histo-html>.



ภาพที่ 10 แสดงลักษณะการกระเจิงของ SE, BSE และ X-rays ในระดับความลึกของตัวอย่างในระดับที่ต่างกัน

ที่มา : วิชาการคณิตคอม, วิทยาศาสตร์และเทคโนโลยี [ออนไลน์], เข้าถึงเมื่อ 5 กรกฎาคม 2552. ได้จาก <http://www.vcharkarn.com>.



ภาพที่ 11 แสดงส่วนประกอบต่างๆ ภายในกล้องจุลทรรศน์อิเล็กตรอนแบบส่องกราด
ที่มา : Scanning electron microscopy [Online], accessed 21 May 2009. Available from
<http://biologyweb.esmartstudent.com/course.html>.

การวิเคราะห์ชาตุโดยใช้หัวตรวจ EDX แบ่งออกเป็น 2 ประเภทคือ การวิเคราะห์เชิงคุณภาพและการวิเคราะห์เชิงปริมาณ

ก. การวิเคราะห์เชิงคุณภาพ คือการอ่านค่าพลังงานของรังสีเอกซ์บันสเปกตรัมการกระจายพลังงานของรังสีเอกซ์ที่ตรวจวัด ได้ซึ่งจะรายงานค่าความเข้มของรังสีบันแแกนต์และค่าพลังงานของรังสีบันแแกนนอน พลังงานของรังสีเอกซ์ที่คายออกมานี้ องจากการเปลี่ยนระดับพลังงานของอิเล็กตรอนในอะตอมของชาตุหนึ่งๆ (ภาพที่ 12) จะมีความเฉพาะเจาะจงแยกแยะจากชาตุอื่นๆ ได้ แม้ว่าจะมีการซ้อนทับกันของตำแหน่งพีค แต่ส่วนใหญ่สามารถทราบได้ว่ามีชาตุใดเป็นส่วนประกอบ โดยพิจารณาจากตำแหน่งและความเข้มของพีคข้างเคียง (ภาพที่ 13)

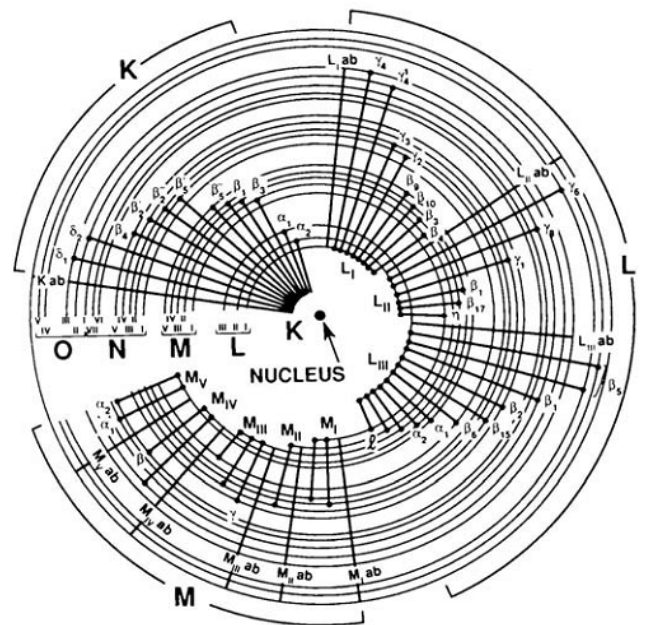
ข. การวิเคราะห์เชิงปริมาณ นิยมทำโดยวัดปริมาณรังสีเอกซ์ที่เกิดขึ้นจากชาตุที่ต้องการวิเคราะห์ในสารมาตรฐาน ซึ่งอาจเป็นสารบริสุทธิ์หรือของผสมที่ทราบส่วนประกอบแน่นอน เปรียบเทียบกับปริมาณที่เกิดขึ้นจากชาตุที่ต้องการวิเคราะห์ในสารตัวอย่างซึ่งการวัดต้อง

ทำในสภาวะของลำอิเล็กตรอนและสภาวะอื่นๆ ภายในกล้องจุลทรรศน์เมื่อยังกัน โดยใช้หัวตรวจวัด EDX และแสดงผลการวิเคราะห์ธาตุเชิงปริมาณเป็นตารางของธาตุที่ตรวจพบ โดยจับสัญญาณได้จากอิเล็กตรอนที่หลุดจากอะตอมของธาตุในระดับพลังงาน K, L, M, N หรือ O ซึ่งแสดงเป็นเปอร์เซ็นต์โดยน้ำหนักและเปอร์เซ็นต์โดยอะตอม (ตารางที่ 1)

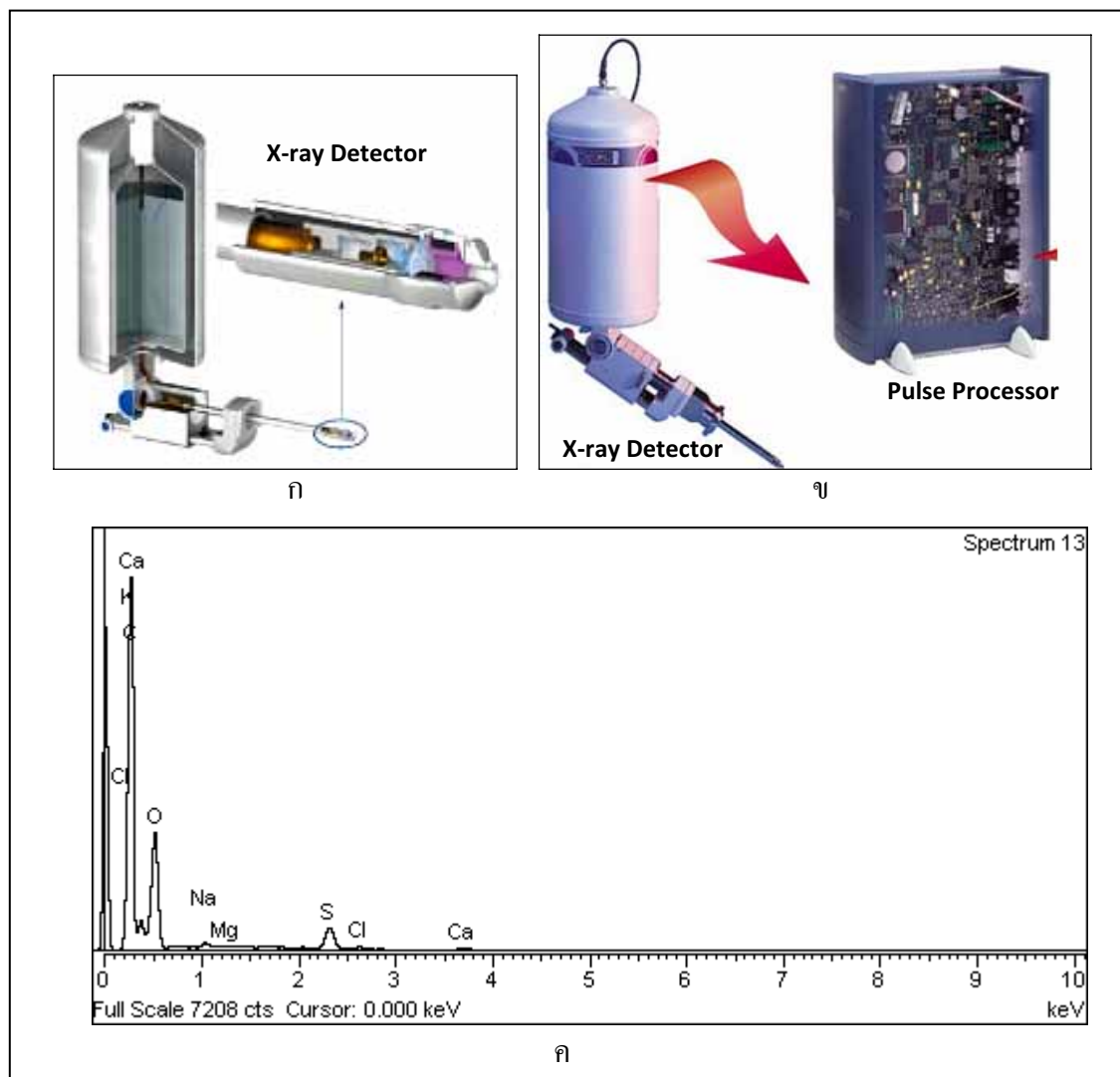
การวิเคราะห์ธาตุโดยใช้หัวตรวจ EDX แบ่งออกเป็น 2 วิธี คือการวิเคราะห์เฉพาะจุดและการวิเคราะห์แบบบริเวณรวม

ก. การวิเคราะห์เฉพาะจุด (point analysis) คือการวิเคราะห์ที่จุดเพียงจุดเดียวตลอดการวิเคราะห์ กำหนดรัศมีในการวิเคราะห์ประมาณ 1 ไมล์โตรนเมตรและลึกจากผิวน้ำตัวอย่างประมาณ 1 ไมล์โตรนเมตร ใช้เวลาในการวิเคราะห์จุดละ 120 วินาที

๔. การวิเคราะห์แบบบริเวณรวม (region analysis) คือการวิเคราะห์โดยกราด
จำลองอิเล็กตรอนลงบนพื้นที่ที่ผู้ปฏิบัติงานกำหนดและลึกจากพื้นที่อย่างประมาณ
1 ไมโครเมตร ใช้เวลาในการวิเคราะห์พื้นที่ละ 120 วินาที



ภาพที่ 12 แสดงระดับพลังงานของธาตุจากอิเล็กตรอนวงในถึงวงนอกคือ K, L, M, N และ O ตามลำดับ ซึ่งระดับพลังงานของอิเล็กตรอนจะเพิ่มขึ้นจากอิเล็กตรอนวงในสู่วงนอก ที่มา : วิชาการคอมพิวเตอร์, วิทยาศาสตร์และเทคโนโลยี [ออนไลน์], เข้าถึงเมื่อ 5 กรกฎาคม 2552. ได้จาก <http://www.vchartarn.com>.



ภาพที่ 13 (ก) แสดงลักษณะหัวตรวจวัด EDX ที่ต่อ กับถังไนโตรเจนเหลว (ข) เมื่อหัวตรวจวัดรับ พลังงานของรังสีเอกซ์ซึ่งเกิดจากการคายพลังงานของชาตุเมื่อถูกอิเล็กตรอนปั๊มน้ำมันวิ่ง ชนแล้วจะส่งสัญญาณไปยัง pulse processor เพื่อแปลงสัญญาณและประมวลผลแสดง ออกมาเป็น (ค) สเปกตรัมการกระจายพลังงานของรังสีเอกซ์

ที่มา : [JEOL Ltd. JEOL JSM-6460LV \[Online\]](http://www.jeol.com), accessed 16 March 2009. Available from <http://www.jeol.com>.

ตารางที่ 2 แสดงผลการวิเคราะห์ชาตุเรืองประมวลโดยใช้หัวตรวจวัด EDX โดยอัตราตัว K ในช่อง element ด้านหลังชาตุคือระดับพลังงานของอะตอมของชาตุที่หลุดออกเมื่อชนกับ อิเล็กตรอนจากแหล่งกำเนิด

Spectrum processing : No peaks omitted

Processing option : All elements analyzed

(Normalised) Number of iterations = 4

Element	Weight%	Atomic%
C K	62.37	70.23
O K	32.77	27.70
Na K	0.35	0.21
Si K	0.55	0.26
S K	2.96	1.25
Cl K	0.27	0.10
Ca K	0.73	0.24
Totals	100.00	

บทที่ 3

อุปกรณ์ สารเคมีและวิธีการทดลอง

1. ตัวอย่างเปลือกไข่เต่าทะเล

ตัวอย่างเปลือกไข่เต่าทะเลได้รับการอนุเคราะห์จาก 4 แหล่ง กือศูนย์อนุรักษ์พันธุ์เต่าทะเลกรมประมง เกาะมันใน อ. แกลง จ. ระยอง อุทยานแห่งชาติเขาลำปี-หาดท้ายเหมือง อ. ท้ายเหมือง จ. พังงาและสถาบันวิจัยและพัฒนาทรัพยากรทางทะเล ชาญฝั่งและป่าชายเลน กลุ่มสัตว์ทะเลหาก จ. ภูเก็ต ซึ่งศูนย์อนุรักษ์พันธุ์เต่าทะเล หน่วยบัญชาการต่อสู้อากาศยานและรักษาฝั่ง อ. สัตหีบ จ. ชลบุรี เป็นแหล่งเพาะฟักเปลือกไข่เต่าตนุและเต่ากระที่มีแหล่งวางไข่บริเวณเกาะราม ส่วนอุทยานแห่งชาติเขาลำปี-หาดท้ายเหมือง อ. ท้ายเหมือง จ. พังงาและสถาบันวิจัยและพัฒนาทรัพยากรทางทะเล ชาญฝั่งและป่าชายเลน กลุ่มสัตว์ทะเลหาก จ. ภูเก็ต เป็นแหล่งเพาะฟักไข่เต่าตนุและเต่ามะเฟืองที่มีแหล่งวางไข่บริเวณหมู่เกาะสมิลัน

1.1 เต่ากระ (*Eretmochelys imbricata*)

- เก็บเดือนพฤษภาคมและเดือนธันวาคม พ.ศ. 2550 จากศูนย์อนุรักษ์พันธุ์เต่าทะเลหน่วยบัญชาการต่อสู้อากาศยานและรักษาฝั่ง อ. สัตหีบ จ. ชลบุรี

1.2 เต่าตนุ (*Chelonia mydas*)

- เก็บเดือนมีนาคม พ.ศ. 2550 จากศูนย์อนุรักษ์พันธุ์เต่าทะเล หน่วยบัญชาการต่อสู้อากาศยานและรักษาฝั่ง อ. สัตหีบ จ. ชลบุรี

- เก็บเดือนพฤษภาคม พ.ศ. 2551 จากศูนย์อนุรักษ์พันธุ์เต่าทะเลกรมประมง เกาะมันใน อ. แกลง จ. ระยอง

1.3 เต่ามะเฟือง (*Dermochelys coriacea*)

- เก็บเดือนมีนาคม พ.ศ. 2550 และเดือนธันวาคม พ.ศ. 2551 จากอุทยานแห่งชาติเขาลำปี-หาดท้ายเหมือง อ. ท้ายเหมือง จ. พังงา

ตารางที่ 3 แสดงจำนวน สถานที่และเวลาที่เก็บตัวอย่างเพลือกไข่เต่าทะเลสำหรับการวิจัยนี้

ตัวอย่างที่	ชนิดของเต่าทะเล	เวลาที่เก็บ	แหล่งที่เก็บ	จำนวน (ฟอง)	รวม
1	เต่าตัน	มี.ค. 50	จ.ชลบุรี	12	18
2	เต่าตัน	พ.ค. 50	จ.ระยอง	6	
3	เต่ากระ	พ.ค. 50	จ.ชลบุรี	3	9
4	เต่ากระ	ธ.ค. 50	จ.ชลบุรี	6	
5	เต่ามะเฟือง	มี.ค. 50	จ.พังงา	3	10
6	เต่ามะเฟือง	ธ.ค. 51	จ. พังงา	7	
				รวม	37
					37

2. วัสดุ อุปกรณ์และสารเคมี

- 1) ไนโตรเจนเหลว
- 2) กล้องถ่ายภาพดิจิตอล Fujifilm รุ่น FINEPIX Z20fd
- 3) แผ่นวัดขนาด
- 4) ปากคีบ
- 5) งานเพาะเชื้อ
- 6) ถุงซิป
- 7) ฐานรองตัวอย่าง (stub)
- 8) เทปคาร์บอน (carbon tape) copper conductive tape 1/4"×18 yds Scotch 1181
- 9) กรรไกร

3. เครื่องมือ

- 1) เครื่องดูดความชื้น (desicator)
- 2) กล้องจุลทรรศน์อิเล็กตรอนแบบส่องกราด (SEM) รุ่น JEOL JSM-6460LV
- 3) หัวตรวจวัด Back-scattered electron imaging (BEI)
- 4) หัวตรวจวัด Energy dispersive X-ray analysis (EDX)
- 5) หัวตรวจวัด Secondary electron imaging (SEI)
- 6) เครื่อง aba ผิวตัวอย่าง (Sputter coater) รุ่น SPI Module Sputter-Coater
- 7) เครื่องล้างความถี่สูง (ultrasonicator) รุ่น Crest Ultrasonic Cleaner (3Qt.)

4. การเตรียมตัวอย่างเปลือกไข่เต่าทะเล

4.1 การทำความสะอาดตัวอย่างเปลือกไข่เต่าทะเล

- 1) ทำความสะอาดตัวอย่างเปลือกไข่ด้วยน้ำกลิ่น โดยใช้เครื่องถังความดันสูง
- 2) นำตัวอย่างเปลือกไข่ให้แห้ง โดยเก็บไว้ในตู้ดูดความชื้นจนแห้งสนิท
- 3) เก็บตัวอย่างเปลือกไข่ที่แห้งสนิทแล้วบรรจุลงเก็บตัวอย่าง เก็บหัสด ชนิดของเต่าและวันที่เก็บ
- 4) บันทึกรายละเอียดต่างๆ ได้แก่ ชนิดเต่าทะเล ชื่อผู้เก็บ สถานที่เก็บ วันที่เก็บ อายุ ขนาดและน้ำหนักของแม่เต่า (ถ้ามี)

4.2 การเตรียมตัวอย่างเปลือกไข่เต่าทะเลเพื่อศึกษาด้วยกล้องจุลทรรศน์อิเล็กตรอนแบบส่องกราด

- 1) หักชิ้นตัวอย่างฯ ละ 3 ชิ้น โดยสูม ขนาด 0.5×0.5 ตารางเซนติเมตร ติดลงบนฐานรองตัวอย่างอะลูมิเนียมด้วยเทปปาร์บอน โดยตั้งให้ด้านที่หักใหม่อยู่ด้านบน เพราะจะได้หน้าตัดที่เรียบและสมบูรณ์ (ภาพที่ 14) เก็บไว้ในตู้ดูดความชื้นจนกว่าจะนำมาศึกษาด้วยกล้องจุลทรรศน์อิเล็กตรอนแบบส่องกราด
- 2) ศึกษาชาตุที่เป็นองค์ประกอบของเปลือกไข่ด้วยกล้องจุลทรรศน์อิเล็กตรอน-แบบส่องกราด โดยใช้หัวตรวจวัด EDX ในการวิเคราะห์ชาตุที่เป็นองค์ประกอบในเปลือกไข่ภายใต้ระบบสัญญาณสูง
- 3) ใช้เครื่องฉายผิวด้วยทองคำขาวผิwtัวอย่างเพื่อให้สามารถนำกระแสงไฟฟ้าได้ ใช้กระแสงไฟฟ้า $10-15$ มิลลิแอม培ร์ นาน 2 นาที จะได้ทางคำหนานประมาณ 20 นาโนเมตร (ภาพที่ 15) ตัวอย่างที่ศึกษาด้วยหัวตรวจวัด EDX ไม่ต้องฉายผิwtัวอย่างด้วยทองคำและวางตัวอย่างในช่องใส่ตัวอย่างภายในกล้องจุลทรรศน์อิเล็กตรอนแบบส่องกราด (ภาพที่ 16)
- 4) ศึกษาโครงสร้างของเปลือกไข่อย่างละเอียดด้วยกล้องจุลทรรศน์อิเล็กตรอน-แบบส่องกราด ถ่ายภาพด้วยหัวตรวจวัด SEI ภายใต้ระบบสัญญาณสูง เพื่อศึกษาโครงสร้างด้านใน ด้านนอกและด้านตั้งฉากของเปลือก
- 5) ศึกษาโครงสร้างและองค์ประกอบของเปลือกไข่ด้วยกล้องจุลทรรศน์แบบส่องกราด โดยใช้หัวตรวจวัด BEI ภายใต้ระบบสัญญาณสูง

6) วัดความหนาของเปลือกไข่ชั้นต่างๆ ดังนี้

- ชั้น cuticle layer เป็นชั้นที่ปกคลุมผิวนอกของเปลือกไข่ทั้งหมด
- ชั้น calcium layer หรือ middle layer
- ชั้น membrane layer หรือ inner fibrous layer

ทำการวัดขนาดความหนาของเปลือกไข่เต่าตาม เต่ากระและเต่ามะเฟืองในแต่ละชั้น (ภาพที่ 17) ด้วยโปรแกรม Smile view และนำผลมาวิเคราะห์ทางสถิติเปรียบเทียบความหนาแต่ละชั้นในเต่าทั้งสามชนิด

5. การวิเคราะห์ทางสถิติ

5.1 ข้อมูลที่นำໄປวิเคราะห์ทางสถิติ

1) เปรียบเทียบความแตกต่างของชาตุองค์ประกอบในเปลือกไข่ เปรียบเทียบความแตกต่างของชาตุในเปลือกไข่แต่ละชั้นของเต่าชนิดเดียวกันและเปรียบเทียบความแตกต่างของชาตุในเปลือกไข่เต่าแต่ละชนิด

2) ความหนาของเปลือกไข่ เปรียบเทียบความหนาของเปลือกไข่แต่ละชั้นของเต่าชนิดเดียวกันและเปรียบเทียบความหนาของเปลือกไข่เต่าแต่ละชนิด

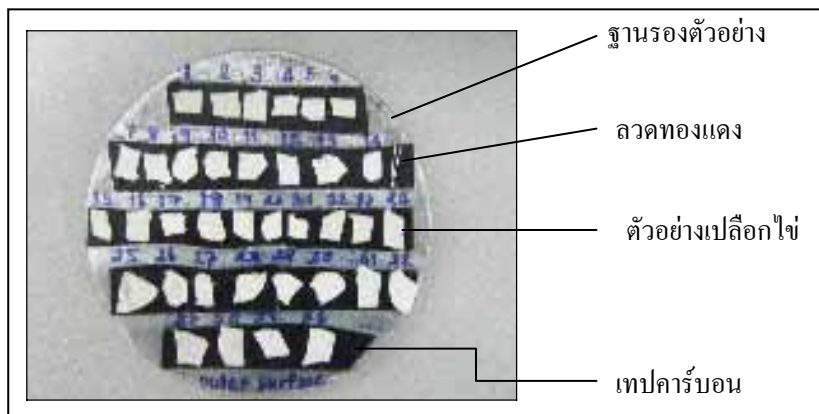
5.2 วิธีวิเคราะห์โดยใช้โปรแกรม SPSS for window

1) ทำการทดสอบการแจกแจงว่าข้อมูลมีการแจกแจงแบบปกติหรือไม่

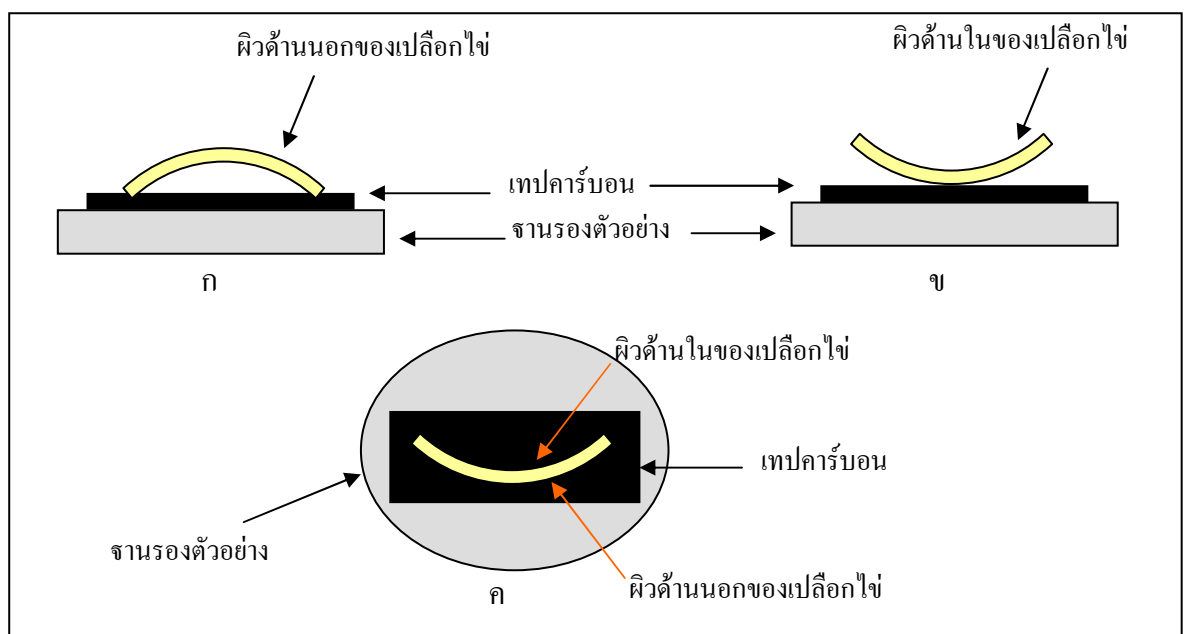
2) ทดสอบความแปรปรวนของข้อมูลว่าแตกต่างกันหรือไม่โดยใช้ Levene's test

3) ถ้าข้อมูลมีการแจกแจงแบบปกติและมีความแปรปรวนเท่ากันทำการวิเคราะห์โดยใช้ one-way ANOVA หากมีการวัดซ้ำในตัวอย่างเดิมใช้ ANOVA แบบวัดซ้ำและจัดกลุ่มโดยใช้ Duncan's test ที่ระดับนัยสำคัญ 0.05 ซึ่งทำการแบ่งกลุ่มจากน้อยไปมาก (a, b, c,...)

4) ถ้าข้อมูลมีความแปรปรวนไม่แตกต่างกันทำการวิเคราะห์โดยใช้ Nonparametric Kruskal-Wallis test ที่ระดับนัยสำคัญ 0.05



ภาพที่ 14 แสดงการเตรียมตัวอย่างบนฐานรองตัวอย่างเพื่อศึกษาด้วยกล้องจุลทรรศน์อิเล็กตรอนแบบส่องgraphic



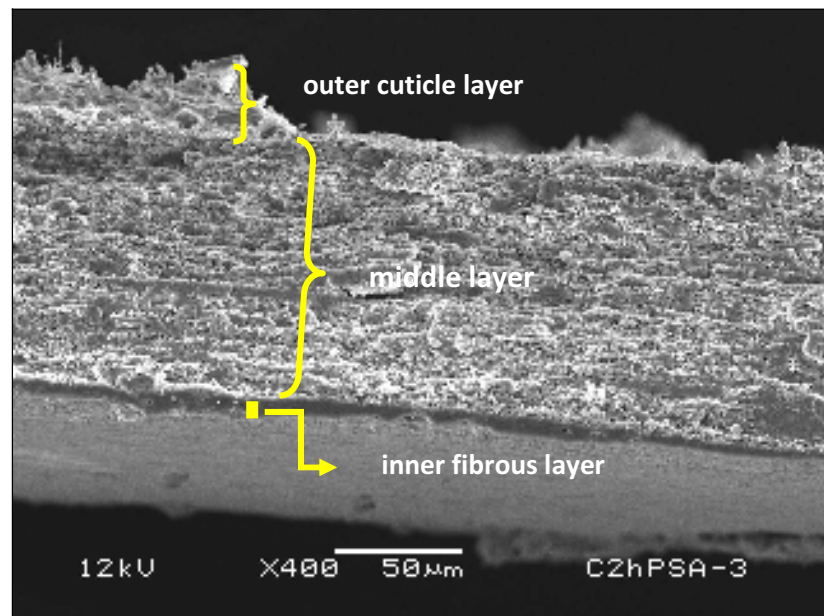
ภาพที่ 15 แสดงการวางแผนชั้นเปลือกไข่เด่าทะเบียนเทปคาร์บอนในการศึกษาด้วยกล้องจุลทรรศน์อิเล็กตรอนแบบส่องgraphic (ก) ผิวค้างนอก (ข) ค้างในและ (ค) ค้างข้าง (ส่วนหนา) ของเปลือกไข่เมื่อมองจากด้านบน



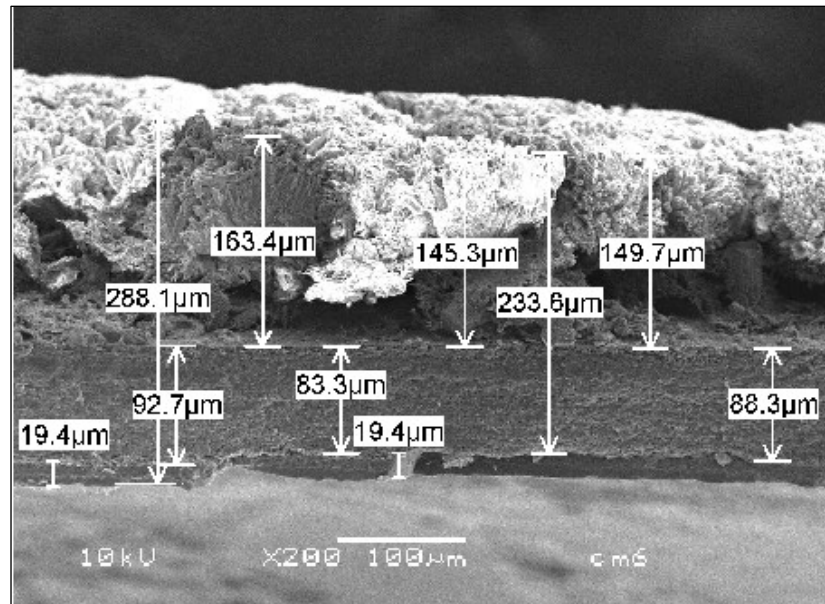
ภาพที่ 16 แสดงเครื่องหมายตัวอย่างด้วยทองคำ



ภาพที่ 17 แสดงการวัดตัวอย่างในช่องใส่ตัวอย่างในกล่องจุลทรรศน์อิเล็กตรอนแบบส่อง粒光



ภาพที่ 18 แสดงการแบ่งชั้น ของเปลือกไข่เต่าทะเล โดยแบ่งออกเป็น 3 ชั้น คือชั้นนอก (outer cuticle layer) ชั้นกลาง (middle layer) และชั้นใน (inner fibrous layer)



ภาพที่ 19 แสดงการวัดความหนาของเปลือกไข่ด้วยโปรแกรม Smile view

บทที่ 4

ผลการทดลอง

1. ศึกษาสัณฐานวิทยาและโครงสร้างอย่างละเอียดของเปลือกไข่เต่าต้น เต่ากระ และเต่ามะเฟือง

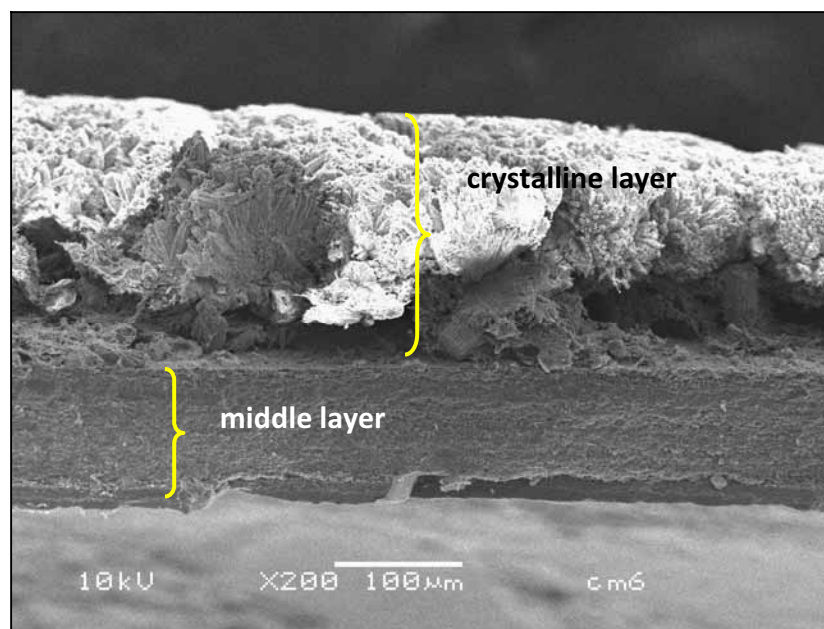
1.1 ผลการศึกษาเปลือกไข่เต่า 3 สายพันธุ์ คือเต่าต้น เต่ากระและเต่ามะเฟืองด้วยกล้องจุลทรรศน์อิเล็กตรอนแบบส่องกราด พบร่วมเปลือกไข่เต่าทะเลขประกอบด้วย 3 ชั้น คือชั้นนอก ชั้นกลางและชั้นใน แต่ถ้าศึกษาที่กำลังขยายน้อยกว่า 400 เท่าจะทำให้มองเห็นเปลือกไข่ชั้นในได้ไม่ชัดเจนแยกได้เพียง 2 ชั้นคือ ชั้นนอกและชั้นกลาง (ภาพที่ 20-22)

1.1.1 เปลือกไข่ชั้นนอก เรียกว่า outer cuticle layer หรือ crystalline layer ที่ผิวด้านบนมีลักษณะแตกต่างกันในเต่าทะเลขแต่ละชนิด หากสัมผัสด้วยมือเปล่าจะรู้สึกหากมีส่วนเปลือกไข่ชั้นนอกของเต่ามะเฟืองเมื่อถูด้วยตาเปล่ามีลักษณะเป็นสีขาวคล้ายผลึกเกลือ แข็งและหลุดออกได้ง่าย เมื่อศึกษาด้านข้างด้วยกล้องจุลทรรศน์อิเล็กตรอนแบบส่องกราดโดยใช้หัวตรวจวัด SEI พบร่วมเปลือกไข่ชั้นนอกของเต่าทะเลทั้ง 3 ชนิด มีลักษณะเป็นผลึกขนาดแหลมรวมตัวกันเป็นกลุ่ม แผ่นรัศมี (ภาพที่ 23-26) โดยเต่ามะเฟืองมีขนาดของผลึกฐานะแหลมเล็กและเรียกว่าเต่าต้น (ภาพที่ 27-28) ลักษณะโครงสร้างผลึกฐานะแหลมในเปลือกไข่ชั้นนอกของเต่ากระ (ถ่ายจากผิวด้านนอกของเปลือกไข่) มีลักษณะเป็นแผ่นผลึกขนาดเล็กกว่าของเต่าต้นเรียงซ้อนทับกันและยึดติดกันแน่นและมีผลึกฐานะแหลมขนาดเล็กประมาณ 0.2 ไมโครเมตรรวมอยู่ด้วย (ภาพที่ 29) เมื่อพิจารณากลุ่มผลึกในเปลือกไข่ชั้นนอกของเต่าทั้ง 3 ชนิด พบร่วมพื้นผิวของเปลือกไข่ชั้นนอกของเต่าต้นมีลักษณะบรรทุก กลุ่มผลึกมีขนาดใกล้เคียงกัน เรียงตัวชิดกันบนระนาบเดียวกันและมีการกระจายตัวของกลุ่มผลึกอย่างสม่ำเสมอ (ภาพที่ 30-32) ส่วนเต่ากระมีผลึกฐานะแหลมแทรกกระหว่างกลุ่มของผลึกฐานะแหลม (ภาพที่ 33) ซึ่งเรียงตัวชิดกันแน่นทำให้มีอุดจางผิวด้านนอกของเปลือกไข่จะเห็นว่าเปลือกไข่ชั้นนอกของเต่ากระมีลักษณะค่อนข้างเสมอ กัน (ภาพที่ 34) ในขณะที่กลุ่มผลึกของเปลือกไข่เต่ามะเฟืองมีขนาดเส้นผ่านศูนย์กลางและความสูงต่ำแตกต่างกันทำให้มีอุ้ยภูพจากผิวด้านนอกของเปลือกไข่โดยใช้หัวตรวจวัด SEI พบร่วมพื้นผิวเปลือกไข่ชั้นนอกของเต่ามะเฟืองบรรทุก ไม่เสมอ กัน (ภาพที่ 35) บริเวณฐานของกลุ่มผลึกยึดติดกับเปลือกไข่ชั้นกลาง (ภาพที่ 36-38) ซึ่งมีรู (pore) ขนาดประมาณ 5-20 ไมโครเมตร เชื่อมต่อ กับเปลือกไข่ชั้นกลางมีรูเดียว

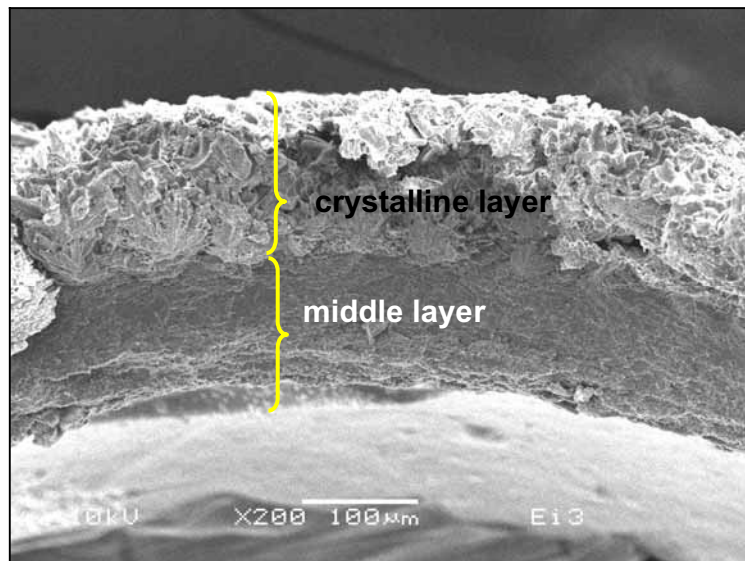
หรือหلامยูในต่าทั้ง 3 ชนิด (ภาพที่ 39-41) ส่วนกลางของกลุ่มผลึกยึดติดกับฐานซึ่งเป็นส่วนบนของเปลือกไข่ชั้นกลาง กลุ่มผลึกเกิดจากจุดกำเนิด (primary spherite) (ภาพที่ 42-43) ซึ่งติดกับเปลือกไข่ชั้นกลางและมีการตกผลึกของแคลเซียมคาร์บอเนต (แคลเซียมคาร์บอเนต) หรือแมกนีเซียมคาร์บอเนต ($MgCO_3$) เป็นแบบอะราโกไนท์เรียงตัวในแนวรัศมี กลุ่มผลึกมีการจัดเรียงตัวอย่างเป็นระเบียบติดต่อกัน เต่าตนุและเต่ากระมีความหนาของเปลือกไข่ชั้นนอกและชั้นกลางใกล้เคียงกันแต่เปลือกไข่ชั้นนอกของเต่ามะเพื่องบางกว่าเปลือกไข่ชั้นกลาง

1.1.2 ชั้นกลาง เรียกว่า middle layer หรือ middle multistrata layer มีลักษณะเป็นโครงสร้างของเส้นใยขนาดประมาณ 0.3-2.0 ไมโครเมตร (ภาพที่ 44) سانกันเป็นร่องแท้ โดยมีช่องว่างระหว่างเส้นใย (ภาพที่ 45-47) มีลักษณะคล้ายรูพรุนในฟองน้ำซึ่งเป็นเส้นทางการแลกเปลี่ยนกําชาระหว่างตัวอ่อนภายในไข่กับสิ่งแวดล้อมภายนอก

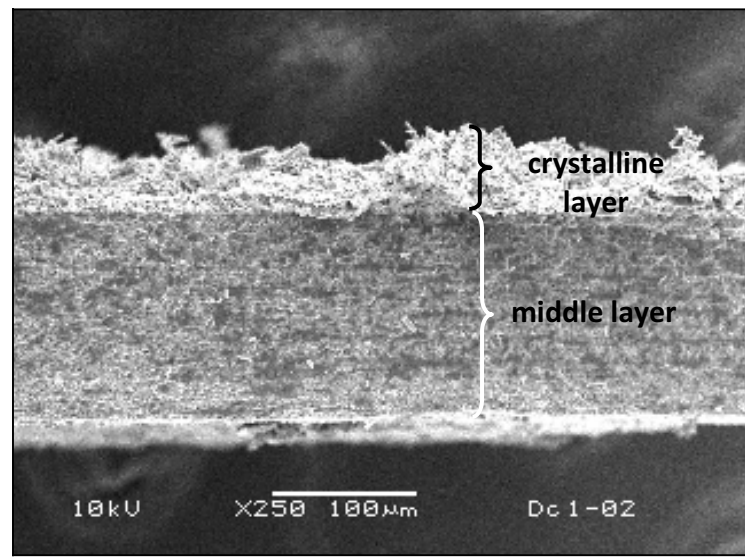
1.1.3 ชั้นใน เรียกว่า inner fibrous layer ประกอบด้วยเส้นใยขนาดเล็กกว่า 0.1 ไมโครเมตร san กันแน่นมาก มีขนาดบางกว่าชั้นอื่นๆ (ภาพที่ 48-53)



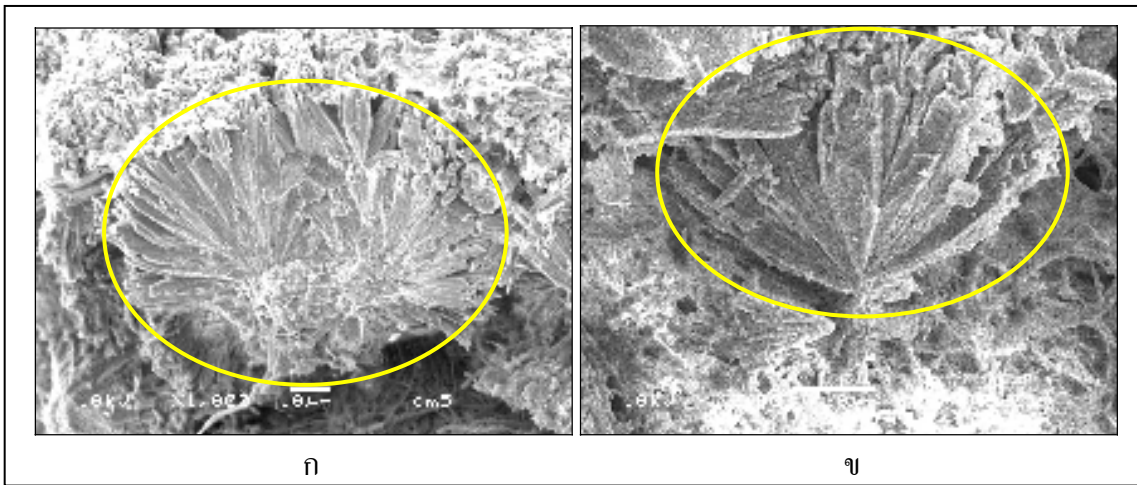
ภาพที่ 20 ภาพจาก SEI แสดงสัณฐานวิทยาของเปลือกไข่เต่าตนุ มองเห็นและแยกได้ชัดเจน 2 ชั้น คือชั้นนอก (crystalline layer) มีลักษณะเป็นกลุ่มของผลึกรวมกันเป็นกระจุกแพร์คี คล้ายรูปพัดและชั้นกลาง (middle layer) หนาและอัดตัวกันแน่น (————— 100 ไมโครเมตร)



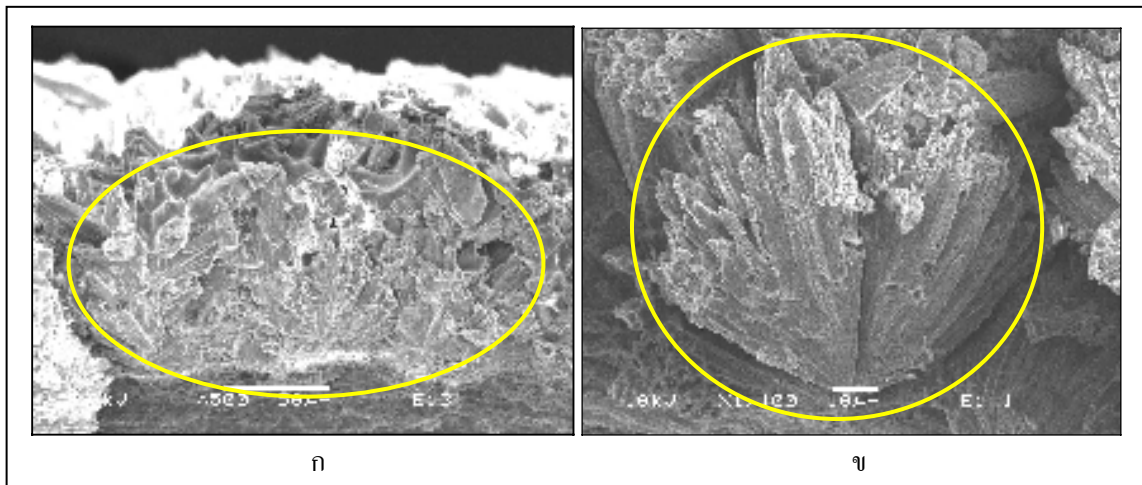
ภาพที่ 21 ภาพจาก SEI แสดงสัณฐานวิทยาของเปลือกไข่เต่ากระมองเห็นและแยกได้ชัดเจน 2 ชั้นคือชั้นนอก (crystalline layer) มีลักษณะเป็นกลุ่มของผลึกรวมกันเป็นกระฉูกแผ่นมีคล้ายรูปพัดและชั้นกลาง (middle layer) หนาและอัดตัวกันแน่น (_____ 100 ไมโครเมตร)



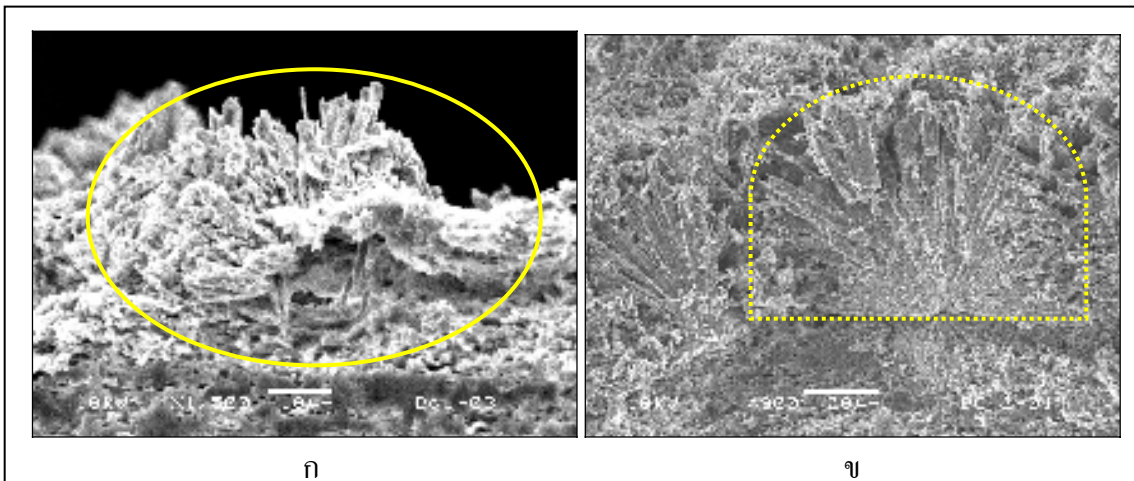
ภาพที่ 22 ภาพจาก SEI แสดงสัณฐานวิทยาของเปลือกไข่เต่ามะเฟือง แยกได้ชัดเจน 2 ชั้นคือชั้นนอก (crystalline layer) มีลักษณะเป็นกลุ่มของผลึกรวมกันเป็นกระฉูกแผ่นมีคล้ายรูปพัดและชั้นกลาง (middle layer) หนาและอัดตัวกันแน่น (_____ 100 ไมโครเมตร)



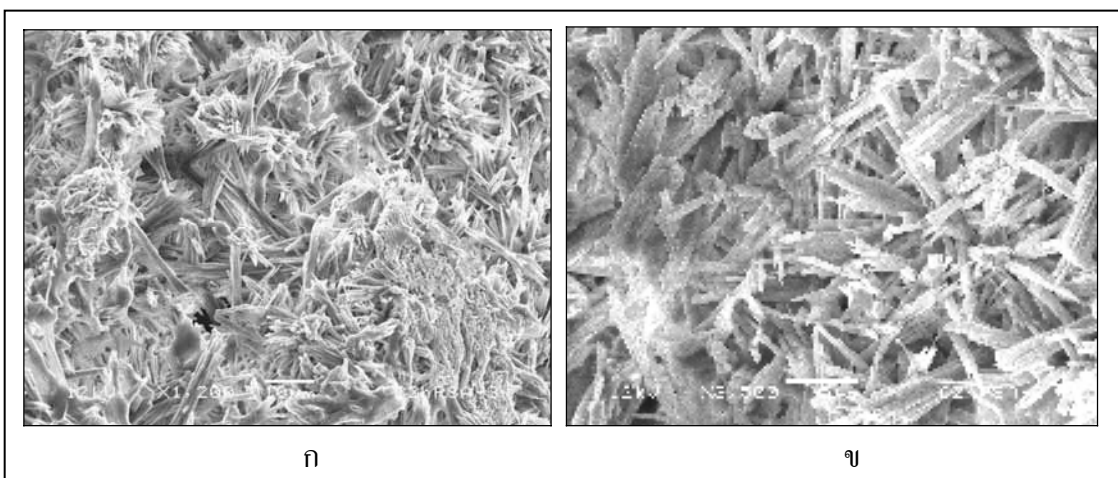
ภาพที่ 23 ภาพจาก SEI และคงลักษณะเปลือกไข่ชั้นนอกมีผลึกรูปทรงหนามแหลมรวมตัวกันเป็นกลุ่มแพร์ซมีของเต่าตนุ (ก) 10 ไมโครเมตร (ข) 10 ไมโครเมตร



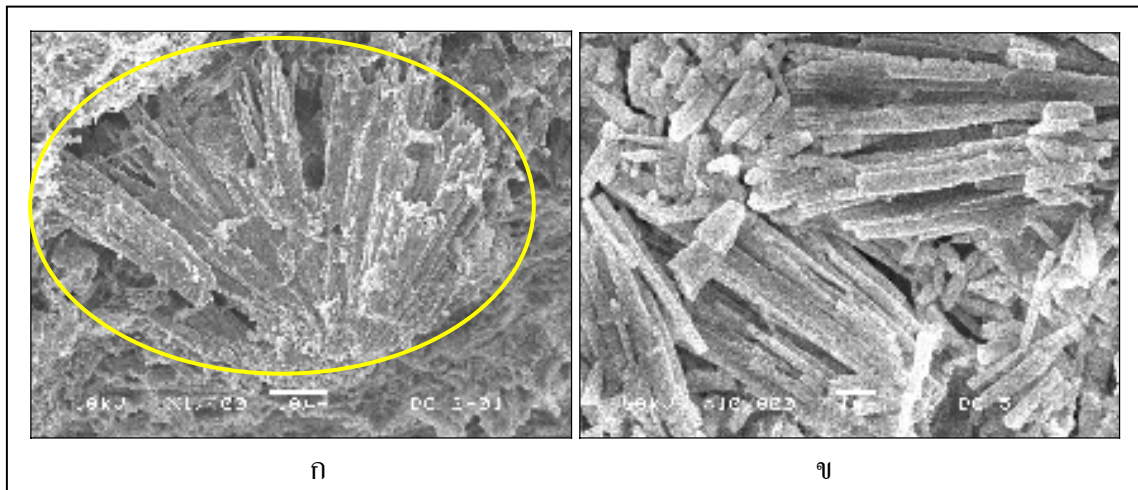
ภาพที่ 24 ภาพจาก SEI แสดงลักษณะเปลือกไข่ชั้นนอกซึ่งมีผลึกเป็นรูปร่างหนามแหลมรวมตัวกันเป็นกลุ่มแพร่ร่มของเต่ากระ (ก) ————— 50 ไมโครเมตร (ข) ————— 10 ไมโครเมตร



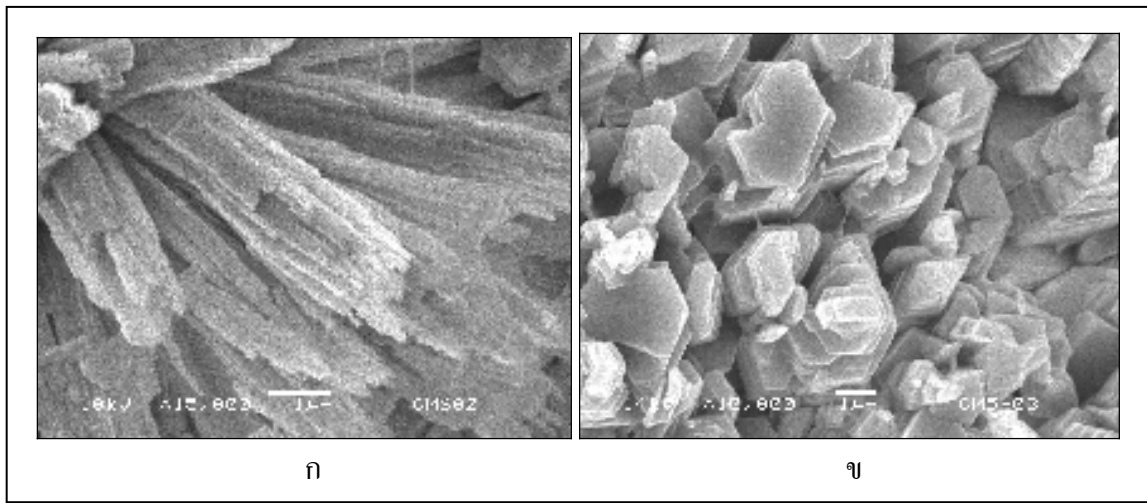
ภาพที่ 25 ภาพจาก SEI แสดงลักษณะเปลือกไข่ชั้นนอกของเต่ามะเฟือง เป็นผลีกรูปร่างหนามแหลมรวมตัวกันเป็นกลุ่มแฟร์ซมี (ก) — 10 ไมโครเมตร (ข) — 20 ไมโครเมตร



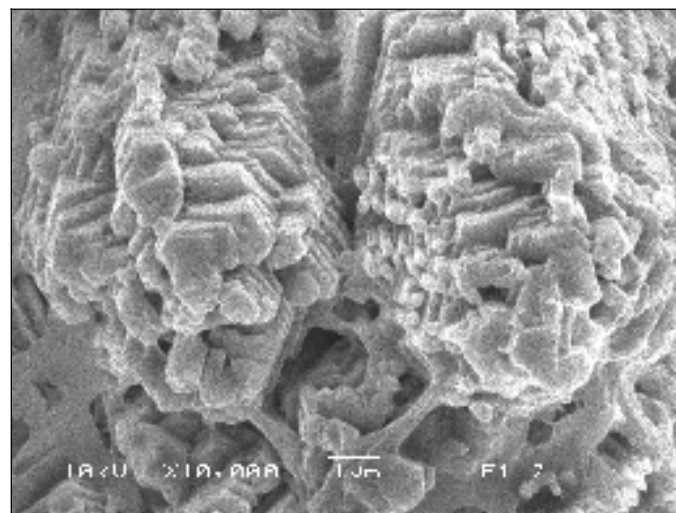
ภาพที่ 26 ภาพจาก SEI และงสัมฐานวิทยาของเปลือกไข่ชั้นนอกของเต่ามะเฟืองเป็นผลกรูปแท่งคล้ายหัวแมลงรวมกันเป็นกลุ่มแฟร์ซมี (ก) — 10 ไมโครเมตร (ข) — 5 ไมโครเมตร



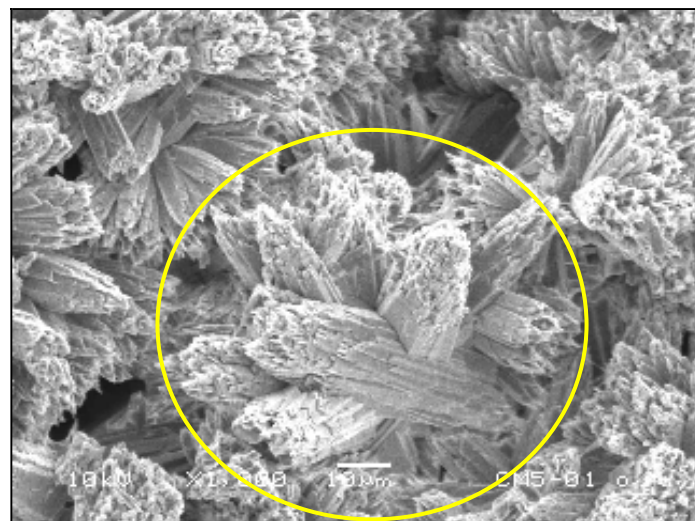
ภาพที่ 27 ภาพจาก SEI และคงลักษณะโครงสร้างผลีกรูปหนามแหลมที่รวมกลุ่มแพร์ศมีในเปลือกไข่ชั้นนอกของเต่ามะเฟืองเป็นผลีกรูปแท่งยาวคล้ายทรงกระบอกบางส่วนหักเป็นท่อนสันๆ รวมตัวกัน (ก) — 10 ไมโครเมตร (ข) — 1 ไมโครเมตร



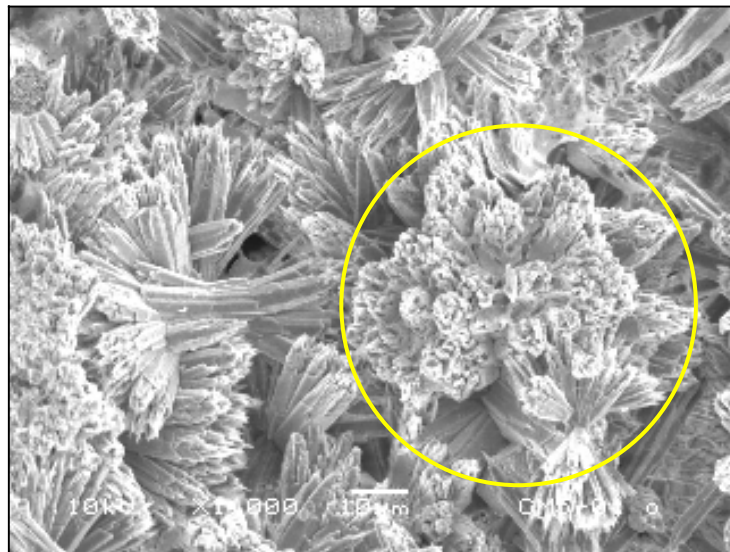
ภาพที่ 28 ภาพจาก SEI แสดงลักษณะโครงสร้างผลึกรูปหนามแหลมในเปลือกไช้ชั้นนอกของเด่า
ต้น เป็นแผ่นผลึกหลากหลายขนาดเรียงซ้อนทับกันและยึดติดกันแน่น (ก) ถ่ายจาก
ด้านข้าง — 1 ไมโครเมตร (ข) ถ่ายจากด้านนอก — 1 ไมโครเมตร



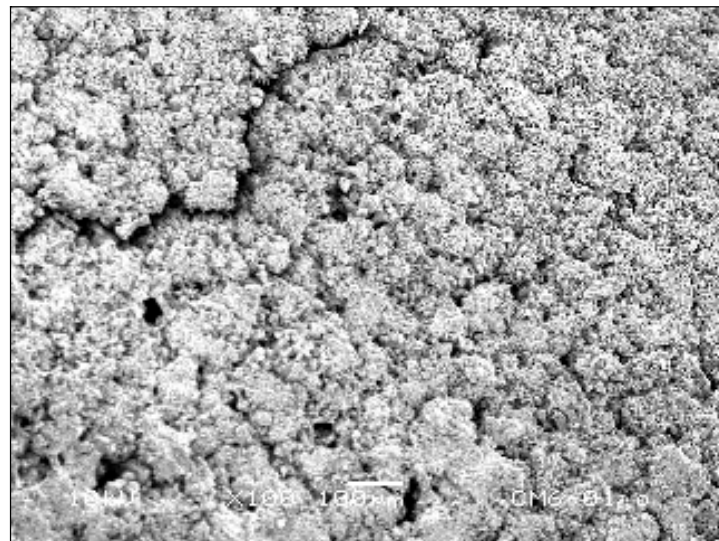
ภาพที่ 29 ภาพจาก SEI แสดงลักษณะโครงสร้างผลึกฐานแอลูมิเนียมเปลือกไข่ชั้นนอกของเต่ากระ (ถ่ายจากผิวด้านนอกของเปลือกไข่) มีลักษณะเป็นแผ่นผลึกขนาดเล็กกว่าของเต่า ต้นเรียงซ้อนทับกันและยึดติดกันแน่นและมีผลึกฐานขนาดเล็กประมาณ 0.2 ไมโครเมตรรวมอยู่ด้วย (— 1 ไมโครเมตร)



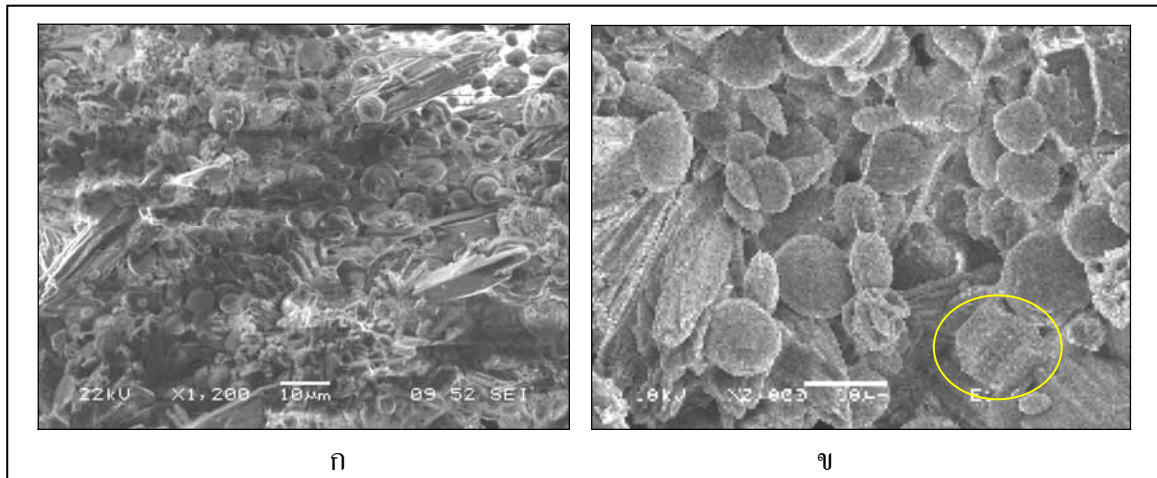
ภาพที่ 30 ภาพจาก SEI แสดงสัณฐานวิทยาของเปลือกไข่ชั้นนอกของเต่าต้นเป็นผลึกฐานแอลูมิเนียมเปลือกไข่ชั้นนอกและมีลักษณะเป็นกลุ่มหรือก้อนแฟร์ซมี (— 10 ไมโครเมตร)



ภาพที่ 31 ภาพจาก SEI แสดงสัณฐานวิทยาของเปลือกไข่ชั้นนอกของเต่าตุ๊ มีลักษณะเป็นผลึก群 แห่งรวมกันเป็นกลุ่มแพร์ซมี (— 10 ไมโครเมตร)



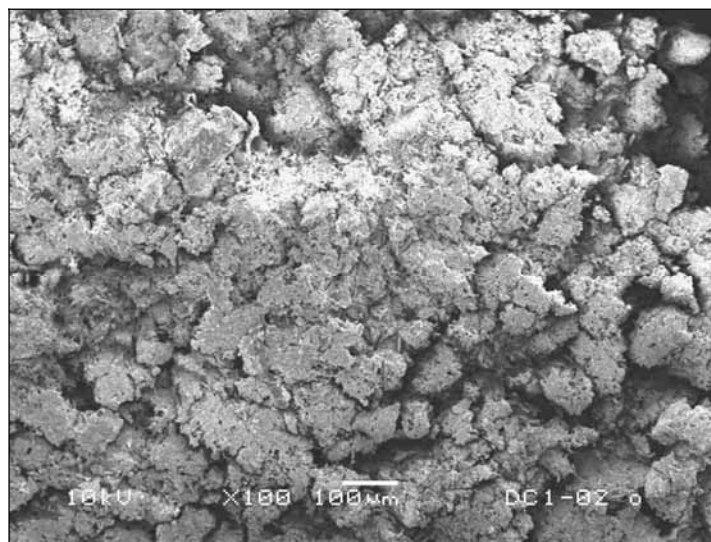
ภาพที่ 32 ภาพจาก SEI แสดงสัณฐานวิทยาของเปลือกไข่เต่าตุ๊ชั้นนอก มีลักษณะเป็นกลุ่มของผลึก เรียงตัวชิดกันแน่นในแนวระนาบแต่ยังสามารถเห็นว่าผลึกแบ่งเป็นกลุ่มๆ (— 100 ไมโครเมตร)



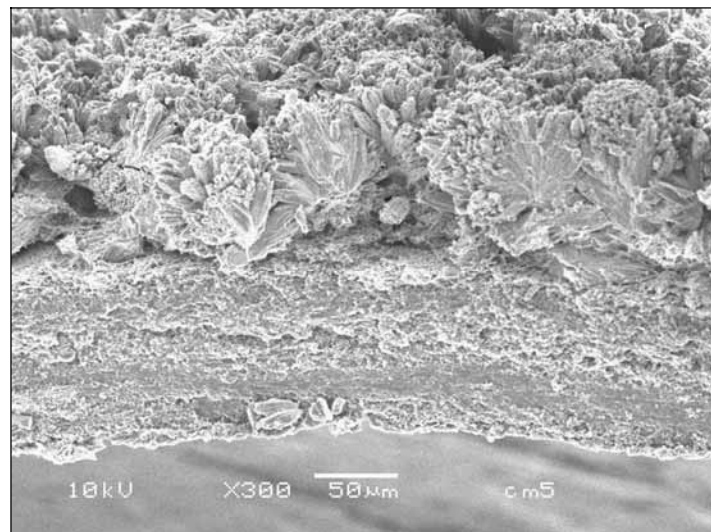
ภาพที่ 33 ภาพจาก SEI แสดงสัมผaanวิทยาของเปลือกไช่ชั้นนอกของเต่ากระ มีลักษณะเป็นผลึก群 แท่งรวมกันเป็นกลุ่มแพร์ซมีและมีผลึก群กลมแทรกกระหว่างกลุ่มผลึก群หานามแหนบ (ก) — 10 ไมโครเมตร (ข) — 10 ไมโครเมตร ในวงกลมคือผลึกแคลเซียม-คาร์บอนเนตแบบแคลไซท์



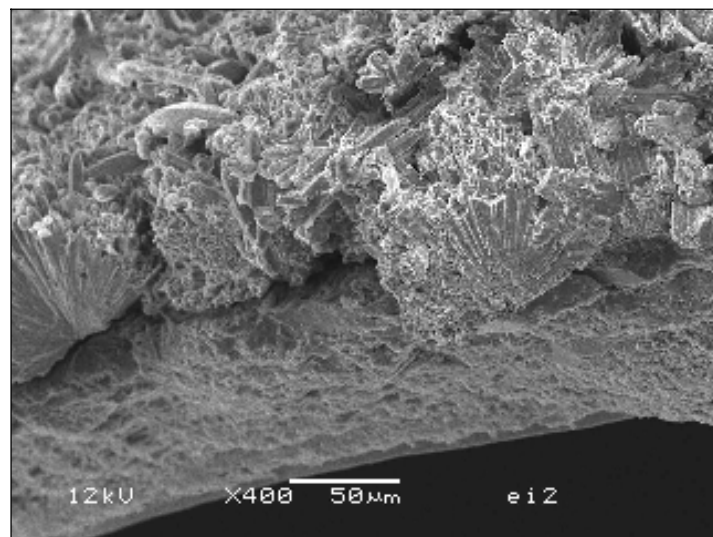
ภาพที่ 34 ภาพจาก SEI แสดงสัมผaanวิทยาของเปลือกไช่ชั้นนอกของเต่ากระ เป็นกลุ่มของผลึกเรียงตัวชิดกันแน่นในแนวระนาบ ด้านบนมีผลึกเล็กๆ รวมตัวกันเป็นแผ่นบางๆ ทำให้ผิวด้านบนเปลือกไช่ชั้นนอกของเต่ากระค่อนข้างเสมอ กัน (— 100 ไมโครเมตร)



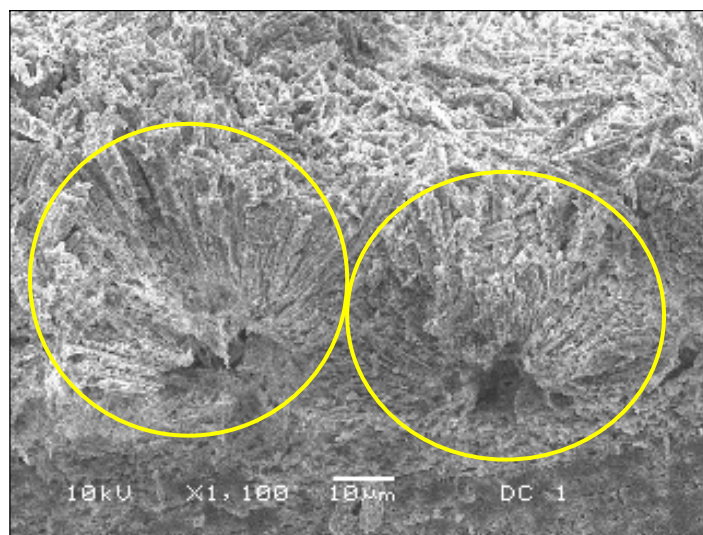
ภาพที่ 35 ภาพจาก SEI แสดงสัมฐานวิทยาของเปลือกไข่เต่ามะเฟืองชั้นนอก มีลักษณะเป็นกลุ่มของผลึกเรียงตัวชิดกันแน่นในแนวระนาบอย่างไม่สม่ำเสมอทำให้ผิวด้านบนของเปลือกไข่เต่ามะเฟืองชั้นนอกมีความสูงต่ำไม่เสมอ กัน (— 100 ไมโครเมตร)



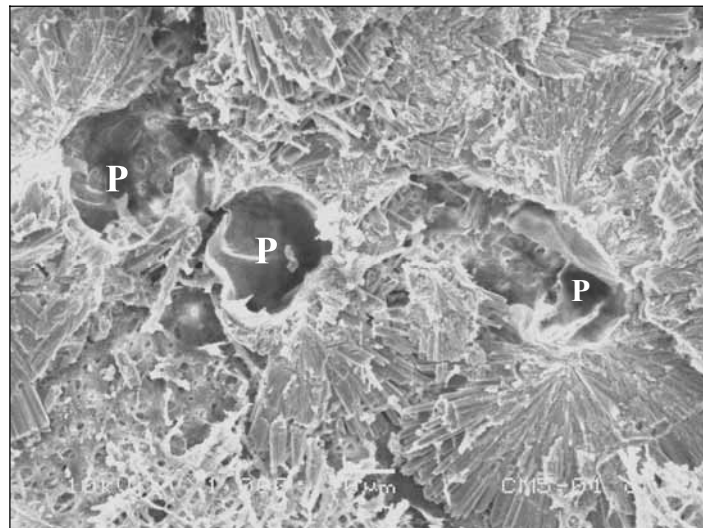
ภาพที่ 36 ภาพจาก SEI แสดงสัมฐานวิทยาชั้นของเปลือกไข่ของเต่าตุ๊ชั้นนอกมีลักษณะเป็นผลึกรูปแห่งรวมกันเป็นกลุ่มแผ่นๆ มีเรียงตัวชิดกันแน่น (— 50 ไมโครเมตร)



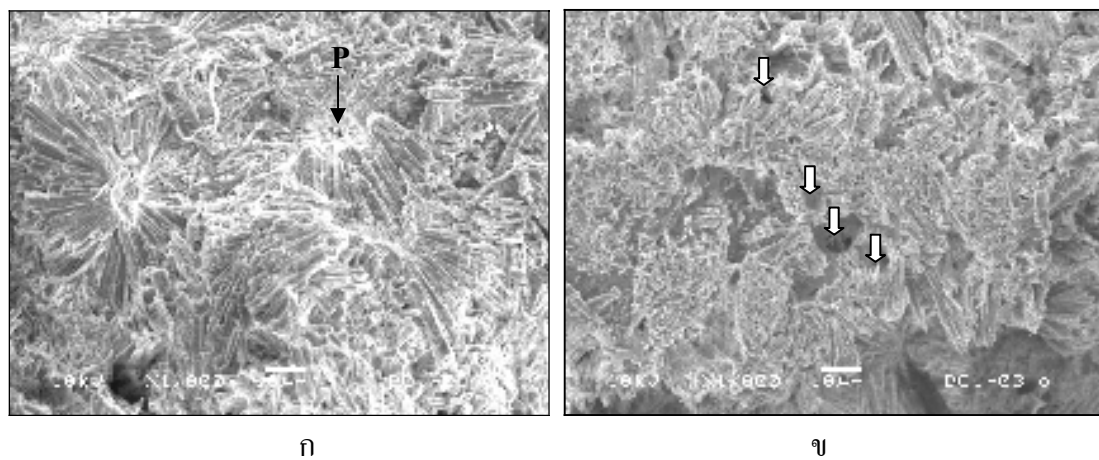
ภาพที่ 37 ภาพจาก SEI แสดงสัมฐานวิทยาชั้นของเปลือกไข่ของเต่ากระ ชั้นนอกมีลักษณะเป็นผลึกรูปแท่งรวมกันเป็นกลุ่มแผ่นคิม เรียงตัวชิดกันแน่นและมีผลึกรูปกลมแทรกกระหว่างกลุ่มผลึกรูปแท่ง (—— 50 ไมโครเมตร)



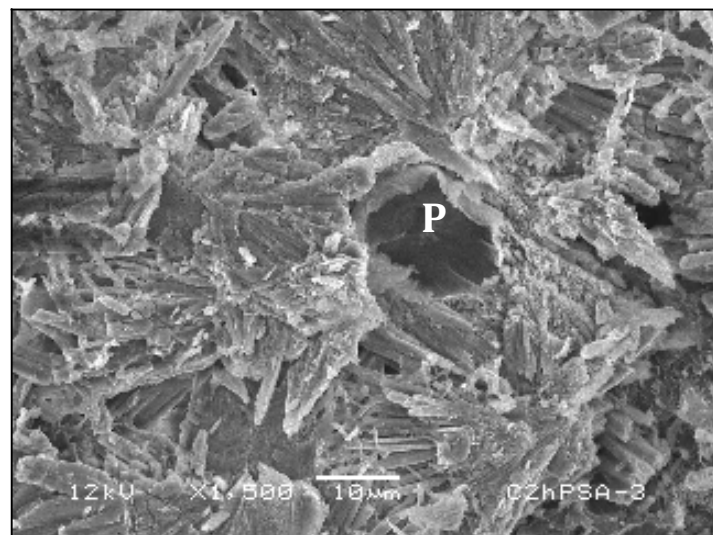
ภาพที่ 38 ภาพจาก SEI แสดงสัมฐานวิทยาของเปลือกไข่ชั้นนอกของเต่ามะเฟือง มีลักษณะเป็นผลึกรูปหนามแหลมรวมเป็นกลุ่มแผ่นคิม มีขนาดของกลุ่มผลึกเล็กที่สุดเมื่อเทียบกับเต่าตุนและเต่ากระ (—— 10 ไมโครเมตร)



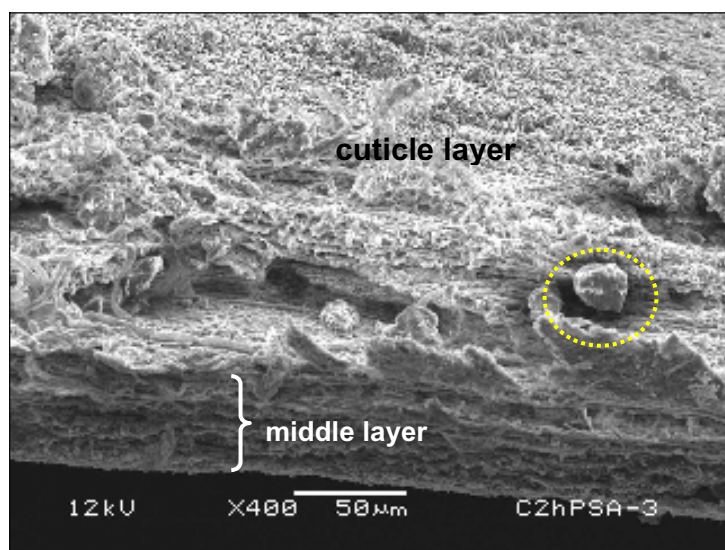
ภาพที่ 39 ภาพจาก SEI แสดงลักษณะฐานของกลุ่มผลึกในเปลือกไข่ชั้นนอกของเต่าคนมีรู (P=pore) อยู่บริเวณส่วนกลางของฐานที่ยึดติดกับเปลือกไข่ชั้นกลาง โดยจะเชื่อมต่อระหว่างเปลือกไข่ชั้นนอกและชั้นกลางซึ่งเป็นช่องทางสำหรับกระบวนการแลกเปลี่ยนแก๊สของเปลือกไข่ (— 10 ไมโครเมตร)



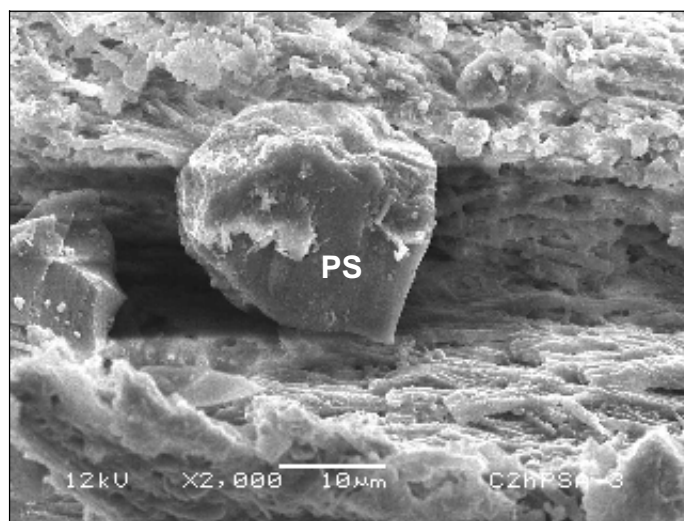
ภาพที่ 40 ภาพจาก SEI แสดงลักษณะฐานของกลุ่มผลึกที่เกิดจากผลึกปูหนามแหลมรวมตัวแล้วคลุมในเปลือกไข่ชั้นนอกของเต่ามะเฟือง โดยบริเวณฐานของกลุ่มผลึกมีรู (P=pore) อาจมีรูเดียวหรือหลายรูเชื่อมต่อระหว่างเปลือกไข่ชั้นนอกและชั้นกลางซึ่งเป็นช่องทางการแลกเปลี่ยนแก๊สของตัวอ่อนภายในไข่กับสิ่งแวดล้อม (ก) — 10 ไมโครเมตร (ข) — 10 ไมโครเมตร



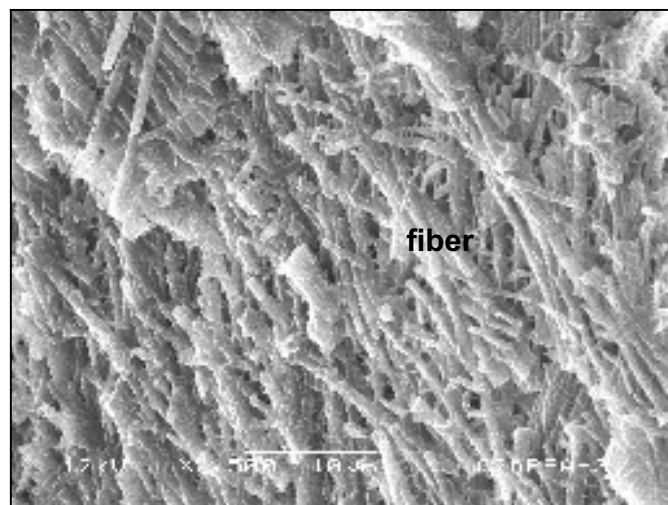
ภาพที่ 41 ภาพจาก SEI แสดงลักษณะรู (P=pore) ของเต่านะเพื่อเป็นบริเวณที่ส่วนกลางของกลุ่มผลึกยึดติดกับฐานอาจมีรูเดียวหรือหลายรูเชื่อมต่อกันเปลือกไข่ชั้นกลาง (—— 10 ไมโครเมตร)



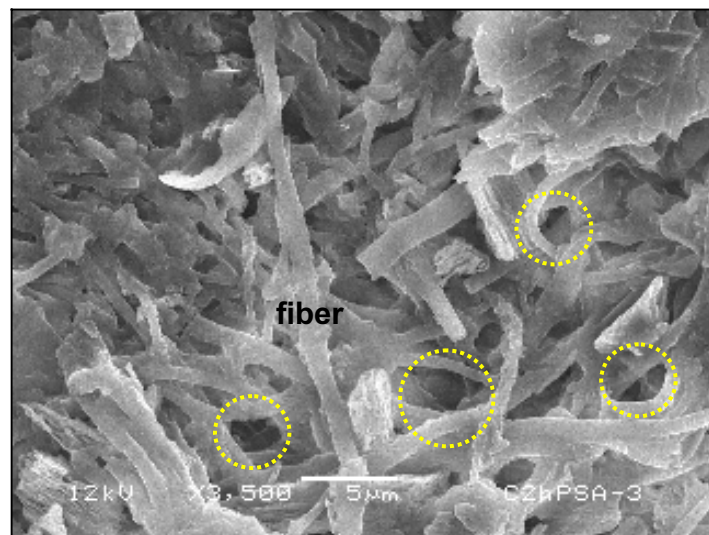
ภาพที่ 42 ภาพจาก SEI แสดงสัณฐานวิทยาเปลือกไข่ชั้นกลางของเต่านะเพื่อ มีลักษณะเป็นเส้นใยที่สาบกันแน่นเรียบตัวเป็นชั้นๆ ติดกัน บริเวณระหว่างเปลือกไข่ชั้นนอกและชั้นกลาง มีส่วนของจุดกำเนิด (primary spherite) (○) (—— 50 ไมโครเมตร)



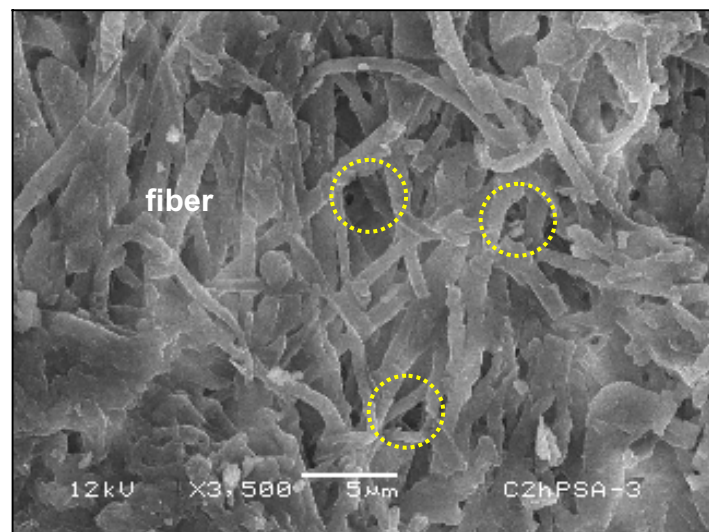
ภาพที่ 43 ภาพจาก SEI แสดงสัมผaanวิทยาของจุดกำนิด (PS=primary spherite) ของเต่ามะเฟือง อยู่ระหว่างเปลือกไข่ชั้นบนและชั้นกลาง (_____ 10 ไมโครเมตร)



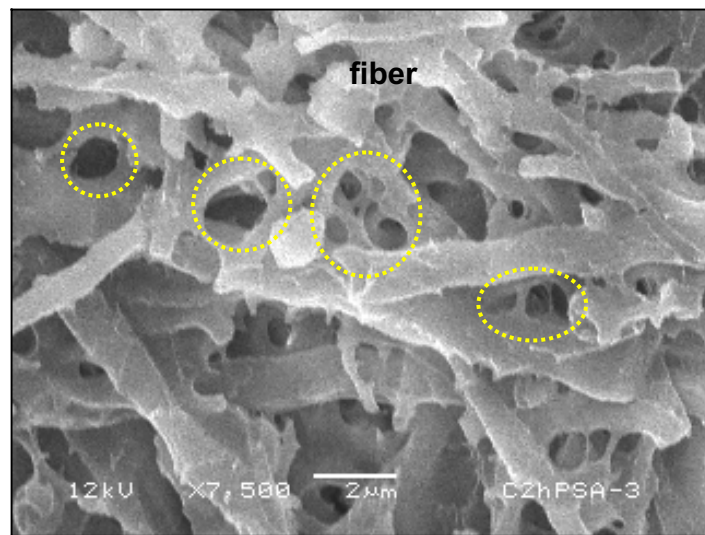
ภาพที่ 44 ภาพจาก SEI แสดงลักษณะเส้นใย (fiber) ที่سانกันเป็นร่องแทบทองเปลือกไข่ชั้นกลางในเปลือกไข่เต่ามะเฟือง (_____ 10 ไมโครเมตร)



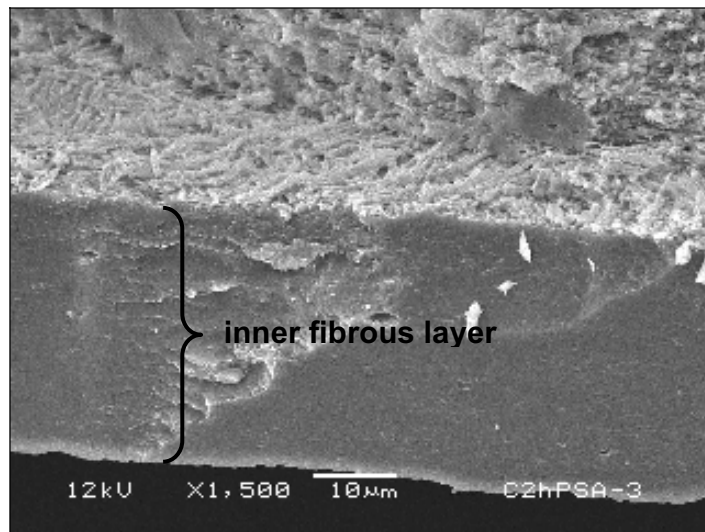
ภาพที่ 45 ภาพจาก SEI แสดงลักษณะเส้นใย (fiber) ที่سانกันเป็นร่างแทะและช่องว่างระหว่างเส้นใย (○○○) ในเปลือกไข่ชั้นกลางเต่าตุ๊ (_____ 5 ไมโครเมตร)



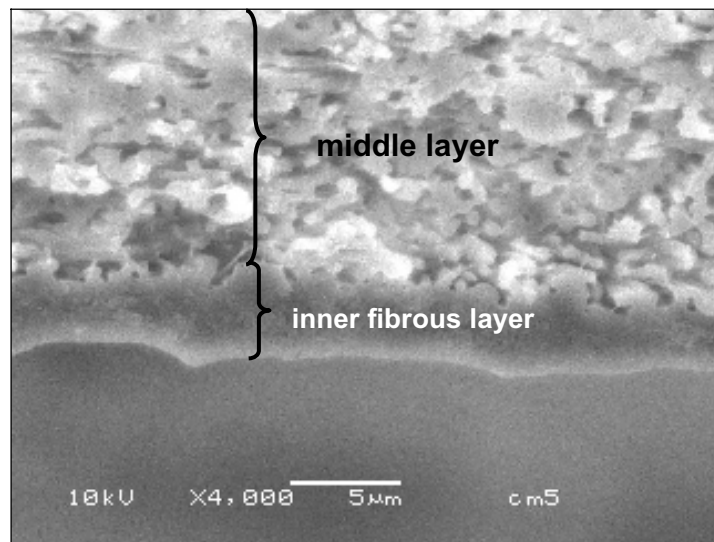
ภาพที่ 46 ภาพจาก SEI แสดงลักษณะเส้นใย (fiber) ที่เรียงตัว san กันแน่นและช่องว่างระหว่างเส้นใย (○○○) ของเปลือกไข่ชั้นกลางของเต่ากระ (_____ 5 ไมโครเมตร)



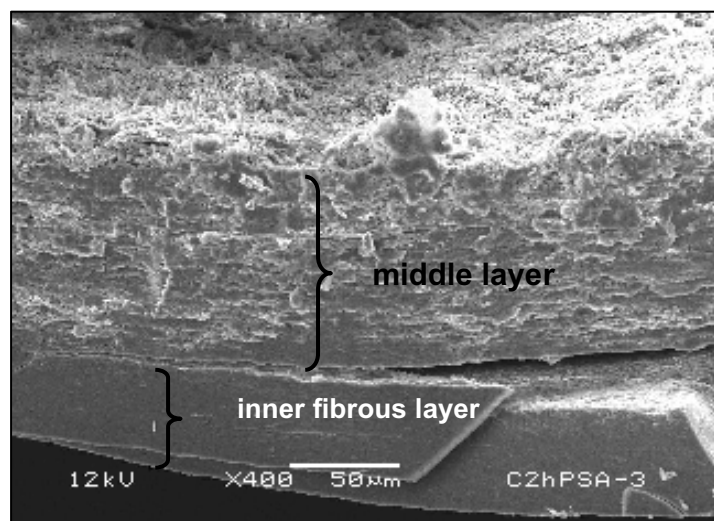
ภาพที่ 47 ภาพจาก SEI แสดงลักษณะเส้นใย (fiber) ที่สานกันเป็นร่างแทะและช่องว่างระหว่างเส้นใย (○) ของเปลือกไข่ชั้นกลางในเปลือกไข่ต่ามะเฟือง (—— 2 ไมโครเมตร)



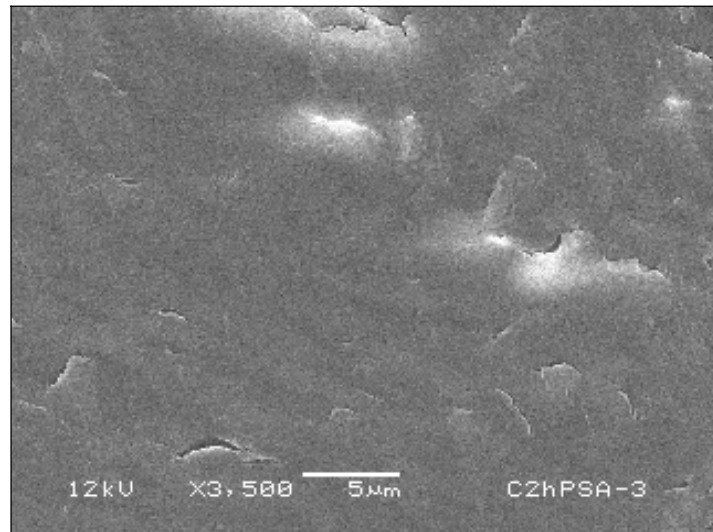
ภาพที่ 48 ภาพจาก SEI แสดงสัมฐานวิทยาเปลือกไข่ชั้นในของเต่ากระ (—— 10 ไมโครเมตร)



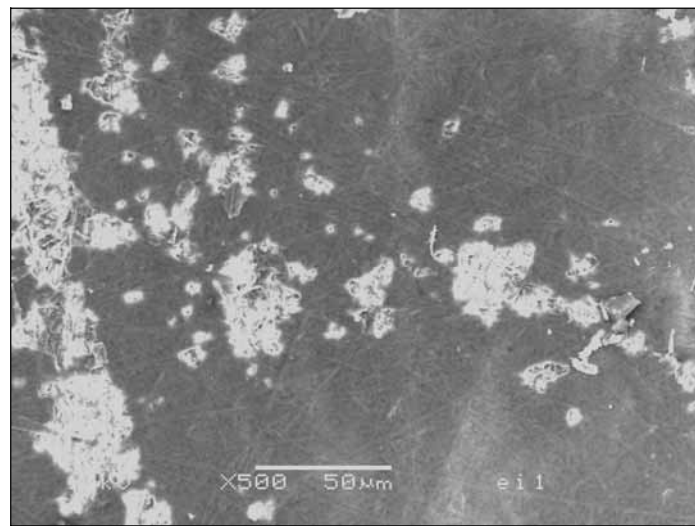
ภาพที่ 49 ภาพจาก SEI แสดงสัมฐานวิทยาเปลือกไข่ชั้นกลาง (middle layer) และชั้นใน (inner fibrous layer) ของเต่าตぬ (————— 5 ไมโครเมตร)



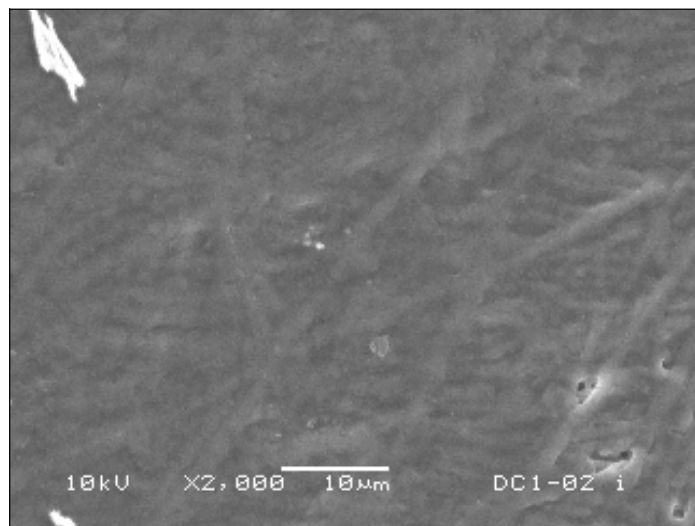
ภาพที่ 50 ภาพจาก SEI แสดงสัมฐานวิทยาเปลือกไข่ชั้นกลาง (middle layer) และชั้นใน (inner fibrous layer) ของเต่ามะเฟือง (————— 50 ไมโครเมตร)



ภาพที่ 51 ภาพจาก SEI แสดงลักษณะเปลือกไข่ชั้นใน (ถ่ายจากผิวด้านใน) ของเต่าตุ่น เป็นเส้นไขขนาดเล็กกว่า 0.1 ไมโครเมตร สถานะกันแน่นทั้งชั้น ผิวด้านในมีลักษณะเรียบ (_____ 5 ไมโครเมตร)



ภาพที่ 52 ภาพจาก SEI แสดงลักษณะเปลือกไข่ชั้นใน (ถ่ายจากผิวด้านใน) ของเต่ากระ เป็นเส้นไขขนาดเล็กกว่า 0.1 ไมโครเมตร สถานะกันแน่นทั้งชั้น ผิวด้านในมีลักษณะเรียบและบางทำให้เห็นเส้นไขของเปลือกไข่ชั้นกลาง (_____ 50 ไมโครเมตร)



ภาพที่ 53 ภาพจาก SEI แสดงลักษณะเปลือกไข่ชันใน (ถ่ายจากผิวค้านใน) ของเต่ามะเฟืองเป็นเส้นไขบนาดเล็กกว่า 0.1 ไมโครเมตร سانกันแน่นทึ้งชั้น ผิวค้านในมีลักษณะเรียบและบางทำให้เห็นเส้นไขของเปลือกไข่ชันกลาง (_____ 10 ไมโครเมตร)

1.2 ความหนาของชั้นเปลือกไข่เต่าทะเล

1.2.1 ชั้นนอก

จากการวัดความหนาของชั้นนอกของเต่าตุ่น เต่ากระและเต่ามะเฟืองเท่ากับ 129.88 ± 14.22 , 117.51 ± 16.19 และ 83.67 ± 17.15 ไมโครเมตร ตามลำดับ ซึ่งจากการวิเคราะห์ทางสถิติที่ระดับนัยสำคัญ 0.05 ความหนาของเปลือกไข่ชันนอกของเต่าทะเลทั้ง 3 ชนิด มีความแตกต่างกันอย่างมีนัยสำคัญ ($P < 0.05$) (ตารางที่ 3)

ตารางที่ 4 แสดงความหนาของเปลือกไข่ชันนอกของเต่าตุ่น เต่ากระและเต่ามะเฟือง

ชนิดเต่าทะเล	N	ความหนา (Mean \pm S.D.; ไมโครเมตร)
เต่าตุ่น	54	129.88 ± 14.22^c
เต่ากระ	27	117.51 ± 16.19^b
เต่ามะเฟือง	30	83.67 ± 17.15^a

*a, b, c แบ่งกลุ่มความแตกต่างจากน้อยไปมากโดยใช้ Duncan's test ($P < 0.05$)

1.2.2 ชั้นกลาง

จากการวัดความหนาของชั้นกลางของเต่าตันุ เต่ากระและเต่ามะเฟืองเท่ากับ 118.32 ± 20.06 , 108.06 ± 13.00 และ 144.20 ± 2.20 ไมโครเมตร ตามลำดับ ซึ่งจากการวิเคราะห์ทางสถิติที่ระดับนัยสำคัญ 0.05 ความหนาของเปลือกไข่ชั้นกลางของเต่าทะเลทั้ง 3 ชนิด มีความแตกต่างกันอย่างมีนัยสำคัญ ($P < 0.05$) (ตารางที่ 4)

ตารางที่ 5 แสดงความหนาของเปลือกไข่ชั้นกลางของเต่าตันุ เต่ากระและเต่ามะเฟือง

ชนิดเต่าทะเล	N	ความหนา (Mean \pm S.D.; ไมโครเมตร)
เต่าตันุ	54	118.32 ± 20.06 b
เต่ากระ	27	108.06 ± 13.00 a
เต่ามะเฟือง	30	144.20 ± 2.20 c

*a, b, c แบ่งกลุ่มความแตกต่างจากน้อยไปมากโดยใช้ Duncan's test ($P < 0.05$)

1.2.3 ชั้นใน

จากการวัดความหนาของเปลือกไข่ชั้นในของเต่าตันุ เต่ากระและเต่ามะเฟือง เท่ากับ 3.72 ± 0.86 , 11.38 ± 3.07 และ 9.69 ± 2.53 ไมโครเมตร ตามลำดับ ซึ่งจากการวิเคราะห์ทางสถิติที่ระดับนัยสำคัญ 0.05 ความหนาของเปลือกไข่ชั้นในของเต่าทะเลทั้ง 3 ชนิด มีความแตกต่างกันอย่างมีนัยสำคัญ ($P < 0.05$) (ตารางที่ 5)

ตารางที่ 6 แสดงความหนาของเปลือกไข่ชั้นในของเต่าตันุ เต่ากระและเต่ามะเฟือง

ชนิดเต่าทะเล	N	ความหนา (Mean \pm S.D.; ไมโครเมตร)
เต่าตันุ	54	3.72 ± 0.86 a
เต่ากระ	27	11.38 ± 3.07 c
เต่ามะเฟือง	30	9.69 ± 2.53 b

*a, b, c แบ่งกลุ่มความแตกต่างจากน้อยไปมากโดยใช้ Duncan's test ($P < 0.05$)

1.2.4 ความหนาของเปลือกไข่เต่าทะเลรวมทั้ง 3 ชั้น

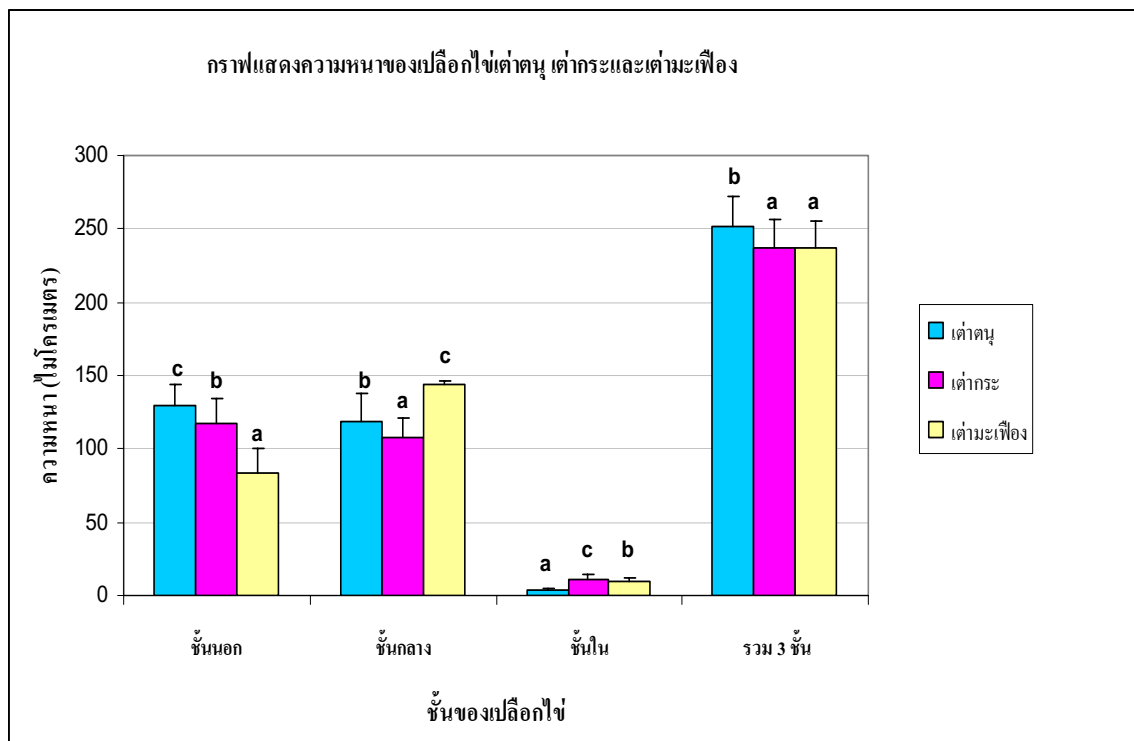
ความหนาของเปลือกไข่รวมทั้ง 3 ชั้นของเต่าตัน เต่ากระและเต่ามะเฟือง เท่ากับ 251.92 ± 20.86 , 236.94 ± 19.28 และ 237.57 ± 18.23 ไมโครเมตร ตามลำดับ ซึ่งจาก การวิเคราะห์ทางสถิติที่ระดับนัยสำคัญ 0.05 ความหนาของเปลือกไข่ชั้นนอกของเต่ากระและเต่ามะเฟืองน้อยกว่าเต่าตันอย่างมีนัยสำคัญ ($P < 0.05$) (ตารางที่ 6)

ตารางที่ 7 แสดงความหนาของเปลือกไข่เต่าตัน เต่ากระและเต่ามะเฟือง

ชนิดเต่าทะเล	N	ความหนา (Mean \pm S.D.; ไมโครเมตร)
เต่าตัน	54	251.92 ± 20.86 b
เต่ากระ	27	236.94 ± 19.28 a
เต่ามะเฟือง	30	237.57 ± 18.23 a

*a, b แบ่งกลุ่มความแตกต่างจากน้อยไปมากโดยใช้ Duncan's test ($P < 0.05$)

กราฟที่ 1 แสดงความหนาของเปลือกไข่เต่าตัน เต่ากระและเต่ามะเฟือง



*a, b, c แบ่งกลุ่มความแตกต่างจากน้อยไปมากโดยใช้ Duncan's test ($P < 0.05$)

2. ศึกษาชาตุองค์ประกอบของเปลือกไข่เต่ากระ เต่าตันและเต่ามะเฟืองด้วยหัวตรวจวัด EDX

2.1 เต่าตัน

จากการวิเคราะห์ชาตุองค์ประกอบเป็นเปอร์เซ็นต์ในเปลือกไข่เต่าตันจำนวน 18 ฟอง ศึกษาฟองละ 3 ชิ้น พบว่าประกอบด้วยชาตุเรียงจากมากไปน้อยคือ คาร์บอน ออกซิเจน แคลเซียม กำมะถัน ฟลูออริน โนลิบดินัม ไบรมีน อะลูมิเนียม โซเดียม ทองแดง ตะกั่ว คลอริน ซิลิกอน โพแทสเซียม พาลาเดียม ฟอสฟอรัส แมกนีเซียม ไอโอดีนและแคลเมียม ตามลำดับ (ตารางที่ 5) โดยชาตุองค์ประกอบหลักของเปลือกไข่เต่าทะเลคือ คาร์บอน ออกซิเจนและแคลเซียม ซึ่งจากการทดลองพบว่าแคลเซียมมีการสะสมในเปลือกไข่ชั้นนอกมากกว่าเปลือกไข่ชั้นอื่นๆ อย่าง มีนัยสำคัญ ($P<0.05$) และพบโลหะหนัก 0.1-0.5 เปอร์เซ็นต์ กือ โนลิบดินัม ทองแดง ตะกั่ว พาลาเดียมและแคลเมียม ซึ่งส่วนใหญ่พบอยู่ในเปลือกไข่ชั้นนอก ยกเว้น โนลิบดินัมที่พบในทุกชั้นของเปลือกไข่ ผลจากการทดสอบทางสกัตติเพื่อศึกษาความแตกต่างของเปลือกไข่ทั้ง 3 ชิ้นจากไข่ฟองเดียวกันที่ระดับนัยสำคัญ 0.05 พบว่ามีความแตกต่างกันอย่างไม่มีนัยสำคัญ ($P>0.05$)

2.2 เต่ากระ

จากการวิเคราะห์ชาตุองค์ประกอบเป็นเปอร์เซ็นต์ในเปลือกไข่เต่ากระจำนวน 9 ฟอง ศึกษาฟองละ 3 ชิ้น พบว่าเปลือกไข่เต่ากระประกอบด้วยชาตุเรียงจากมากไปน้อยคือ คาร์บอน ออกซิเจน แคลเซียม อะลูมิเนียม ไบรมีน กำมะถัน ฟลูออริน ตะกั่ว โซเดียม คลอริน โนลิบดินัม แมกนีเซียม ฟอสฟอรัส ไอโอดีน ซิลิกอน พาลาเดียมและโพแทสเซียม ตามลำดับ (ตารางที่ 6) โดยชาตุองค์ประกอบหลักของเปลือกไข่เต่าทะเลคือ คาร์บอน ออกซิเจนและแคลเซียม ซึ่งจากการทดลองพบว่าแคลเซียมมีการสะสมในเปลือกไข่ชั้นนอกมากกว่าเปลือกไข่ชั้นอื่นๆ อย่างมีนัยสำคัญ ($P<0.05$) และพบโลหะหนัก 0.1-0.5 เปอร์เซ็นต์ กือ โนลิบดินัม ตะกั่วและพาลาเดียม ซึ่งส่วนใหญ่พบอยู่ในเปลือกไข่ชั้นนอก ยกเว้น โนลิบดินัมที่พบในทุกชั้นของเปลือกไข่ ผลจากการทดสอบทางสกัตติเพื่อศึกษาความแตกต่างของเปลือกไข่ทั้ง 3 ชิ้นจากไข่ฟองเดียวกันที่ระดับนัยสำคัญ 0.05 พบว่า มีความแตกต่างกันอย่างไม่มีนัยสำคัญ ($P>0.05$)

2.3 เต่ามะเฟือง

จากการวิเคราะห์ชาตุองค์ประกอบเป็นเปอร์เซ็นต์ในเปลือกไข่เต่ามะเฟืองจำนวน 10 ฟอง ศึกษาฟองละ 3 ชิ้น พบว่าเปลือกไข่เต่ามะเฟืองประกอบด้วยชาตุ เรียงจากมากไปน้อยคือ คาร์บอน ออกซิเจน แคลเซียม กำมะถัน ไบรมีน พาลาเดียม อะลูมิเนียม ตะกั่ว โนลิบดินัม ไอโอดีน ทองแดง ซิลิกอน คลอริน โซเดียม ฟลูออริน ฟอสฟอรัสและแมกนีเซียม ตามลำดับ (ตารางที่ 7) โดยชาตุองค์ประกอบหลักของเปลือกไข่เต่าทะเลคือ คาร์บอน ออกซิเจนและแคลเซียม ซึ่งจากการทดลองพบว่าแคลเซียมมีการสะสมในเปลือกไข่ชั้นนอกมากกว่าเปลือกไข่ชั้นอื่นๆ อย่างมีนัยสำคัญ

($P<0.05$) และพบโลหะหนัก 0.22-0.50 เปอร์เซ็นต์ คือพาลาเดียม ตะกั่ว โมลิบดินัมและทองแดง ซึ่งส่วนใหญ่พบอยู่ในเปลือกไข่ชั้นนอก ยกเว้นโมลิบดินัมที่พบในทุกชั้นของเปลือกไข่ ผลจากการทดสอบทางสถิติเพื่อศึกษาความแตกต่างของเปลือกไข่ทั้ง 3 ชั้นจากไข่ฟองเดียวกันที่ระดับนัยสำคัญ 0.05 พบว่ามีความแตกต่างกันอย่าง ไม่มีนัยสำคัญ ($P>0.05$)

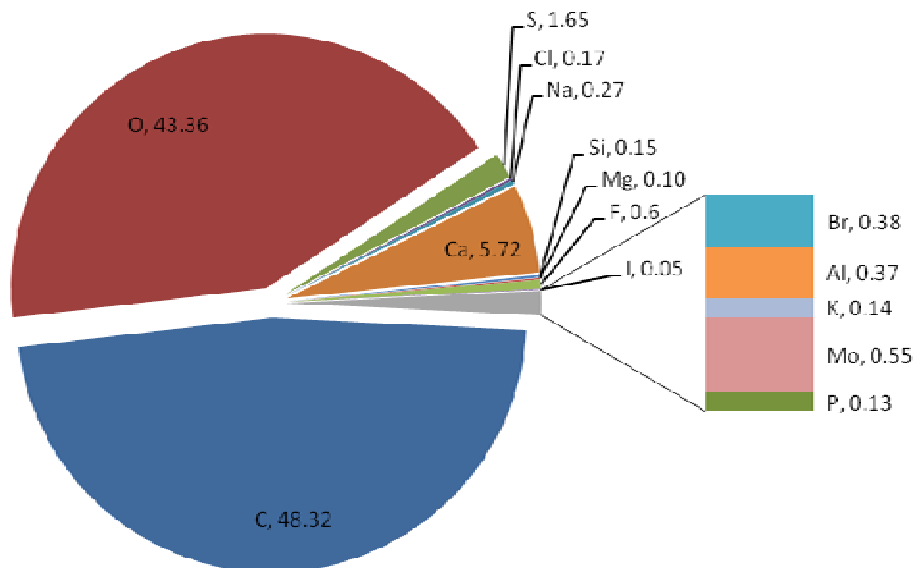
ตารางที่ 8 แสดงชาตุของค่าประกอบเป็นเปอร์เซ็นต์ในเปลือกไข่ต่อต้น

ชาตุ	เปอร์เซ็นต์ชาตุในเปลือกไข่ (mean±S.D.)			
	ชั้นนอก	ชั้นกลาง	ชั้นใน	รวม
C	48.32±17.19a	62.35±7.28b	57.44±8.05b	54.85±13.77
O	43.36±11.33b	33.09±8.21a	38.53±9.02b	39.33±10.47
Ca	5.72±9.67b	0.36±0.97a	0.41±1.44a	2.54±6.70
S	1.65±1.83	3.31±4.31	2.07±2.34	2.16±2.73
F	0.60±0.75	0.41**	0.26±0.07	0.49±0.62
Mo	0.55±0.46	0.17±0.13	0.24±0.22	0.34±0.09
Br	0.38±0.53	0.06**	-	0.30±0.45
Al	0.37±0.49b	0.04±0.02a	0.05±0.05a	0.21±0.38
Na	0.27±0.67	0.37±0.84	0.18±0.18	0.96±1.23
Cu	0.21±0.14	-	-	0.21±0.14
Pb	0.20±0.09	-	-	0.21±0.07
Cl	0.17±0.27a	0.42±0.67b	0.14±0.29a	0.21±0.39
Si	0.15±0.22	0.15±0.10	0.28±0.65	0.21±0.46
K	0.14±0.14	0.14±0.16	0.09±0.05	0.12±0.12
Pd	0.14**	-	-	0.14**
P	0.13±0.11	0.06±0.09	0.26±0.29	0.17±0.22
Mg	0.10±1.35b	0.05±0.03a	0.14±0.08b	0.10±0.10
I	0.05**	-	0.10**	0.08±0.04
Cd	0.08**		0.12**	0.10±0.03

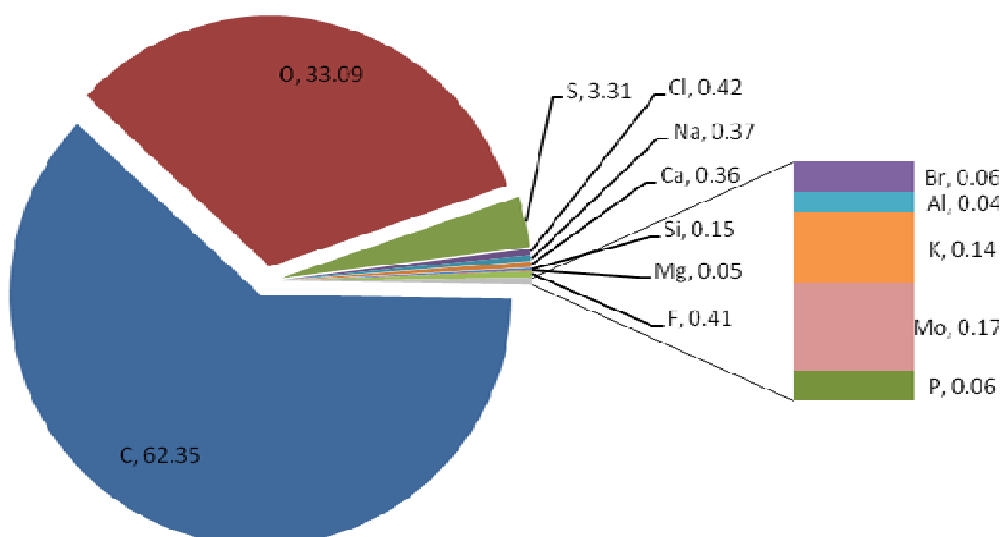
*a, b แบ่งกลุ่มความแตกต่างของเปอร์เซ็นต์ชาตุในแต่ละชั้นจากน้อยไปมากโดยใช้ Kruskal-Wallis's test ($P<0.05$)

**ตัวอย่างที่พบมีจำนวนน้อยเกินไป (1-2 ชิ้น) ไม่สามารถนำไปวิเคราะห์ทางสถิติได้

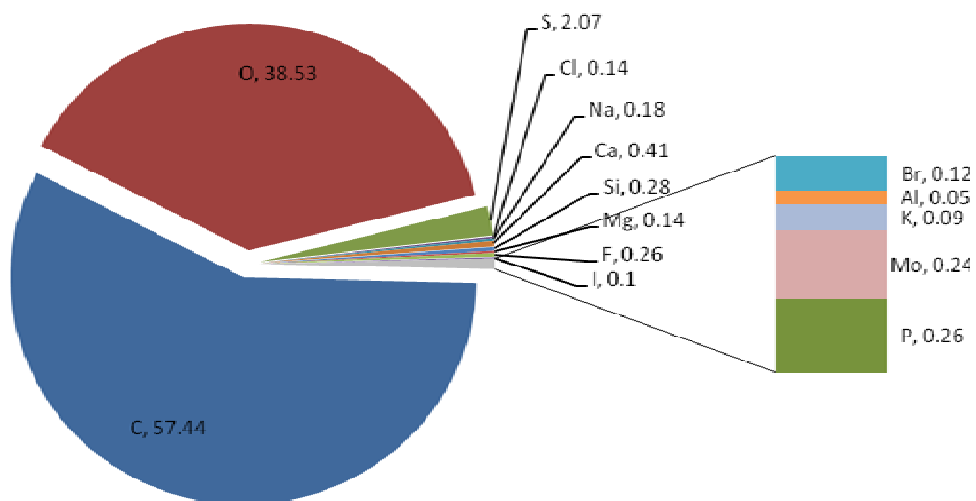
กราฟที่ 2 แสดงสัดส่วนธาตุองค์ประกอบแต่ละชนิดเป็นเปอร์เซ็นต์ในเปลือกไข่ชั้นนอกของเต่าตุน
(n = 54)



กราฟที่ 3 แสดงสัดส่วนธาตุองค์ประกอบแต่ละชนิดเป็นเปอร์เซ็นต์ในเปลือกไข่ชั้นกลางของเต่าตุน
(n = 54)



กราฟที่ 4 แสดงสัดส่วนธาตุองค์ประกอบแต่ละชนิดเป็นเปอร์เซ็นต์ในเปลือกไข่ชันในของต่าด nú^ก
(n = 54)



ตารางที่ 9 แสดงชาตุองค์ประกอบเป็นปรอทเซ็นต์ในเปลือกไข่ต่ากระ

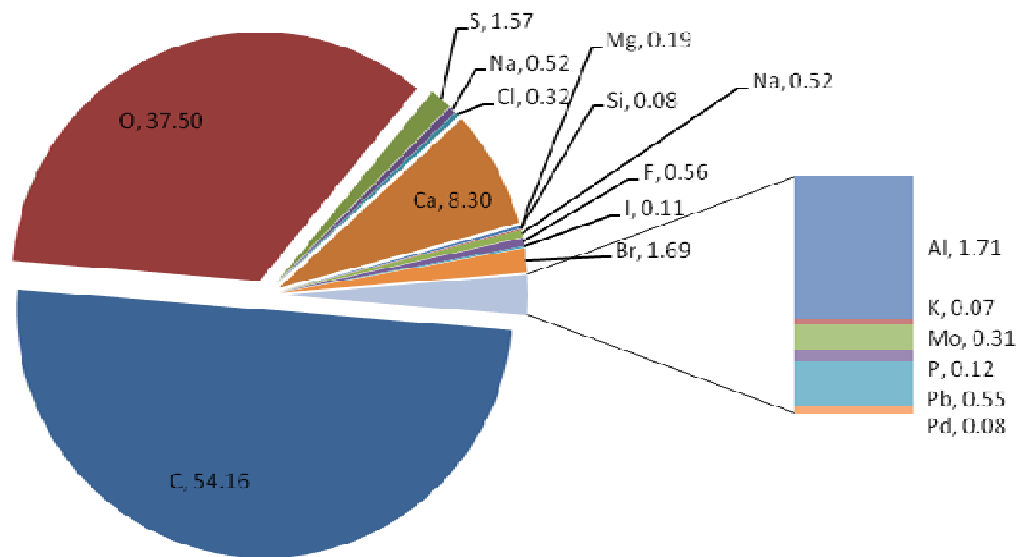
ชาตุ	ปรอทเซ็นต์ชาตุในเปลือกไข่ (mean±S.D.)			
	ชั้นนอก	ชั้นกลาง	ชั้นใน	รวม
C	54.16±19.03	63.38±7.38	58.67±9.59	57.76±14.00
O	37.50±15.45	31.93±5.79	36.18±9.58	35.95±11.84
Ca	8.30±19.68	0.32±0.58	0.51±1.14	3.72±13.07
Al	1.71±3.28b	0.03±0.01a	0.06±0.05a	0.88±2.43
Br	1.69±2.77	0.03**	-	1.42±2.56
S	1.57±1.26	2.13±0.88	2.31±2.05	1.98±1.60
F	0.56±0.34	-	0.08±0.08	0.32±0.34
Pb	0.55±0.62	-	-	0.55±0.62
Na	0.52±0.86	1.23±1.48	1.23±1.33	0.96±1.23
Cl	0.32±0.61	0.77±0.79	1.14±1.51	0.72±1.11
Mo	0.31±0.26	0.30±0.26	0.56±0.45	0.39±0.34
Mg	0.19±0.16	0.27±0.29	0.04±0.48	0.30±0.35
P	0.12±0.08b	0.04±0.01a	0.09±0.17a	0.09±0.13
I	0.11±0.02	0.13±0.04	0.09±0.03	0.11±0.03
Si	0.08±0.05	0.06±0.03	0.19±0.42	0.12±0.27
Pd	0.08**	-	-	0.08**
K	0.07±0.09	0.06±0.04	0.07±0.03	0.07±0.06

*a, b แบ่งกลุ่มความแตกต่างของปรอทเซ็นต์ชาตุในแต่ละชั้นจากน้อยไปมาก โดยใช้ Kruskal-

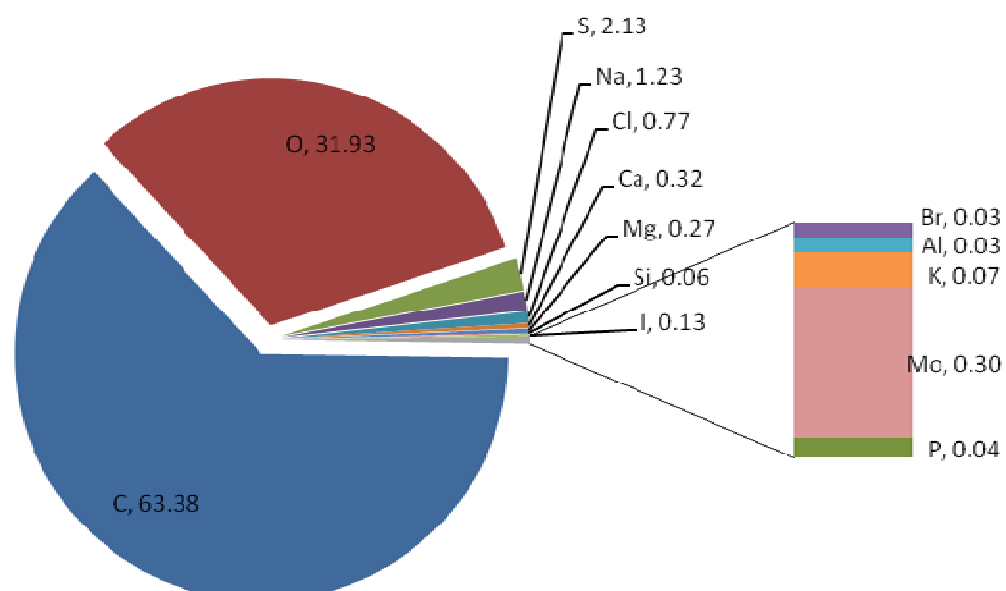
Wallis's test ($P<0.05$)

**ตัวอย่างที่พบมีจำนวนน้อยเกินไปไม่สามารถนำไปวิเคราะห์ทางสถิติได้

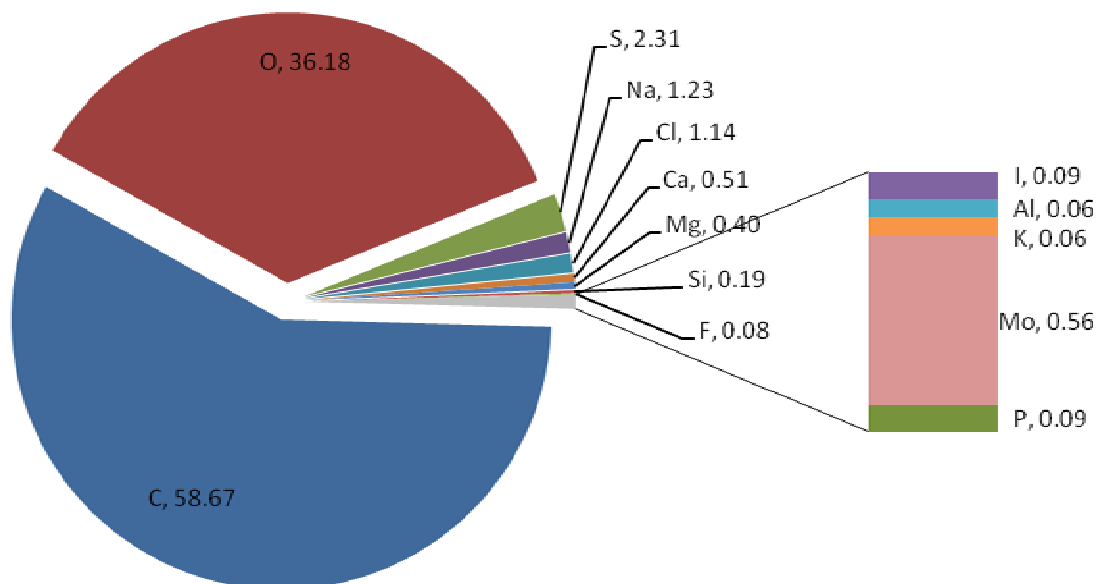
กราฟที่ 5 แสดงสัดส่วนธาตุองค์ประกอบในแต่ละชนิดเป็นเปอร์เซ็นต์ในเปลือกไข่ชั้นนอกของเต่ากระ ($n = 27$)



กราฟที่ 6 แสดงสัดส่วนธาตุองค์ประกอบในแต่ละชนิดเป็นเปอร์เซ็นต์ในเปลือกไข่ชั้นกลางของเต่ากระ ($n = 27$)



กราฟที่ 7 แสดงสัดส่วนธาตุองค์ประกอบแต่ละชนิดเป็นเปอร์เซ็นต์ในเปลือกไข่ชันในของต่ากระ (n = 27)



ตารางที่ 10 แสดงชาตุองค์ประกอบเป็นปรอทเซ็นต์ในเปลือกไข่ต่ามะเฟือง

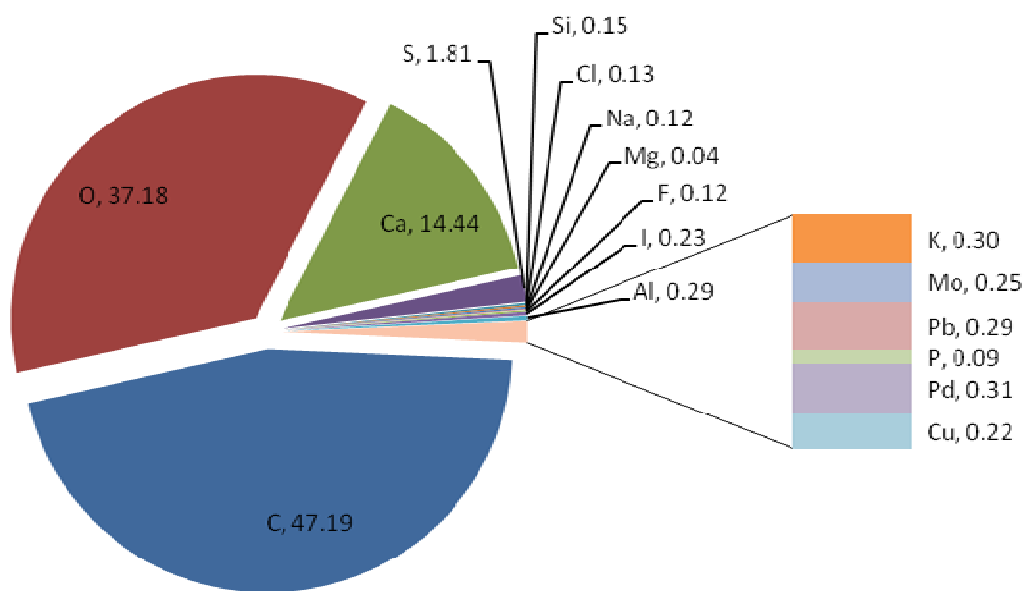
ชาตุ	ปรอทเซ็นต์ในเปลือกไข่ (mean±S.D.)			
	ชั้นนอก	ชั้นกลาง	ชั้นใน	รวม
C	47.19±22.54	47.29±14.15	50.32±15.33	48.46±18.05
O	37.18±8.96	41.52±9.25	43.80±13.74	40.70±11.34
Ca	14.44±15.13b	8.35±6.75ab	3.09±5.24a	8.42±11.29
S	1.81±1.26	2.15±1.70	1.95±1.48	1.93±1.42
Br	0.39±0.30	-	-	0.39±0.30
Pd	0.31**	-	-	0.31**
K	0.30±0.28	0.07±0.05	0.07±0.06	0.12±0.16
Al	0.29±0.85	0.02±0.01	0.07±0.06	0.16±0.57
Pb	0.29±0.10	-	-	0.29±0.10
Mo	0.25±0.23a	0.45±0.14b	0.57±0.29b	0.41±0.28
I	0.23±0.12	0.21±0.10	0.13±0.08	0.19±0.10
Cu	0.22±0.22	-	-	0.22±0.22
Si	0.15±1.78	0.11±0.79	0.23±0.15	0.18±0.15
Cl	0.13±0.29	0.05±0.03	0.06±0.05	0.09±0.20
Na	0.12±0.09	0.1±0.05	0.13±0.10	0.12±0.08
F	0.12±0.07	0.23±0.13	0.34±0.25	0.25±0.19
P	0.09±0.10	0.03**	0.06±0.05	0.07±0.07
Mg	0.04±0.03	0.04±0.02	0.08±0.05	0.06±0.04

*a, b แบ่งกลุ่มความแตกต่างของชาตุองค์ประกอบเป็นปรอทเซ็นต์ในแต่ละชั้นจากน้อยไปมากโดย

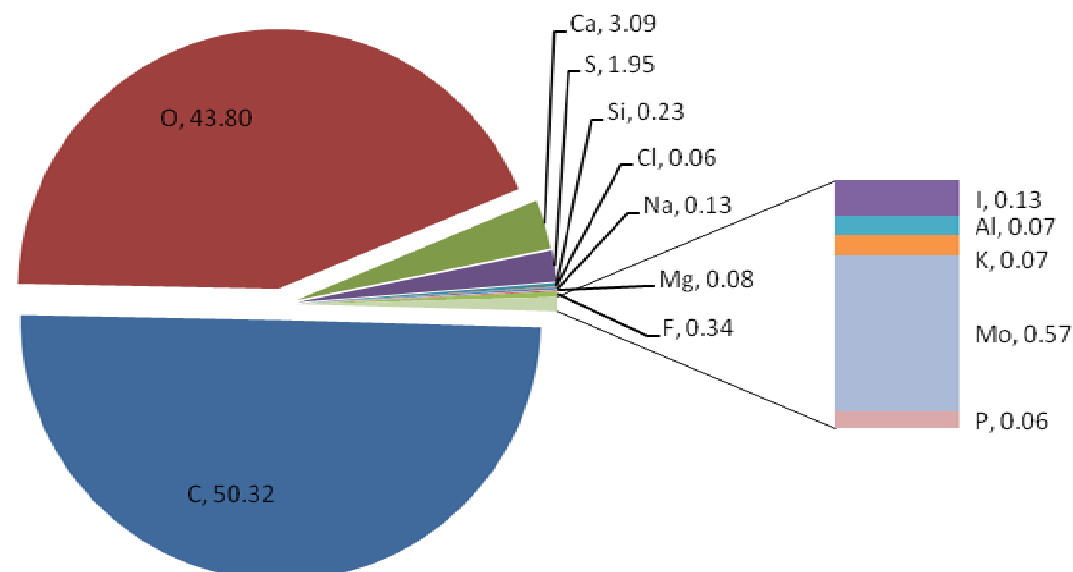
ใช้ Kruskal-Wallis's test ($P<0.05$)

**ตัวอย่างที่พบมีจำนวนน้อยเกินไปไม่สามารถนำไปวิเคราะห์ทางสถิติได้

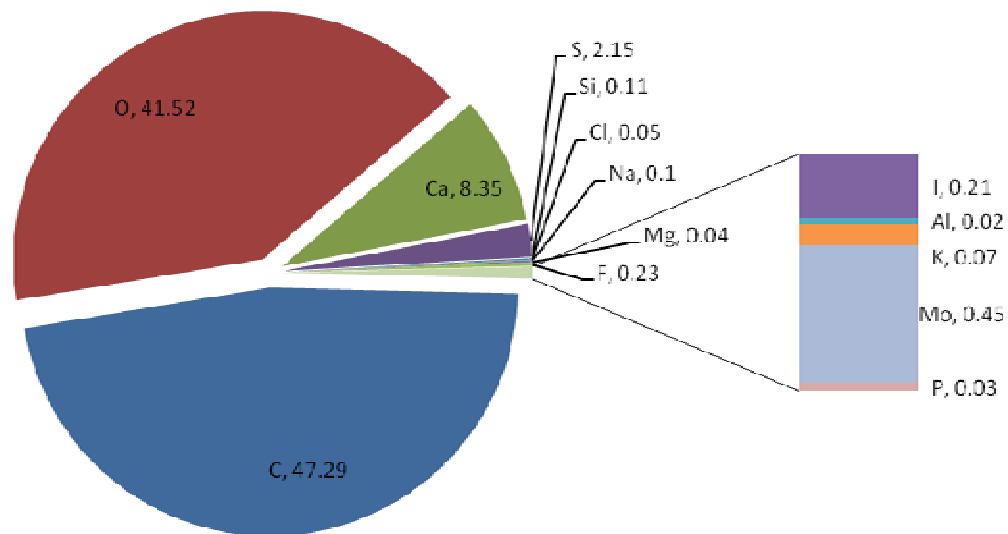
กราฟที่ 8 แสดงสัดส่วนธาตุองค์ประกอบแต่ละชนิดเป็นเปอร์เซ็นต์ในเปลือกไข่ชั้นนอกของเต่ามะเฟือง ($n = 30$)



กราฟที่ 9 แสดงสัดส่วนธาตุองค์ประกอบแต่ละชนิดเป็นเปอร์เซ็นต์ในเปลือกไข่ชั้นกลางของเต่ามะเฟือง ($n = 30$)



กราฟที่ 10 แสดงสัดส่วนธาตุองค์ประกอบแต่ละชนิดเป็นเปอร์เซ็นต์ในเปลือกไข่ชันในของเต่ามะเฟือง ($n = 30$)



3. ศึกษาองค์ประกอบชาตุในแต่ละชั้นของเปลือกไข่เต่ากระ เต่าตุนและเต่ามะเฟืองโดยใช้หัวตรวจวัด BEI และการทำแผนที่ชาตุองค์ประกอบ (Mapping)

3.1 เต่าตุน

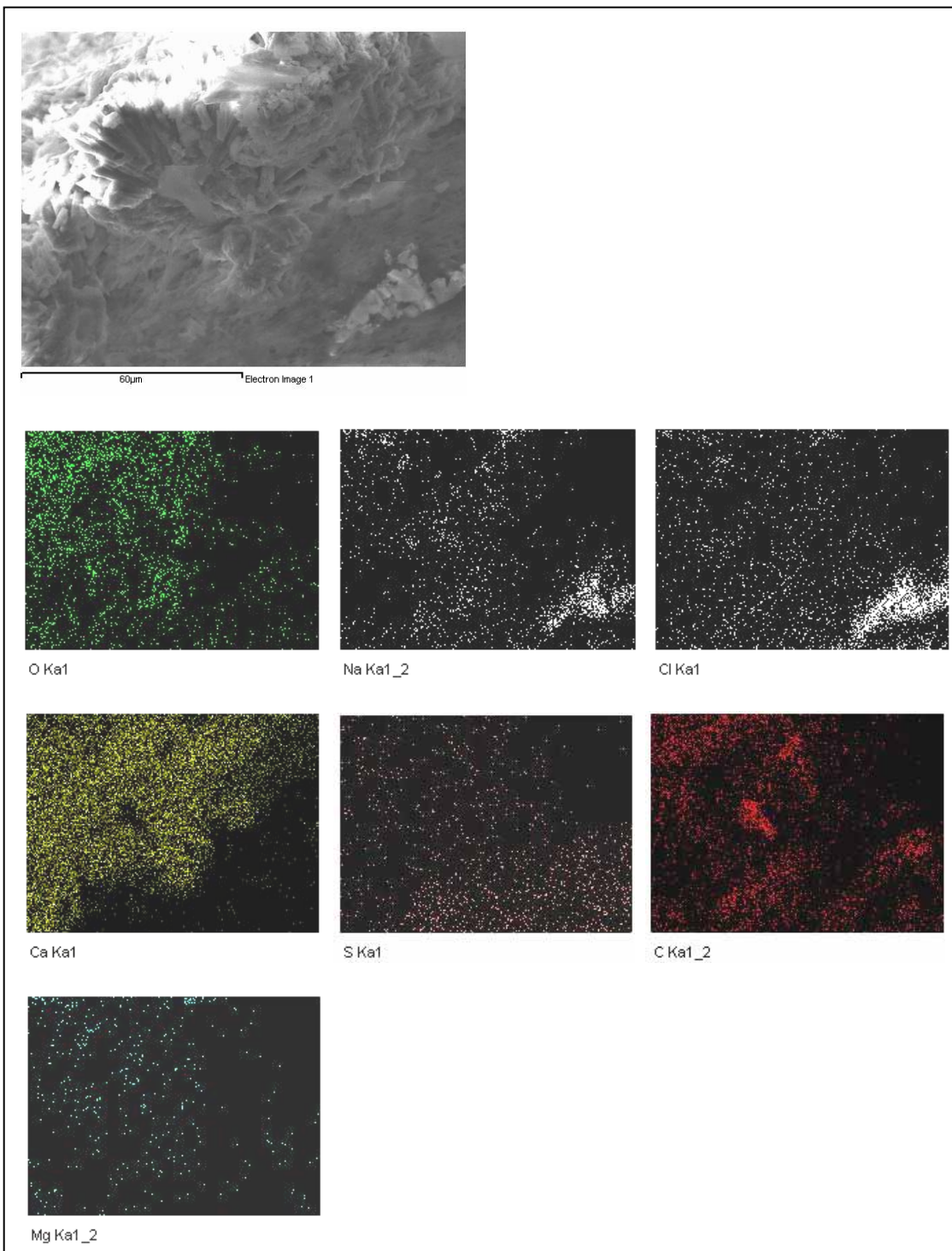
กลุ่มของผลึกในชั้นนอกมีจุดกำเนิด ซึ่งเป็นฐานอยู่บนชั้นกลาง (ภาพที่ 54) ซึ่งผลจากการทำแผนที่ชาตุองค์ประกอบพบว่าจุดกำเนิดของกลุ่มผลึกคือชาตุкар์บอนและพบว่าเปลือกไข่เต่าตุนประกอบด้วยชาตุออกซิเจน คาร์บอนและแคลเซียมเป็นหลักอยู่ในรูปของสารประกอบแคลเซียมคาร์บอนเนตและพบว่าการกระจายตัวของแคลเซียมอยู่ในเปลือกไข่ชั้นนอกเป็นส่วนใหญ่ ส่วนคาร์บอน ออกซิเจน โซเดียม คลอรีน อะลูมิเนียม กำมะถัน แมกนีเซียมและฟอสฟอรัส มีการกระจายตัวของชาตุทั่วไปในเปลือกไข่ทั้ง 3 ชั้น แต่พบว่าโซเดียมและคลอรีนมีการสะสมอยู่ในเปลือกไข่ชั้นกลางในรูปของเกลือโซเดียมคลอไรด์ (NaCl) มากกว่าเปลือกไข่ชั้นอื่นๆ (ภาพที่ 55-57) ส่วนผลการตรวจวัดด้วย BEI พบว่าโครงสร้างของเปลือกไข่ของเต่าตุนอยู่ในรูปสารประกอบเดียวกันเนื่องจากภาพถ่ายจากการใช้หัวตรวจวัด BEI มีลักษณะเป็นพื้นผิวที่มีความเปรียบต่าง (contrast) และความสว่าง (bliness) ของทุกบริเวณเหมือนกัน ซึ่งสอดคล้องกับผลการวิเคราะห์ชาตุด้วย EDX และการทำแผนที่ชาตุองค์ประกอบที่แสดงให้เห็นว่าเปลือกไข่เต่าตุนประกอบด้วยชาตุออกซิเจน คาร์บอนและแคลเซียมเป็นหลักอยู่ในรูปของสารประกอบแคลเซียมคาร์บอนเนต (ภาพที่ 58)

3.2 เต่ากระ

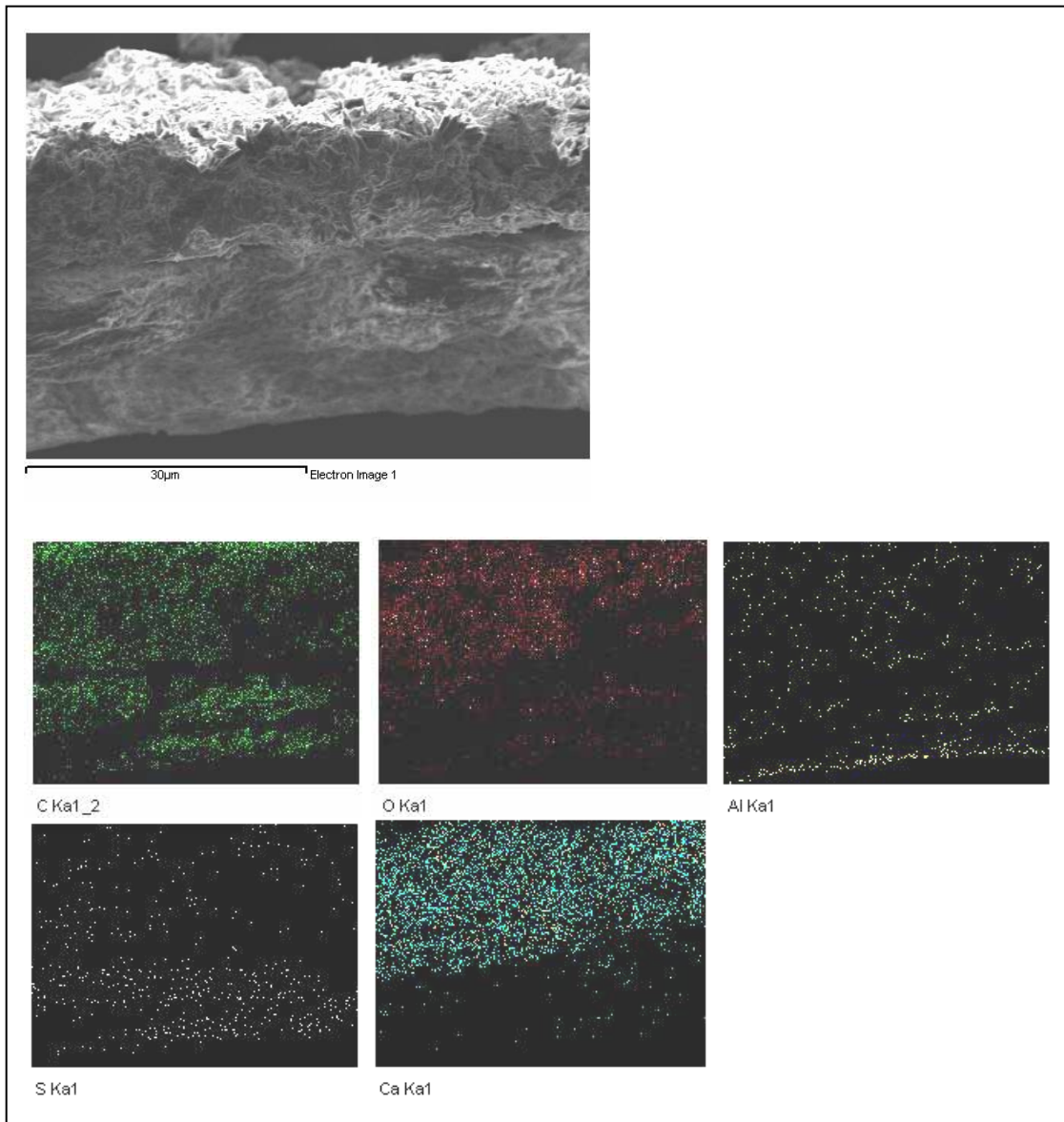
ผลจากการทำแผนที่ชาตุองค์ประกอบพบว่าเปลือกไข่เต่ากระประกอบด้วยชาตุออกซิเจน คาร์บอนและแคลเซียมเป็นหลักอยู่ในรูปของสารประกอบ แคลเซียมคาร์บอนเนตและพบว่าการกระจายตัวของแคลเซียมอยู่ในเปลือกไข่ชั้นนอกเป็นส่วนใหญ่ ส่วนคาร์บอน ออกซิเจน โซเดียม อะลูมิเนียม กำมะถัน แมกนีเซียมและฟอสฟอรัส มีการกระจายตัวของชาตุทั่วไปในเปลือกไข่ทั้ง 3 ชั้น (ภาพที่ 59-61) และผลการตรวจวัดด้วย BEI พบว่าโครงสร้างของเปลือกไข่ของเต่ากระอยู่ในรูปสารประกอบเดียวกันเนื่องจากภาพถ่ายจากการใช้หัวตรวจวัด BEI มีลักษณะเป็นพื้นผิวที่มีความเปรียบต่างและความสว่างของทุกบริเวณเหมือนกันซึ่งสอดคล้องกับผลการวิเคราะห์ชาตุด้วย EDX และการทำแผนที่ชาตุองค์ประกอบที่แสดงให้เห็นว่าเปลือกไข่เต่ากระประกอบด้วยชาตุออกซิเจน คาร์บอนและแคลเซียมเป็นหลักอยู่ในรูปของสารประกอบแคลเซียมคาร์บอนเนต (ภาพที่ 62)

3.3 เต่ามะเฟือง

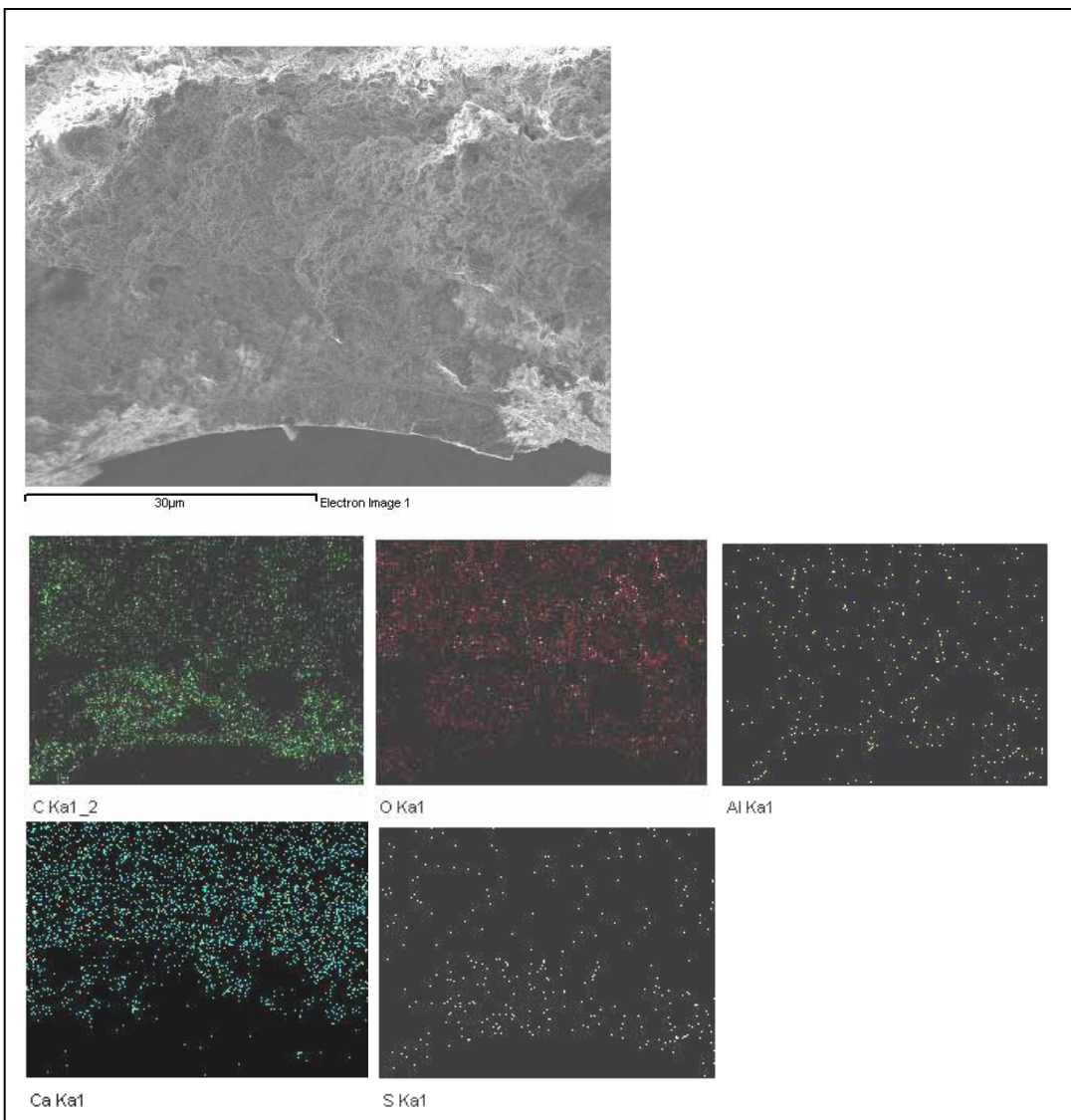
ผลจากการทำแผนที่ชาตุองค์ประกอบพบว่าเปลือกไข่เต่ามะเฟืองประกอบด้วยชาตุออกซิเจน คาร์บอนและแคลเซียมเป็นหลักอยู่ในรูปของสารประกอบ แคลเซียมคาร์บอเนตและพบว่าการกระจายตัวของแคลเซียมอยู่ในเปลือกไข่ชั้นนอกเป็นส่วนใหญ่ ส่วนคาร์บอน ออกซิเจน โซเดียม คลอรีน อะลูมิเนียม กำมะถัน แมกนีเซียมและฟอสฟอรัส มีการกระจายตัวของชาตุทั่วไปในเปลือกไข่ทั้ง 3 ชั้น (ภาพที่ 63-67) และผลการตรวจวัดด้วย BEI พบว่าโครงสร้างของเปลือกไข่ของเต่ามะเฟืองอยู่ในรูปสารประกอบเดียวกันนี้ องจากภาพถ่ายจากการใช้หัวตรวจวัด BEI มีลักษณะเป็นพื้นผิวที่มีความเปรียบต่างและความส่วนของทุกบริเวณเหมือนกัน ซึ่งสอดคล้องกับผลการวิเคราะห์ชาตุด้วย EDX และการทำแผนที่ชาตุองค์ประกอบที่แสดงให้เห็นว่าเปลือกไข่เต่ามะเฟืองประกอบด้วยชาตุออกซิเจน คาร์บอนและแคลเซียมเป็นหลักอยู่ในรูปของสารประกอบแคลเซียมคาร์บอเนต (ภาพที่ 68)



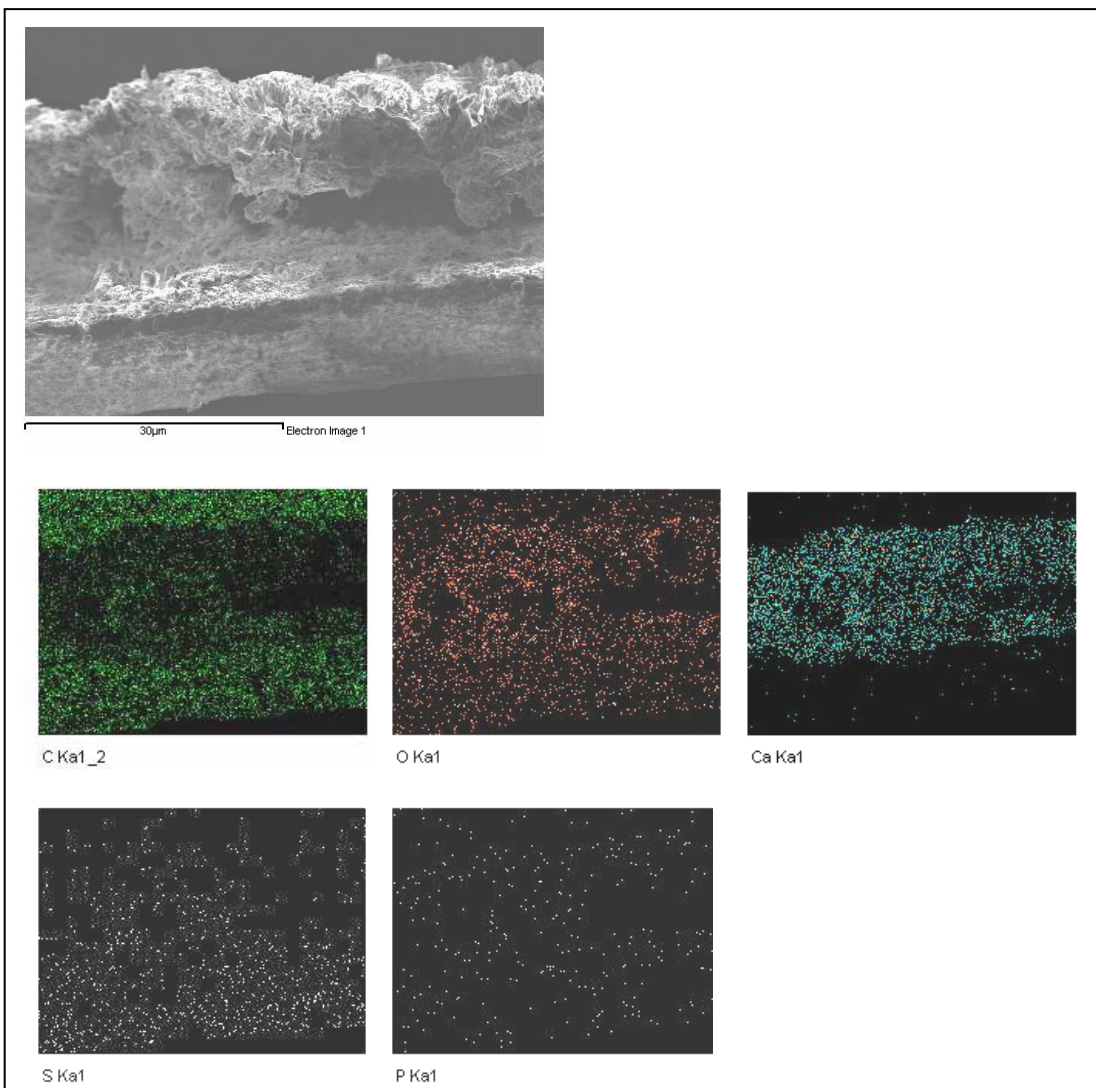
ภาพที่ 54 แสดงผลของการทำแผนที่ชาตุองค์ประกอบของเปลือกไข่เต่าต้นพบว่าcarboxonออกซิเจน กำมะถันและแมกนีเซียม กระจายอยู่ทั่วไปในเปลือกไข่ทุกชั้น แคลเซียมส่วนใหญ่สะสมอยู่ในเปลือกไข่ชั้นนอก ส่วนโซเดียมและคลอรินพบมากในเปลือกไข่ชั้นกลางในรูปของโซเดียมคลอไรด์



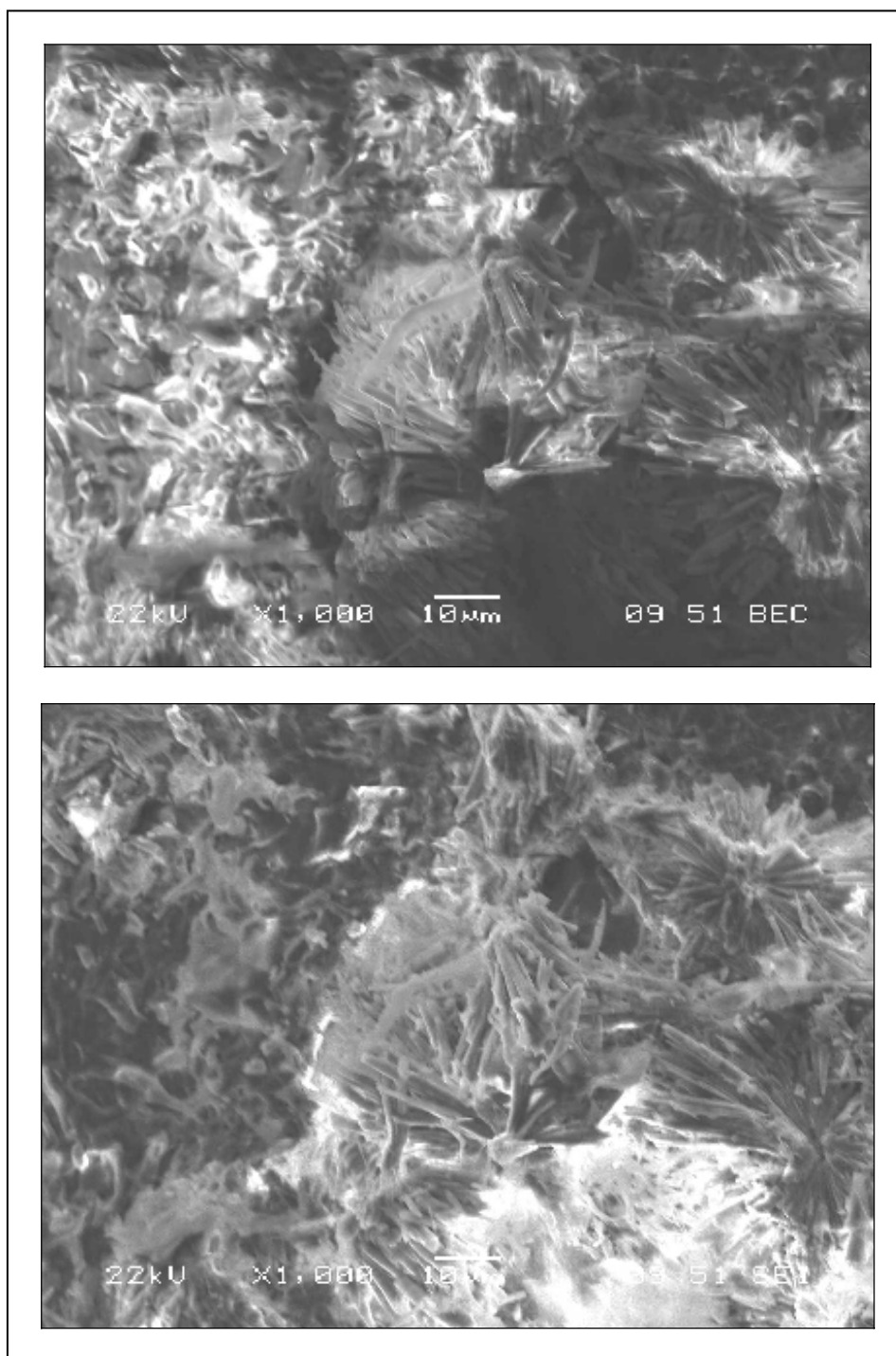
ภาพที่ 55 แสดงผลของการทำแผนที่ธาตุองค์ประกอบของเปลือกไข่เต่าตนุ พบว่าแคลเซียมส่วนใหญ่สะสมอยู่ในเปลือกไข่ชั้นนอก ส่วนธาตุคาร์บอน ออกซิเจน อะลูมิเนียมและกำมะถัน กระจายตัวทั่วไปในทุกชั้นของเปลือกไข่



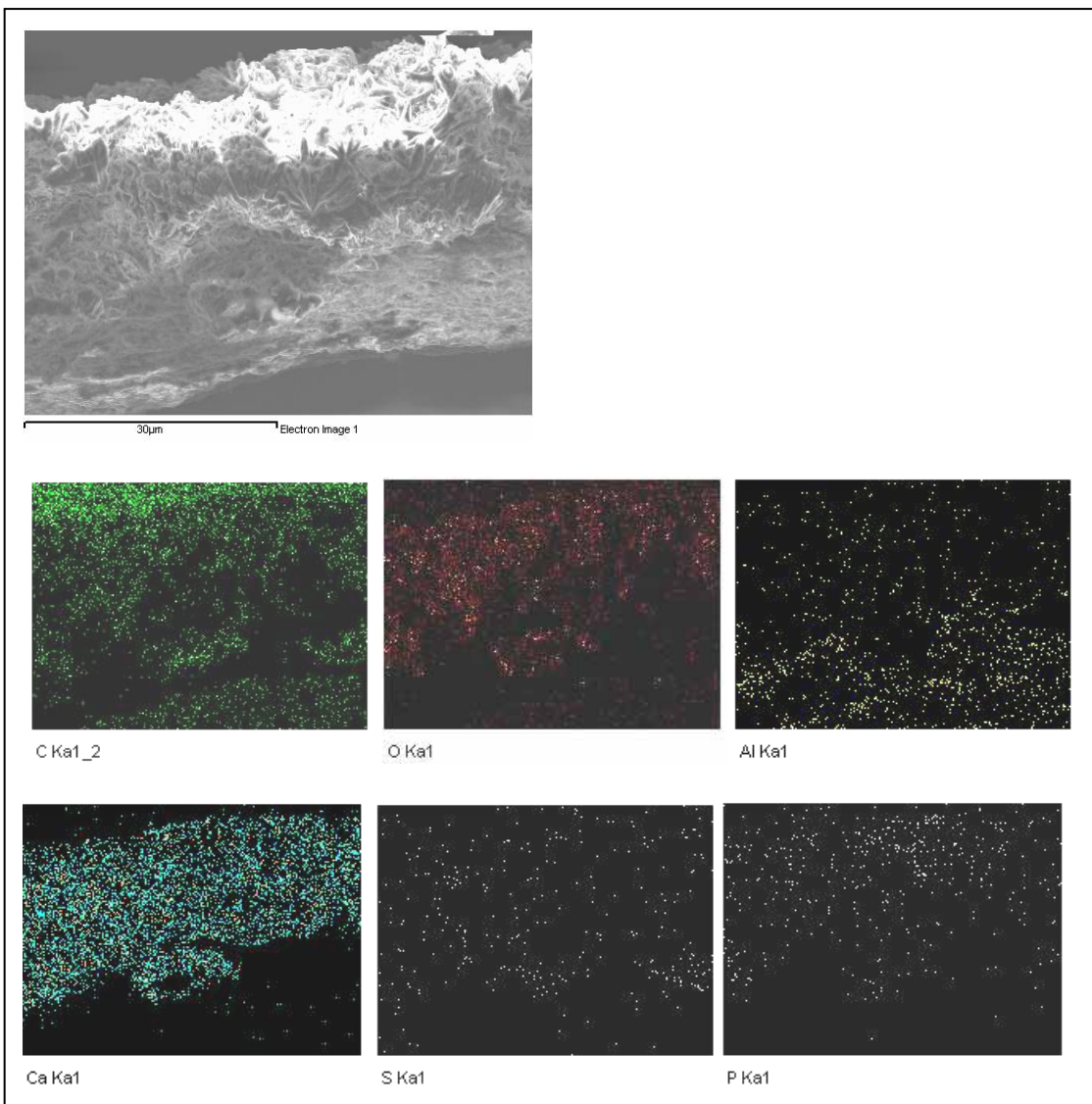
ภาพที่ 56 แสดงผลของการทำแผนที่ธาตุองค์ประกอบของเปลือกไข่เต่าตุ๊ พนว่าแคลเซียม ส่วนใหญ่สะสมอยู่ในเปลือกไข่ชั้นนอก ส่วนธาตุคาร์บอน ออกซิเจน อะลูมิเนียมและกำมะถัน กระจายตัวทั่วไปในทุกชั้นของเปลือกไข่



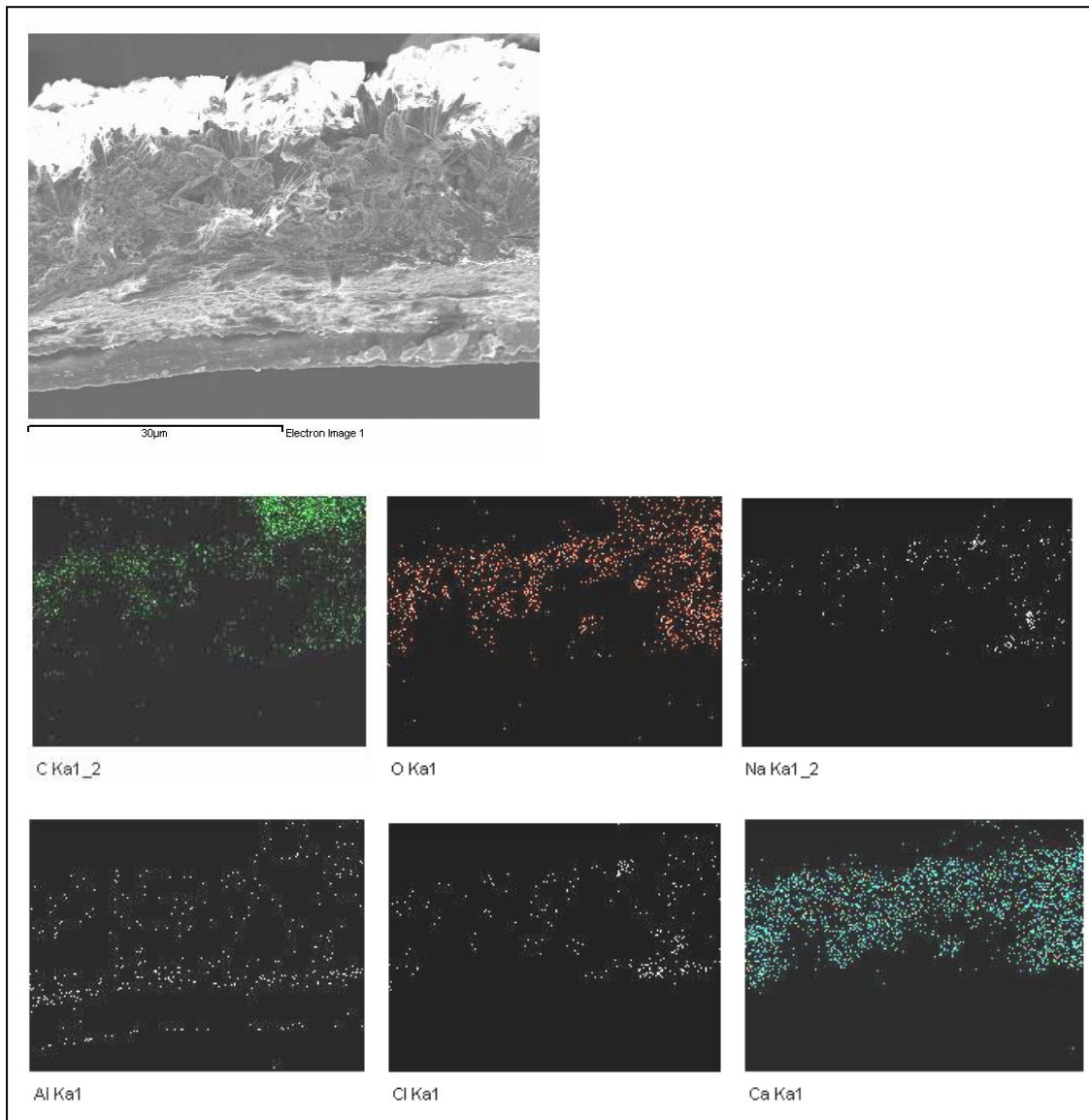
ภาพที่ 57 แสดงผลของการทำแผนที่ธาตุองค์ประกอบของเปลือกไข่เต่าต้น พบร่องรอยเชิงส่วนใหญ่สะสมอยู่ในเปลือกไข่ชั้นนอก ส่วนธาตุคาร์บอน ออกซิเจน ฟอสฟอรัสและกำมะถัน กระจายตัวทั่วไปในทุกชั้นของเปลือกไข่



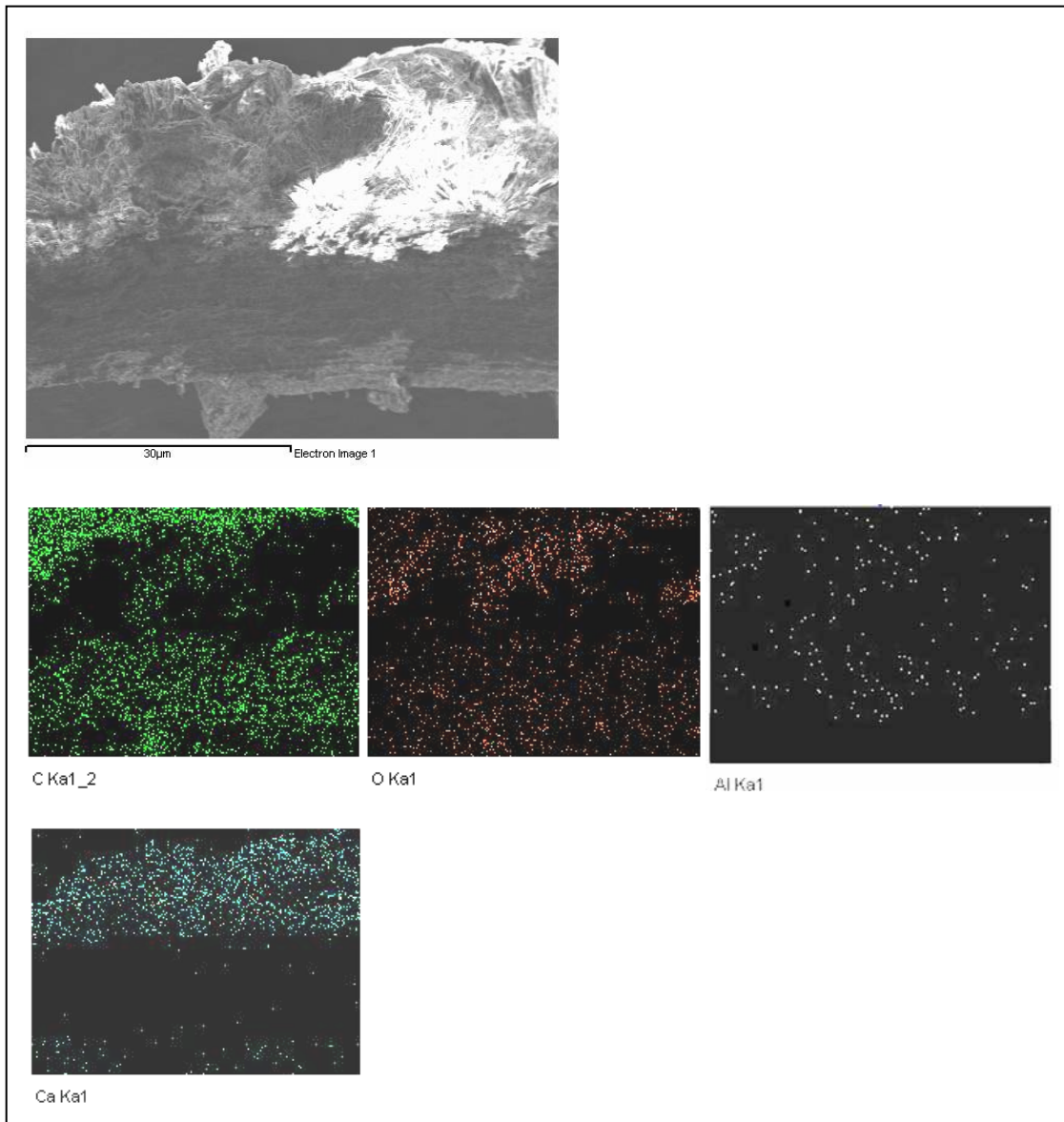
ภาพที่ 58 แสดงลักษณะผลึกในชั้นนอกของเตาตุนที่ถ่ายโดยใช้หัวตรวจวัด BEI (บน) และ SEI (ล่าง) สอดคล้องกับผลของการทำแผนที่รากของค์ประกอบ พนว่าเปลือกไข่ชั้นนอกประกอบด้วยแคลเซียม คาร์บอนและออกซิเจนอยู่ในรูปของแคลเซียมคาร์บอเนต



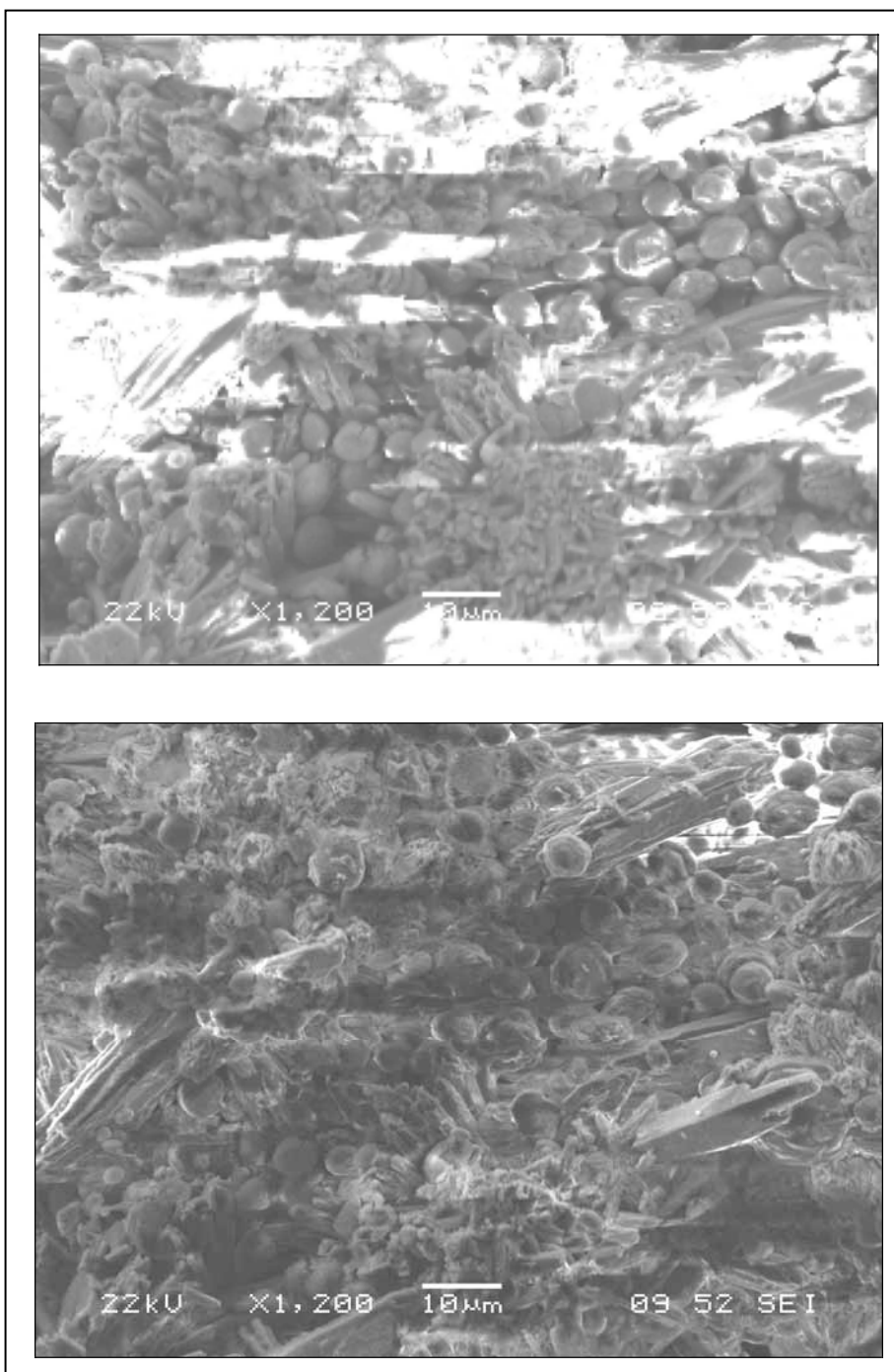
ภาพที่ 59 แสดงผลของการทำแผนที่ธาตุองค์ประกอบของเปลือกไข่เต่ากระ พนว่าแคลเซียม ส่วนใหญ่จะสมออยู่ในเปลือกไข่ชั้นนอก ส่วนธาตุคาร์บอน ออกซิเจน อะลูมิเนียม ฟอสฟอรัสและกำมะถัน กระจายตัวทั่วไปในทุกชั้นของเปลือกไข่



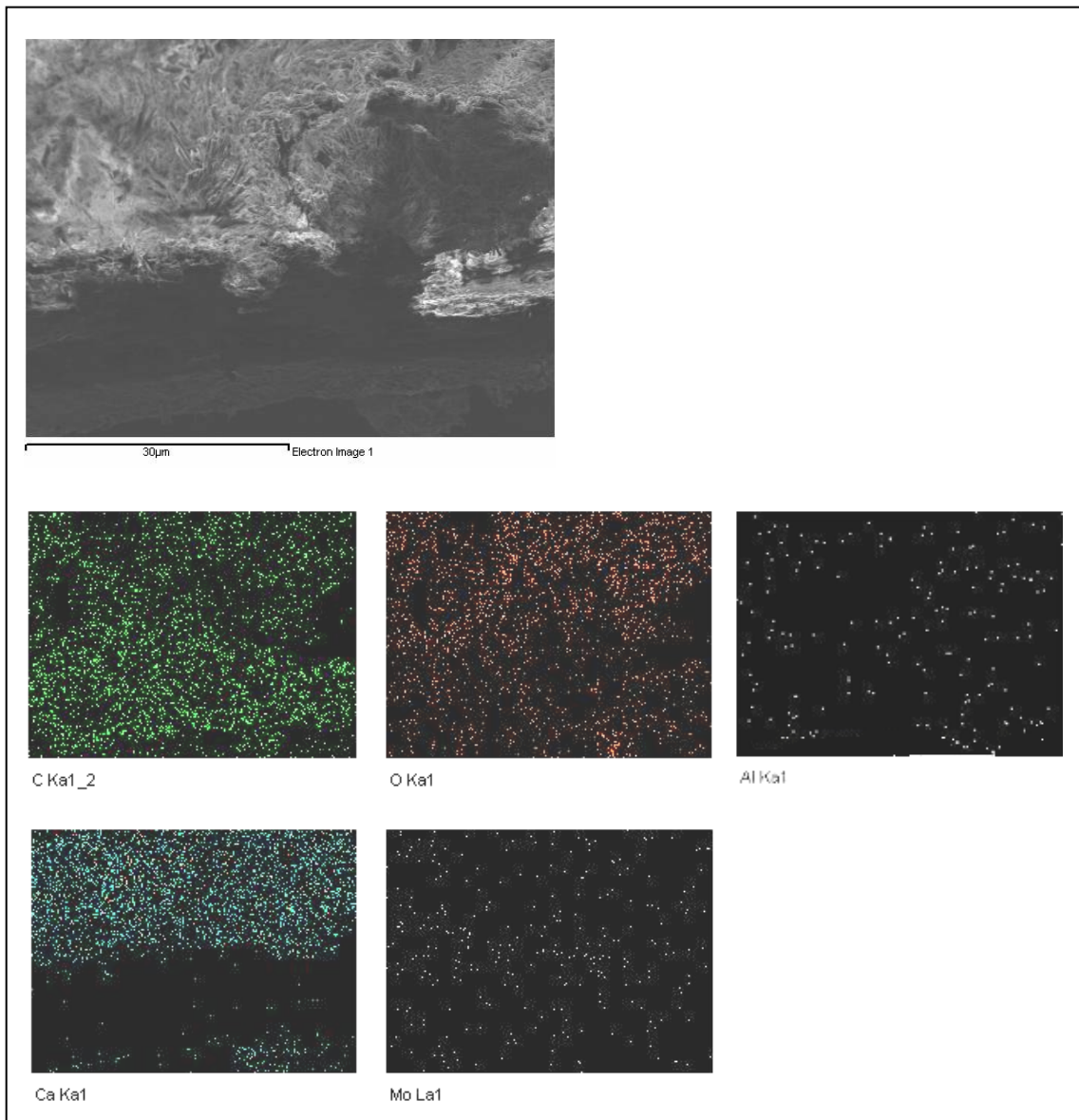
ภาพที่ 60 แสดงผลของการทำแผนที่ธาตุองค์ประกอบของเปลือกไข่เต่ากระ พนว่าแคลเซียมส่วนใหญ่สะสมอยู่ในเปลือกไข่ชั้นนอก โซเดียมและคลอเรินกระจายทั่วไปในเปลือกไข่โดยเฉพาะชั้นกลางในรูปของสารประกอบโซเดียมคลอไรด์ส่วนธาตุคาร์บอน ออกซิเจนอะลูมิเนียมและกำมะถัน กระจายตัวทั่วไปในทุกชั้นของเปลือกไข่



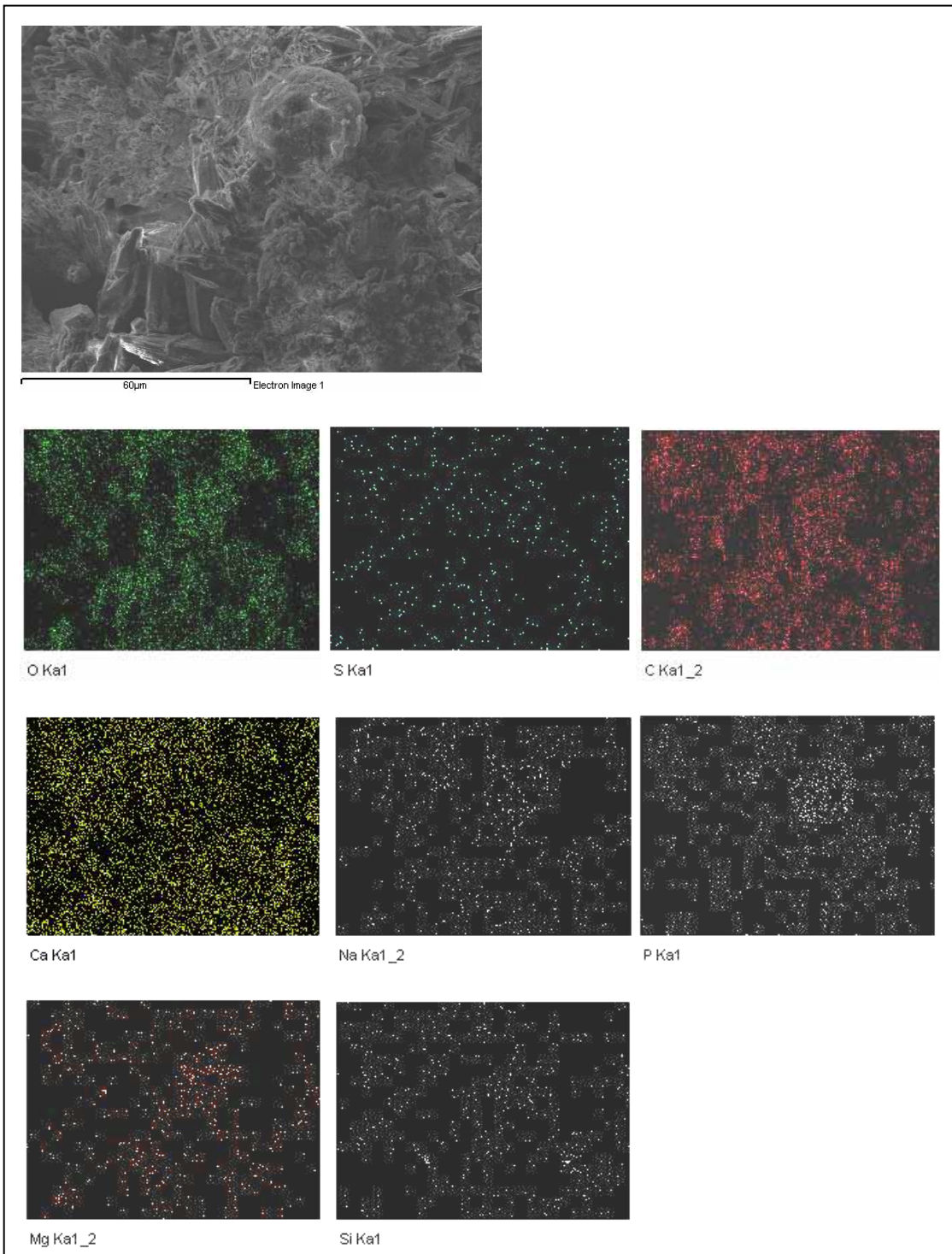
ภาพที่ 61 แสดงผลของการทำแผนที่ธาตุองค์ประกอบของเปลือกไข่เต่ากระ พบร่องรอยการบด
ออกซิเจนและอะลูมิเนียมกระจายอยู่ทั่วไปในเปลือกไข่ทุกชั้น แคลเซียมส่วนใหญ่สะสม
อยู่ในเปลือกไข่ชั้นนอก



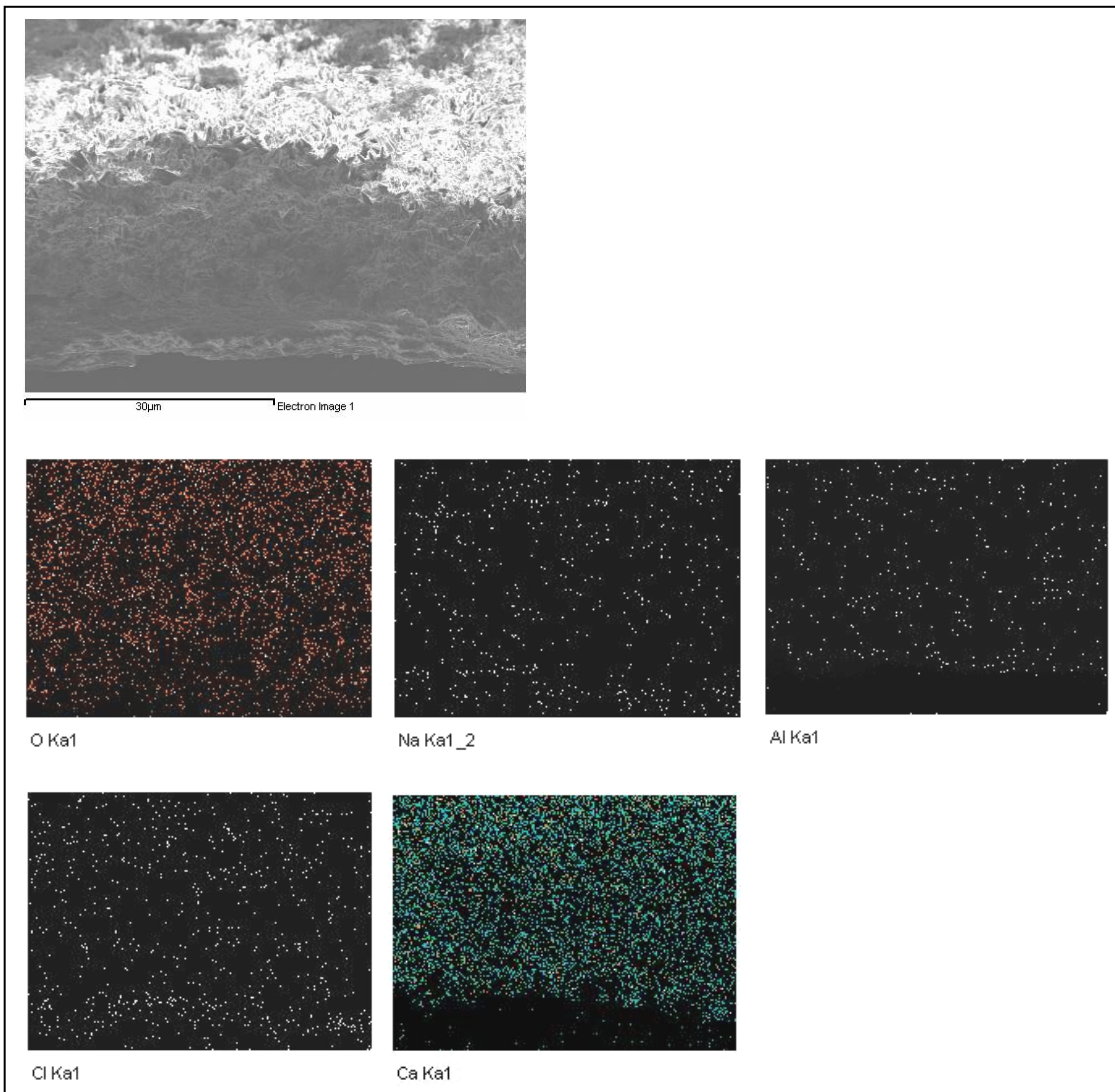
ภาพที่ 62 แสดงลักษณะผลึกในเปลือกไข่ชั้นนอกของเต่ากระที่ถ่ายโดยใช้หัวตรวจวัด BEI (บน) และ SEI (ล่าง) ไม่มีความแตกต่างกันแสดงให้เห็นว่าผลึกรูปหนามแหลมและรูปกลมเป็นสารประกอบชนิดเดียวกัน สอดคล้องกับผลของการทำแผนที่ชาตุองค์ประกอบในเปลือกไข่ชั้นนอกประกอบด้วยแคลเซียม คาร์บอนและออกซิเจนอยู่ในรูปของสารประกอบแคลเซียมคาร์บอเนต



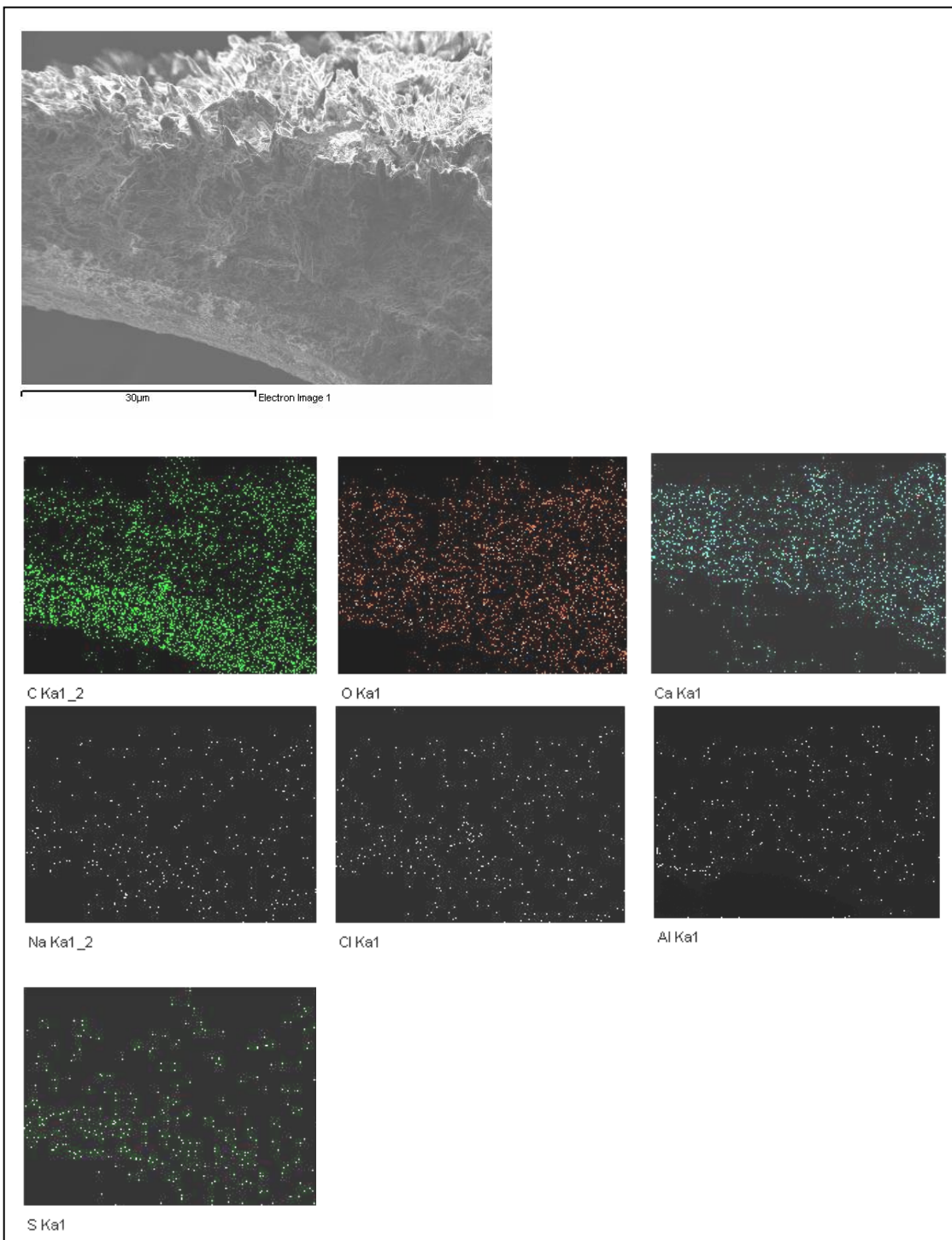
ภาพที่ 63 แสดงผลของการทำแพนที่ชาตุวงศ์ประกอบของเปลือกไข่เต่ามะเฟือง พนว่าcarbอนออกซิเจน อะลูมิเนียมและโมลิบดินัม กระจายอยู่ทั่วไปในเปลือกไข่ทุกชั้น แคลเซียมส่วนใหญ่สะสมอยู่ในเปลือกไข่ชั้นนอก



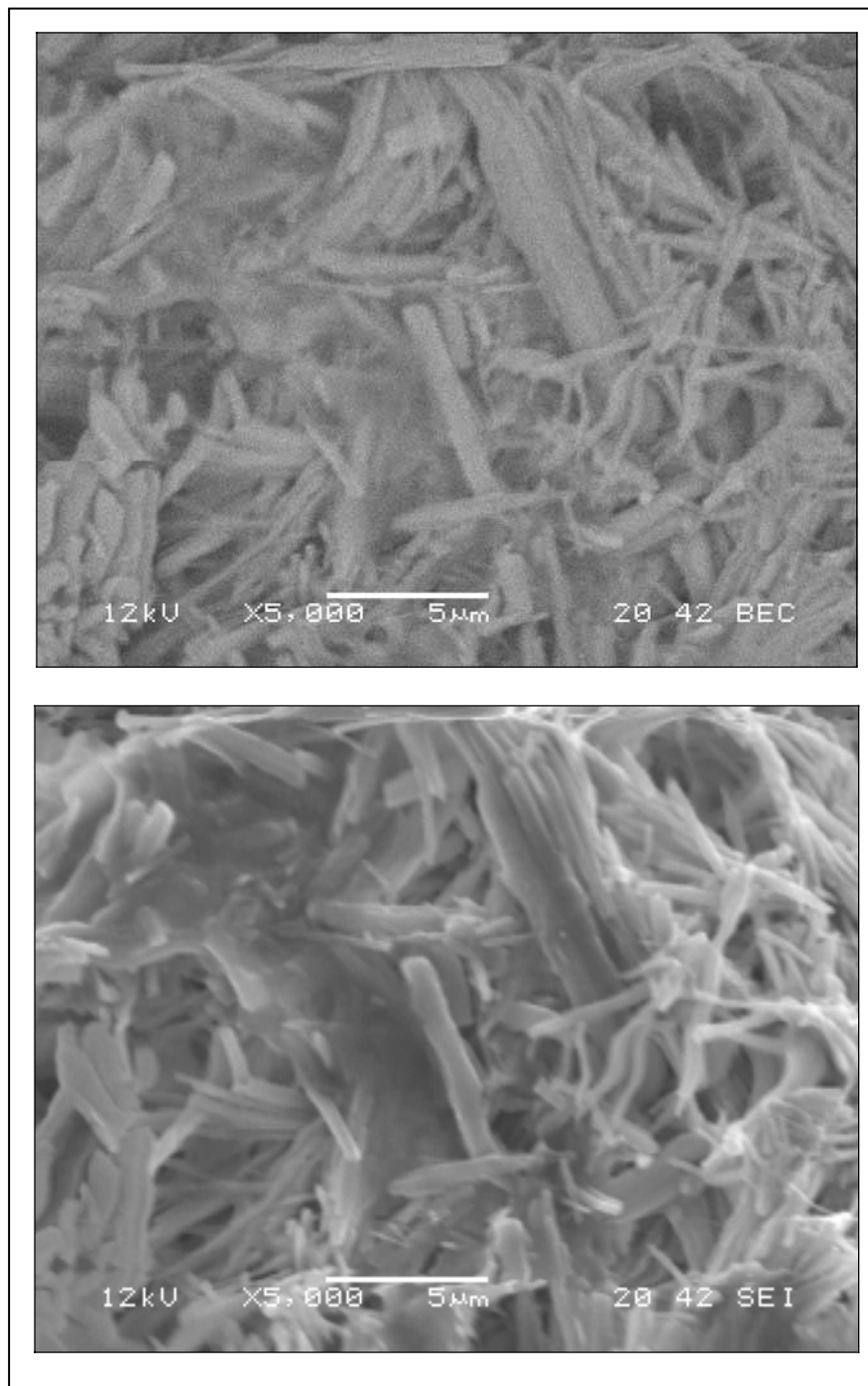
ภาพที่ 64 แสดงผลของการทำแผนที่ธาตุองค์ประกอบของเปลือกไข่เต่ามะเฟือง พบร่องรอยและออกซิเจนกระจายอยู่ทั่วไปในเปลือกไข่ทุกชั้น แคลเซียมส่วนใหญ่สะสมอยู่ในเปลือกไข่ชั้นนอก โซเดียมและคลอเรนพูบมากในเปลือกไข่ชั้นกลาง ในรูปของสารประกอบโซเดียมคลอไรด์



ภาพที่ 65 แสดงผลของการทำแพนที่ชาตุองค์ประกอบของเปลือกไข่เต่ามะเฟือง พนว่าcarbอนออกซิเจนและอะลูมิเนียมกระจายอยู่ทั่วไปในเปลือกไข่ทุกชั้น แคลเซียมส่วนใหญ่สะสมอยู่ในเปลือกไข่ชั้นนอก โซเดียมและคลอเรินพบมากในเปลือกไข่ชั้นกลางในรูปของสารประกอบโซเดียมคลอไรด์



ภาพที่ 66 แสดงผลของการทำแผนที่ธาตุองค์ประกอบของเปลือกไข่เต่ามะเฟือง พบร่องรอยและออกซิเจนกระจายอยู่ทั่วไปในเปลือกไข่ทุกชั้น แคลเซียมส่วนใหญ่สะสมอยู่ในเปลือกไข่ชั้นนอก โซเดียมและคลอเรนพบรูบมากในเปลือกไข่ชั้นกลางในรูปของสารประกอบโซเดียมคลอไรด์



ภาพที่ 67 แสดงลักษณะพลีกในชั้นนอกของเต่ามะ斐องที่ถ่ายโดยใช้หัวตรวจวัด BEI (บน) และ SEI (ล่าง) ไม่มีความแตกต่างกัน แสดงให้เห็นว่าเปลือกไข่ชั้นนอกของเต่ามะ斐องเป็นสารประกอบชนิดเดียวกันสองอย่างกับผลของการทำแผนที่ชาตุองค์ประกอบ เปลือกไข่ชั้นนอกประกอบด้วยแคลเซียม คาร์บอนและออกซิเจนอยู่ในรูปของสารประกอบแคลเซียมคาร์บอนेट

บทที่ 5

อภิปรายผลการทดลอง

1. ศึกษาสัณฐานวิทยาและโครงสร้างอย่างละเอียดของเปลือกไข่เต่าตัน เต่ากระและเต่ามะเฟือง

1.1 ชั้นของเปลือกไข่เต่าทะเล

จากการศึกษาสัณฐานวิทยาและโครงสร้างอย่างละเอียดของเปลือกไข่เต่าตัน เต่ากระและเต่ามะเฟือง โดยใช้กล้องจุลทรรศน์แบบส่องกราดด้วยหัวตรวจวัด SEI พบร่วมเปลือกไข่เต่าทะเลเมื่อ 3 ชั้น ประกอบด้วยชั้นนอก ชั้นกลางและชั้นใน ซึ่งสอดคล้องกับรายงานการวิจัยของ Al-Bahry (2009) ที่ทำการศึกษาเปลือกไข่เต่าตันด้วยกล้องจุลทรรศน์อิเล็กตรอนแบบส่องกราด พบร่วมเปลือกไข่เต่าตันประกอบด้วย 3 ชั้นคือ ชั้นนอก ชั้นกลางและชั้นใน เปลือกไข่ชั้นนอกมีลักษณะเป็นกลุ่มของผลึกรูปหนามแหลมรวมตัวกันแผ่นออกในแนวรัศมี เมื่อดูจากด้านข้างของเปลือกไข่พบว่าหน้าตัดมีลักษณะคล้ายรูปพัด ซึ่งลักษณะกลุ่มผลึกจะแตกต่างกันในแต่ละชนิด คือเต่าตันและเต่ามะเฟืองมีลักษณะผลึกรูปร่างหนานแหลมเท่านั้นที่รวมตัวกันเป็นกลุ่มแผ่นรัศมี แต่เต่ากระมีผลึกรูปร่างกบรวมกันอยู่ระหว่างกลุ่มของผลึกรูปหนานแหลมซึ่งเรียงตัวชิดกันแน่น ส่วนผลึกในเปลือกไข่ชั้นนอกของเต่ามะเฟืองมีขนาดของผลึกเล็กและเรียวกว่าของเต่าตัน มีขนาดเส้นผ่านศูนย์กลางและความสูงของกลุ่มผลึกของเต่ามะเฟืองไม่เท่ากัน ในขณะที่เปลือกไข่ชั้นนอกของเต่าตันมีลักษณะการรวมกลุ่มของผลึกที่ค่อนข้างสม่ำเสมอ มีขนาดความสูงต่ำที่ใกล้เคียงกันเรียงตัวอย่างเป็นระเบียบ (ศันส.ร.ย., 2540) บริเวณฐานของกลุ่มผลึกยึดติดกับเปลือกไข่ชั้นกลางมีแท่งผลึกเรียงตัวกันและแผ่นออกเป็นวงกลม (ศันส.ร.ย., 2540) ซึ่งมีรู (pore) เชื่อมต่อ กับเปลือกไข่ชั้นกลางพบได้ทั้งที่มีรูเดียวและหลายรูในเต่าทั้ง 3 ชนิด โดยในเปลือกไข่ชั้นกลางมีลักษณะเป็นเส้นใยสา�กันแน่นและมีช่องว่างระหว่างเส้นใยทำให้เกิดเป็นช่องว่างแบบร่างแทคล้ายรูพรุนในฟองน้ำทำหน้าที่เป็นเส้นทางการแลกเปลี่ยนกําระหว่างตัวอ่อนกับลิ่งแวดล้อมภายใน ลักษณะเป็นโครงสร้างเส้นใยมีการสา�กันแน่นกว่าเปลือกไข่ชั้นกลาง (ศันส.ร.ย., 2540; Carpenter, 1999; Osborne และ Thompson, 2005; Al-Bahry, 2009) ในสภาวะที่เหมาะสมจะเกิดการตกผลึกของแคลเซียมคาร์บอนเนตเป็นผลึกรูปเข็มเรียงตัวแบบอะราโกไนท์ ซึ่งเกิดจากจุดกำเนิดบนเปลือกไข่ชั้นกลางโดย

การซักนำของแมกนีเซียมคาร์บอนেต ($MgCO_3$) และนำ โดymีการตกผลึกของผลึกกรูปเป็นหนามแหลมรอบจุดศูนย์กลางทำให้เกิดเป็นกลุ่มผลึกแผ่นอกในแนวรัศมี (Solomon และ Baird, 1976; Baird และ Solomon, 1979; Packard และ Packard, 1988) เนื่องจากเปลือกไข่ที่นำมาศึกษาเป็นเปลือกไข่ที่ได้จากธรรมชาติจึงพบว่ามีการตกผลึกในรูปแบบอะราโกไนท์เท่านั้น ซึ่งสอดคล้องกับรายงานการวิจัยของ Baird และ Solomon (1979) ทำการศึกษาลักษณะของเปลือกไข่เต่าต้นจากธรรมชาติและไข่เต่าจากบ่อเลี้ยงด้วยกล้องจุลทรรศน์อิเล็กตรอนแบบส่องกราด พบว่าเปลือกไข่เต่าต้นจากธรรมชาติมีการตกผลึกแบบอะราโกไนท์เท่านั้น ส่วนเปลือกไข่เต่าจากบ่อเลี้ยงมีการตกผลึกในรูปแบบแคลไซท์ร่วมด้วย ทั้งนี้เนื่องมาจากการปริมาณสารอาหารที่แม่เต่าได้รับ ในสภาพปกติปริมาณสารอาหารและแคลเซียมในสัดส่วนที่เหมาะสมเพียงพอสำหรับกระบวนการสร้างไข่ แต่ถ้าแม่เต่าทะเลได้รับสารอาหารและแคลเซียมในปริมาณที่มากหรือน้อยเกินไป อาจส่งผลต่อกระบวนการสร้างเปลือกไข่ทำให้เกิดการเปลี่ยนแปลงของโครงสร้างเปลือกไข่ได้ (Romanoff และ Romanoff, 1949; Packard และ Packard, 1988) นอกจากนี้การตกผลึกของแคลไซท์หรืออะราโกไนท์ อาจเกิดการเปลี่ยนแปลงได้เนื่องจากค่าความเป็นกรดด่างและการเปลี่ยนแปลงของไอออน เช่น ฟอสเฟต-ไอออน (PO_4^{3-}) แมกนีเซียมไอออน (Mg^{2+}) เป็นต้น เนื่องจากไอออนดังกล่าวข้างต้นเป็นตัวชักนำให้เกิดการตกผลึกแคลไซท์ในกระบวนการสร้างเปลือกไข่ (Solomon และ Baird, 1976)

1.2 ความหนาของชั้นเปลือกไข่เต่าทะเล

ผลจากการวัดความหนาของเปลือกไข่เต่าต้น เต่ากระและเต่ามะเฟือง พบว่าเปลือกไข่ของเต่ากระและเต่ามะเฟืองบางกว่าเต่าต้นอย่างมีนัยสำคัญ ($P<0.05$) ความหนาของเปลือกไข่เต่าต้น เต่ากระและเต่ามะเฟืองเท่ากับ 251.92 ± 20.86 ไมโครเมตร 236.94 ± 19.28 ไมโครเมตรและ 237.57 ± 18.23 ไมโครเมตร ตามลำดับ ความหนาของเปลือกไข่ชั้นนอกของเต่าต้น เต่ากระและเต่ามะเฟือง เท่ากับ 129.88 ± 14.22 ไมโครเมตร 117.51 ± 16.19 ไมโครเมตรและ 83.67 ± 17.15 ไมโครเมตร ตามลำดับ ความหนาของเปลือกไข่ชั้นกลางของเต่าต้น เต่ากระและเต่ามะเฟือง เท่ากับ 118.32 ± 20.06 ไมโครเมตร 108.06 ± 13.00 ไมโครเมตรและ 144.20 ± 2.20 ไมโครเมตร ตามลำดับ และความหนาของเปลือกไข่ชั้นในโดยประมาณ ของเต่าต้น เต่ากระและเต่ามะเฟือง เท่ากับ 3.72 ± 0.86 ไมโครเมตร 11.38 ± 3.07 ไมโครเมตรและ 9.70 ± 2.53 ไมโครเมตร ตามลำดับ สอดคล้องกับรายงานการวิจัยของ Al-Bahry (2009) ศึกษาเปลือกไข่ก่อนพักของเต่าต้นชั้นนอกมีความหนาประมาณ 200.00 ถึง 263.90 ไมโครเมตร มีลักษณะเป็นผลึกที่มีรูปร่างเป็นก้อนกลมและหนามแหลม โดยผลึกรวมตัวกันเป็นก้อน ซึ่งส่วนกลางของแต่ละกลุ่มก้อนนั้นมีรู อาจมีรูเดียวหรือหลายรู ซึ่งเกิดจากการสานกันของแท่งผลึกและเส้นใย ส่วนชั้นกลางหนาประมาณ 106.20

ถึง 131.10 ไมโครเมตร มีลักษณะเป็นโครงสร้างของเส้นใยที่สานกันแน่นทึ้งชั้นและชั้นใน หนาประมาณ 2.90 ถึง 3.90 ไมโครเมตร ประกอบด้วยเส้นใยที่สานกันเป็นร่างแทะและมีรูเปิดของโครงร่างเส้นไยระหว่างชั้นกลางและชั้นใน จากการวิเคราะห์ทางสถิติพบว่าเปลือกไข่ชั้นในของเต่าทั้ง 3 ชนิด บางกว่าเปลือกไข่ชั้นนอกและชั้นกลางอย่างมีนัยสำคัญ ($P<0.05$) เปลือกไข่เต่าตันและเต่ากระมีความหนาของเปลือกไข่ชั้นนอกมากกว่าชั้นกลางและชั้นในอย่างมีนัยสำคัญ ($P<0.05$) ส่วนเต่ามะเฟืองมีความหนาของเปลือกไข่ชั้นกลางมากกว่าชั้นนอกและชั้นในอย่างมีนัยสำคัญ ($P<0.05$) ความหนาของเปลือกไข่เต่าทั้ง 3 ชนิดในแต่ละชั้นมีความแตกต่างกันอย่างมีนัยสำคัญ ($P<0.05$) สามารถนำมาใช้เป็นเกณฑ์ในการจัดจำแนกทางอนุกรมวิธานได้แต่ต้องใช้ร่วมกับข้อมูลที่เกี่ยวข้องอื่นๆร่วมด้วย

2. ศึกษาองค์ประกอบธาตุในแต่ละชั้นของเปลือกไข่เต่าตัน เต่ากระ และเต่ามะเฟือง

จากการศึกษาพบว่าเปลือกไข่เต่าตันประกอบด้วยธาตุจากมากไปน้อยดังนี้ คาร์บอน (48.0-63.0%) ออกซิเจน (33.0-44.0%) แคลเซียม (0.36-5.72%) กำมะถัน (1.65-3.31%) โซเดียม (0.18-0.37%) คลอรีน (0.14-0.42%) ซิลิกอน (0.15-0.28%) และแมgnีเซียม (0.05-0.14%) (Sahoo และคณะ, 1998; Kitimasak และคณะ, 2003; Osborne และ Thompson, 2005; Al-Bahry, 2009) โดยมีคาร์บอน ออกซิเจนและแคลเซียมเป็นธาตุองค์ประกอบหลักสอดคล้องกับรายงานการวิจัยของ Al-Bahry (2009) ซึ่งทำการวิเคราะห์องค์ประกอบธาตุเปลือกไข่เต่าตันด้วย EDX พบว่าเปลือกไข่เต่าตันประกอบด้วยคาร์บอน ออกซิเจนและแคลเซียมเป็นส่วนใหญ่และธาตุองค์ประกอบอื่นๆ ในปริมาณที่น้อยมาก เช่น ซิลิกอน กำมะถัน คลอรีน อะลูมิเนียม แมgnีเซียม โซเดียม โพแทสเซียมและอื่นๆ จากการเปรียบเทียบปริมาณธาตุในเปลือกไข่ทั้ง 3 ชั้น พบว่าเปอร์เซ็นต์คาร์บอนในเปลือกไข่ชั้นนอกน้อยที่สุดแต่มีเปอร์เซ็นต์ของแคลเซียมมากที่สุดสอดคล้องกับรายงานการวิจัยของ Al-Bahry (2009) ที่ศึกษาโดยใช้วิธีการทำแผนที่ธาตุพบว่าแคลเซียมส่วนใหญ่สะสมอยู่ในเปลือกไข่ชั้นนอก ส่วนชั้นกลางและชั้นในมีเปอร์เซ็นต์ของคาร์บอนและแคลเซียมไม่แตกต่างกันอย่างมีนัยสำคัญ ($P<0.05$) ปริมาณออกซิเจนในเปลือกไข่ชั้นกลางน้อยกว่าชั้นนอกและชั้นในอย่างมีนัยสำคัญ ($P<0.05$) ปริมาณกำมะถันพบมากในเปลือกไข่ชั้นกลาง ชั้นในและชั้นนอก

ตามลำดับ ปริมาณคลอรีนในเปลือกไข่ชั้นกลางมากกว่าชั้นนอกและชั้นในอย่างมีนัยสำคัญ ($P<0.05$) ส่วนปริมาณโซเดียม ซิลิกอนและแมgnีเซียมไม่แตกต่างกันในแต่ละชั้น (Sahoo 1998, Al-Bahry 2009) พบการปนเปื้อนของชาตุโลหะหนักคือ ตะกั่ว พาลาเดียมและโนลิบดินัม ปริมาณ 0.1-0.5 เปอร์เซ็นต์ ในเปลือกไข่ต่าทั้ง 3 ชนิด พบทองแดงในเปลือกไข่ต่าตนุและเต่ามะเฟือง พบแคดเมียมในเปลือกไข่ต่าตนุ โดยโลหะหนักที่พบมากพบอยู่ในเปลือกไข่ชั้นนอก ยกเว้นโนลิบดินัม พบในเปลือกไข่ทั้ง 3 ชั้นและพบชาตุอื่นๆ คือ ไบรมีนและไอโอดีน การปนเปื้อนของโลหะหนัก น่าจะเกิดขึ้นในระหว่างกระบวนการสร้างเปลือกไข่เนื่องจากสภาพแวดล้อมบริเวณแหล่งที่อยู่อาศัย และแหล่งอาหาร เช่น น้ำทะเลบริเวณแหล่งที่อยู่อาศัยอาจมีการปนเปื้อนของโลหะหนักซึ่งเมื่อน้ำทะเลเข้าสู่ตัวของต่าทะเล โลหะหนักที่ปนเปื้อนอาจเข้าไปจับกับไออกอนหรือชาตุในร่างกายและสะสมอยู่ในอวัยวะต่างๆ เมื่อมีกระบวนการสร้างเปลือกไข่มีความต้องการใช้ชาตุซึ่งอาจรวมตัวอยู่ กับ โลหะหนัก จึงมีการถ่ายสารประกอบดังกล่าวเพื่อใช้ในกระบวนการสร้างไข่ขณะเดียวกันก็ทำให้เกิดไออกอนของโลหะหนักซึ่งสามารถจับกับชาตุในขณะที่สร้างเปลือกไข่ได้ จากผลการศึกษา พบว่า โลหะหนักส่วนใหญ่สะสมอยู่ในเปลือกไข่ชั้นนอกคาดว่า โลหะหนักดังกล่าวคือ ตะกั่ว พาลาเดียม ทองแดง และแคดเมียมน่าจะจับกับแคดเมียมได้ดีจึงตรวจพบการปนเปื้อนของโลหะหนักข้างต้นใน เปลือกไข่ชั้นนอกซึ่งมีแคดเมียมสะสมอยู่มากสอดคล้องกับรายงานการวิจัยของ Guirlet และคณะ (2008) ศึกษาความเข้มข้นของชาตุโลหะที่ไม่เป็นพิษ ได้แก่ ทองแดง สังกะสีและซิลิเนียม ความเข้มข้นของชาตุโลหะที่เป็นพิษ ได้แก่ แคดเมียม ตะกั่วและprotoในเลือดและไข่ของเต่ามะเฟืองในกุญแจ พบว่า ความเข้มข้นของชาตุดังกล่าวมีความสัมพันธ์กันในลักษณะที่ เนื่องจากมีการส่งผ่านจากเลือดของแม่เต่าไปยังไข่ โดยซิลิเนียมมีบทบาทสำคัญในการเริ่มต้น ของตัวอ่อน โดยทำหน้าที่เป็นตัวพาโปรตีน ซึ่งจากการศึกษาพบว่า แคดเมียมสามารถทำหน้าที่ได้ เช่นเดียวกับซิลิเนียม ในกุญแจ ไข่ความเข้มข้นของทองแดงในน้ำเลือดลดลงขณะที่ความเข้มข้น ของตะกั่วเพิ่มขึ้น ซึ่งอธิบายได้ว่า ในขณะที่แม่เต่ามีการสร้างไข่ มีความต้องการแคดเมียมในกระบวนการสร้างไข่ ซึ่งมักจะควบคู่ไปกับกระบวนการถ่ายทอดของตะกั่ว ทำให้ในเลือดมีความเข้มข้นของตะกั่วเพิ่มสูงขึ้นตลอดกุญแจ ไข่ แต่ความเข้มข้นของโลหะที่เป็นพิษมีน้อยกว่าชาตุโลหะ

ที่ไม่เป็นพิษ ซึ่งโลหะที่ปนเปื้อนบางชนิดอาจส่งต่อการเจริญของตัวอ่อนเนื่องจากโลหะหนักจะมีผลต่อการเจริญของตัวอ่อนและระดับฮอร์โมนไทรอยด์ ทั้ง throxine (T_4) และ triiodothyronine (T_3) ทำให้อัตราส่วนของไทรอยด์ฮอร์โมน T_3 ต่อ T_4 ลดลงเป็นสาเหตุให้ตัวอ่อนตาย โดยซึ่งโลหะหนักส่งผ่านเข้าสู่ตัวอ่อนโดยวิธี active-transport พร้อมกับนำซึ่งการปนเปื้อนในดินและนำส่งผลต่ออัตราการเจริญของตัวอ่อนได้ (Brasfield และคณะ, 2004; Van Meter 2006) จึงอาจใช้ไปเต่าทะเลเป็นดัชนีชี้วัดการปนเปื้อนของโลหะหนักในน้ำทะเลได้

เปลือกไข่เต่ากระประกอบด้วยชาตุจากมากไปน้อย ดังนี้ คาร์บอน (54.16-63.38%) ออกซิเจน (31.93-37.50%) แคลเซียม (0.32-8.30%) กำมะถัน (1.57-2.31%) โซเดียม (0.52-1.23%) คลอรีน (0.32-1.14%) แมgnีเซียม (0.04-0.27%) และซิลิกอน (0.06-0.19%) เปเลือกไข่เต่ามะ悱องประกอบด้วยชาตุจากมากไปน้อย ดังนี้ คาร์บอน (47.19-50.32%) ออกซิเจน (37.18-43.80%) แคลเซียม (3.09-14.44%) กำมะถัน (1.81-2.15%) ซิลิกอน (0.17-0.23%) คลอรีน (0.05-0.13%) โซเดียม (0.10-0.13%) และแมgnีเซียม (0.04-0.08%) (Sahoo และคณะ, 1998; Kitimasak และคณะ, 2003; Osborne และ Thompson, 2005; Al-Bahry, 2009)

แคลเซียมซึ่งจัดเป็นชาตุที่มีความสำคัญต่อการเจริญเติบโตของตัวอ่อนพบมากที่เปลือกไข่ชั้นนอกสอดคล้องกับรายงานของ Bustard และ Greenham (1968) กล่าวว่ากระบวนการย่อยสลายเกิดโดยการบ่อนไดออกไซด์จากตัวอ่อนถูกส่งออกภายนอกเปลือก ซึ่งคาร์บอนไดออกไซด์จะทำปฏิกิริยา กับน้ำเป็นกรดcarbonic ซึ่งจะไปเปลี่ยนรูปแคลเซียม carbonate บนเปลือกชั้นนอกให้อยู่ในรูปแคลเซียม ในการบ่อนเนตซึ่งเป็นรูปที่สามารถดูดซึมได้ง่าย

3. ศึกษาองค์ประกอบของชาตุในแต่ละชั้นของเปลือกไข่เต่ากระ เต่าตนุและเต่ามะเฟืองโดยใช้หัวตรวจวัด BEI และการทำแผนที่ชาตุองค์ประกอบ

ผลการศึกษาองค์ประกอบของชาตุในเปลือกไข่เต่าทั้ง 3 ชนิด โดยใช้หัวตรวจวัด BEI และการทำแผนที่ชาตุองค์ประกอบสอดคล้องกับผลการวิเคราะห์ชาตุโดยใช้หัวตรวจวัด EDX คือเปลือกไข่ชั้นนอกของเต่าทะเลเป็นสารประกอบเดียวกันทั้งชั้น นั่นคือแคลเซียมคาร์บอเนต (ศันส.รี.ยา, 2540; Solomon และ Baird, 1976; Baird และ Solomon, 1979; Packard และ Packard, 1988; Al-Bahry, 2009) เนื่องจากผลการศึกษาโดยใช้หัวตรวจวัด BEI ปรากฏว่าเปลือกไข่เต่าทะเลมีองค์ประกอบของผิวเปลือกไข่เหมือนกันนั่นคือจากภาพแสดงความเปรียบต่างและความสว่างของทุกบริเวณเหมือนกัน นอกจากนั้นการศึกษาโดยการทำแผนที่ชาตุองค์ประกอบแสดงให้เห็นว่าชาตุкар์บอนออกไซเจน กำมะถัน อะลูมิเนียม โซเดียม ฟอสฟอรัส โนลิบดินัม คลอรีนและแมกนีเซียมมีการกระจายทั่วทั้ง 3 ชั้น ส่วนแคลเซียมส่วนใหญ่จะอยู่ในเปลือกไข่ชั้นนอก (Al-Bahry, 2009) สอดคล้องกับผลการศึกษาด้วย EDX และ BEI

บทที่ 6

สรุปผลการทดลอง

1. ศึกษาสัณฐานวิทยาและโครงสร้างอย่างละเอียดของเปลือกไข่เต่าต้น เต่ากระ และเต่ามะเฟือง

เปลือกไข่เต่าทะเลมี 3 ชั้น ประกอบด้วย ชั้นนอก เรียกว่า outer cuticle layer หรือ calcareous layer ชั้นกลาง เรียกว่า middle layer หรือ middle multistrata layer และชั้นใน เรียกว่า inner fibrous layer ความหนาของเปลือกไข่เต่าต้น เต่ากระและเต่ามะเฟือง เท่ากับ 154.35 ± 21.47 , 210.78 ± 24.37 และ 213.19 ± 21.14 ไมโครเมตร ตามลำดับ โดยเปลือกไข่ชั้นนอกมีลักษณะเป็นกลุ่มของผลึกรูปหนามแหลมรวมตัวกันแผ่นออกในแนวรัศมี เมื่อคุ้งจากด้านข้างของเปลือกไข่พบว่ามีลักษณะคล้ายรูปพัด ซึ่งลักษณะกลุ่มผลึกจะแตกต่างกันในเต่าแต่ละชนิดคือเต่าต้นและ เต่ามะเฟือง มีลักษณะผลึกรูปร่างหนามแหลมเท่านั้นที่รวมตัวกันเป็นกลุ่มแผ่นรัศมี แต่เต่ากระมีผลึกรูปร่างกลมแทรกระหว่างกลุ่มของผลึกรูปหนามแหลมซึ่งเรียกว่าชิดกันแน่น บริเวณส่วนกลางของกลุ่มผลึกยังติดกับฐานซึ่งเป็นส่วนบนของเปลือกไข่ชั้นกลาง เกิดการตกผลึกของแคลเซียมคาร์บอนเนตจากจุดกำเนิดบนเปลือกไข่ชั้นกลาง โดยการซักนำของแมกนีเซียมคาร์บอนเนตและน้ำ บริเวณที่กลุ่มผลึกยังติดกับฐานมีรูซึ่งอาจมีรูเดียวหรือหลายรูเชื่อมต่อ กับเปลือกไข่ชั้นกลาง เปเลือกไข่ชั้นกลางมีลักษณะเป็นโครงสร้างของเส้นใยสานกันเป็นร่างแท้ มีช่องว่างระหว่างเส้นใยที่สานกันซึ่งเชื่อมต่อกับเปลือกไข่ชั้นใน สำหรับการแลกเปลี่ยนแก๊สระหว่างตัวอ่อนกับสิ่งแวดล้อมภายนอกและมีสารประกอบโซเดียมคลอไรด์ ส่วนเปลือกไข่ชั้นในประกอบด้วยเส้นใยสานกันแน่นมาก จากผลการทดลองสามารถใช้ข้อมูลของสัณฐานวิทยาและโครงสร้างของเปลือกไข่เป็นเกณฑ์ในการจำแนกชนิดของเต่าทะเลได้ แต่ต้องใช้ข้อมูลที่เกี่ยวข้องอื่นๆ ประกอบด้วย เช่น ข้อมูลเกี่ยวกับชีววิทยาของเต่าทะเล รายงานการขึ้นวางแผนที่ของเต่าทะเลในแต่ละห้องที่ เป็นต้น

2. ศึกษาองค์ประกอบของชาตุในแต่ละชั้นของเปลือกไข่เต่าต้น เต่ากระ และเต่ามะเฟือง

เปลือกไข่เต่าต้นประกอบด้วยชาตุcarboxon ออกซิเจน แคลเซียม กำมะถัน โซเดียม คลอรีน ซิลิกอนและแมกนีเซียม โดยการบอน ออกซิเจนและแคลเซียมเป็นชาตุองค์ประกอบหลักอยู่ในรูปของผลึกแคลเซียมคาร์บอนเนตแบบราโ哥ไนท์ โดยเฉพาะแคลเซียมซึ่งจัดเป็นชาตุที่มี

ความสำคัญต่อการเจริญเติบโตของตัวอ่อนส่วนใหญ่จะสมอยู่ในเปลือกไข่ชั้นนอก ส่วนชาตุอื่นๆ กระจายอยู่ทั่วไปในเปลือกไข่ทั้ง 3 ชั้นและมีเปอร์เซ็นต์น้อย ในเปลือกไข่ชั้นกลางมีสารประกอบของโซเดียมคลอไรด์ นอกจากนี้พบการปนเปื้อนของชาตุโลหะหนักปริมาณ 0.1-0.5 เปอร์เซ็นต์คือตะกั่ว พาลาเดียมและโมลิบดินัม ในเปลือกไข่เต่าทั้ง 3 ชนิด พบทองแดงในเปลือกไข่เต่าตันและเต่ามะเฟือง และพบแคนเดเมียมในเปลือกไข่เต่าตัน โดยโลหะหนักที่พบมากพบอยู่ในเปลือกไข่ชั้นนอกยกเว้นโมลิบดินัมพบในเปลือกไข่ทั้ง 3 ชั้น และพบชาตุอื่นๆ คือโนบเรียมและไอโอดีน

3. ศึกษาองค์ประกอบชาตุในแต่ละชั้นของเปลือกไข่เต่ากระ เต่าตันและเต่ามะเฟืองโดยใช้หัวตรวจวัด BEI และการทำแผนที่ชาตุองค์ประกอบ

ชาตุcar์บอน ออกซิเจนและแคลเซียมเป็นชาตุองค์ประกอบหลักในเปลือกไข่เต่าทะเลโดยมีการกระจายตัวของชาตุต่างกัน การบอน ออกซิเจน กำมะถัน ฟอสฟอรัสและแมกนีเซียมกระจายตัวอยู่ทั่วไปในทั้ง 3 ชั้นของเปลือกไข่เต่าทะเล แคลเซียมพบมากในเปลือกไข่ชั้นนอก ซึ่งจะรวมตัวกับคาร์บอนและออกซิเจนเป็นสารประกอบแคลเซียมคาร์บอนেตในรูปแบบอะโรโกในที่ส่วนโซเดียมและคลอเรนกรวยอยู่ในเปลือกไข่ชั้นกลางเป็นส่วนใหญ่ ซึ่งจะรวมตัวกันเป็นสารประกอบโซเดียมคลอไรด์

บรรณานุกรม

ภาษาไทย

- กำชัน สินธวนนท์. สารานุกรมไทยสำหรับเยาวชนฯ เล่มที่ 21. ค่ายสุทธาการพิมพ์, 2539. 335.
 กระทรงทรัพยากรธรรมชาติและสิ่งแวดล้อม. กสก. กระทรง กำหนดให้สัตว์ป่าบางชนิดเป็นสัตว์ป่า
 คุ้มครอง. ราชกิจจานุเบกษา. เล่มที่ 120 ตอนที่ 74ก, 2546.
- บพิช จารุพันธ์ และ นันทร พ. จารุพันธ์. สัตว์วิทยา. พิมพ์ครั้งที่ 4. สำนักพิมพ์มหาวิทยาลัยเกษตร
 ศาสตร์ กรุงเทพฯ, 2547. 458.
- บุญเลิศ พาสุก. เต่าทะเลและการอนุรักษ์ วารสารการประมง 34 (2524.): 253-265.
- นิวัติ เรืองพาณิช. การอนุรักษ์ทรัพยากรธรรมชาติและสิ่งแวดล้อม (โครงการดำราชุดการจัดการ
 และอนุรักษ์ทรัพยากรธรรมชาติ เล่ม 1 คณะวนศาสตร์มหาวิทยาลัยเกษตรศาสตร์. พิมพ์
 ครั้งที่ 2. สำนิตรอฟเฟซ, 2537. 410.
- แม่น ออมรลิท. หลักการและเทคนิคการวิเคราะห์เชิงเครื่องมือ. ห้างหุ้นส่วนจำกัด โรงพิมพ์ชาน-
 พิมพ์ กรุงเทพฯ, 2534. 886.
- สำนักงานสภากินแบ่งรัฐบาล. บ้านของเต่าทะเล. บริษัท มาสเตอร์ คีย์ จำกัด, 2547. 84 หน้า.
- สมเกียรติ สุนทรพิทักษ์กุล, วีระชาติ เทพพิพิธ และทิพวรรณ เศรษฐพรรศ. การสำรวจเต่าทะเล.
 กรมป่าไม้สำนักอนุรักษ์ทรัพยากรธรรมชาติ ส่วนอุทยานแห่งชาติทางทะเล กรุงเทพฯ.
 2543. 48.
- ศันติรียา วงศ์กลางถุร. การศึกษาเบรียบเที่ยบปัจจัยทางสิ่งแวดล้อมของแหล่งวางไข่และสัณฐานวิทยา
ของเปลือกไข่เต่าหawksbill Lepidochelys olivacea จากธรรมชาติและจากบ่อเลี้ยง. ปริญญา
 มหาบัณฑิต. สาขาวิชาสัตว์วิทยา ภาควิชาชีววิทยา จุฬาลงกรณ์มหาวิทยาลัย, 2540. 127.

ภาษาต่างประเทศ

- Aguirre A.A., G.H. Balazs, B. Zimmerman and FD. Galey. Organic contaminants and trace
 metals in the tissues of green turtles (*Chelonia mydas*) afflicted with fibropapillomas in
 the Hawaiian Islands. Mar. Pollut. Bull. 28 (1994a): 109 -114.
- Aguirre A.A. and G.M. Tabor. Introduction: marine vertebrates as sentinels of marine ecosystem
 health. EcoHealth 1 (2004): 236-238.

- Aguirre A.A., S.C. Gardner, J.C. Marsh, S.G. Delgado, C.J. Limpus and W.J. Nichols. Hazards associated with the consumption of sea turtle meat and eggs: A review for health care workers and the general public. EcoHealth. 3 (2006): 141-153.
- Alava J.J., J.M. Keller, J.R. Kucklick, J. Wyneken, L. Crowder and G.I. Scott. Loggerhead sea turtle (*Caretta caretta*) egg yolk concentrations of persistent organic pollutants and lipid increase during the last stage of embryonic development. Sci. Total Environ. 367 (2006): 170-181.
- Al-Bahry S.N., I.Y. Mahmoud, I.S. Al-Amri, T.A. Ba-Omar, K.O. Melgheit and A.Y. Al-Kindi. Ultrastructural features and elemental distribution in eggshell during pre and post hatching periods in the green turtle, *Chelonia mydas* at Ras Al-Hadd, Oman. Tissue and Cell 41 (2009): 214-221.
- Alkindi A.Y.A., I.Y. Mahmoud, M.J. Woller and J.L. Plude. Oviductal morphology in relation to hormonal levels in the snapping turtle (*Chelydra serpentina*). Tissue and Cell 38 (2006): 19-33.
- Avens L. and K.J. Lohmann. Navigation and seasonal migratory orientation in juvenile sea turtles. J. Exp. Biol. 207 (2004): 1771-1778.
- Baird T. and S.E. Solomon. Calcite and aragonite in the egg shell of *Chelonia mydas* L. J. Exp. Mar. Biol. Ecol. 36 (1979): 295-303.
- Bilinski J.J., R.D. Reina, J.R. Spotila and F.V. Paladino . The effects of nest environment on calcium mobilization by leatherback turtle embryos (*Dermochelys coriacea*) during development. Comp. Biochem. Physiol. A. 130 (2001): 151-162.
- Bishop C.A., P. Ng, K.E. Pettit, S.W. Kennedy, J.J. Stegeman, R.J. Norstrom and R.J. Brooks. Environmental contamination and developmental abnormalities in eggs and hatchlings of the common snapping turtle, *Chelydra serpentine serpentina* from the Great Lakes-St Lawrence River Basin (1989-91). Environ. Pollut. 101 (1998): 143-156.
- Booth D.T. Incubation of turtle eggs at different temperatures: Do embryos compensate for temperature during development. Physiol. Zool. 71 (1998): 23-26.
- Booth D.T. Incubation of rigid-shelled turtle eggs: Do hydric conditions matter. J. Comp. Physiol. B. 172 (2002): 627-633.

- Bowen B.W., W.S. Nelson and J.C. Avise. A molecular phylogeny for marine turtles: Trait mapping, rate assessment, and conservation relevance. *Proc. Natl. Acad. Sci. USA* 90 (1993): 5574-5577.
- Brasfield S.M., K. Bradham, J.B. Wells, L.G. Talent, R.P. Lanno and D.M. Janz. Development of a terrestrial vertebrate model for assessing bioavailability of cadmium in the fence lizard (*Sceloporus undulates*) and in ovo effects on hatchling size and thyroid function. *Chemosphere* 54 (2004): 1643-1651.
- Bustard R. and P. Greenham. Physical and chemical factor affecting hatching in the green sea turtle *Chelonia mydas* L. *Ecology* 49 (1968): 269-276.
- Cai Y., T. Zhou and X. Ji. Embryonic growth and mobilization of energy and material in oviposited eggs of the red-necked keelback snake, *Rhabdophis tigrinus lateralis*. *Comp. Biochem. Physiol. A*. 147 (2007): 57-63.
- Carpenter K. Making an Egg. *Eggs, Nests and Baby Dinosaurs*. Indiana University Press. 1999. 85-97.
- Chantrapornsy I S. and O. Bhatiyasevi. Nesting behavior and some biological aspects of olive ridley turtle (*Lepidochelys olivacea*) in captivity. *Phuket mar. biol. Cent. Res. Bull.* 59 (1994): 27-31.
- Clifford A.H. Concentrations of chromium, manganese, and lead in air and in avian eggs. *Environ. Pollut.* 120 (2002): 201-206.
- Devkota B. and G.H. Schmidt. Effects of heavy metals (Hg^{2+} , Cd^{2+} , Pb^{2+}) during the embryonic development of acridid grasshoppers (Insecta Caelifera). *Arch. Environ. Contam. Toxicol.* 36 (1999): 405-414.
- Drake D.L. and J.R. Spotila. Thermal tolerances and the timing of sea turtle hatchling emergence. *J. Therm. Biol.* 27 (2002): 71-81.
- Du W.G. and X. Ji. The effects of incubation thermal environments on size, locomotor performance and early growth of hatchling soft-shelled turtles, *Pelodiscus sinensis*. *J. Therm. Biol.* 28 (2003): 279-286.
- Eckert K.L., K.A. Bjorndal, F.A. Abreu-Grobois and M. Donnelly. *Research and management techniques for the conservation of sea turtles*. Consolidated Graphic Communications, Pennsylvania U.S.A. 1999. 235.

- Ewert M.A. Embryology of turtles In: Grans C., Billert F., Maderson P.F.A. (Eds.), Biology of the Reptilian. Wiley, New York 14 (1985): 75-267.
- Fordham D.A., A. Georges and B. Corey. Optimal conditions for egg storage, incubation and post-hatching growth for the freshwater turtle, *Chelodina rugosa*: Science in support of an indigenous enterprise. Aquaculture 270 (2007): 105-114.
- Franzellitti S., C. Locatelli, G. Gerosa, C. Vallini and E. Fabbri. Heavy metals in tissues of loggerhead turtles (*Caretta caretta*) from the northwestern Adriatic Sea. Comp. Biochem. Physiol. C, 138 (2004): 187-194.
- Gómara B., G. Gómez, C. Díaz-Paniagua, A. Marco and M.J. González. PCB, DDT, arsenic, and heavy metal (Cd, Cu, Pb, and Zn) concentrations in chameleon (*Chamaeleo chamaeleon*) eggs from Southwest Spain. Chemosphere 68 (2007): 25-31.
- Guirlet E., K. Das and M. Girondot. Maternal transfer of trace elements in leatherback turtles (*Dermochelys coriacea*) of French Guiana. Aquat. Toxicol. 88 (2008): 267-276.
- Hays G.C., A.C. Broderick, F. Glen and B.J. Godley. Change in body mass associated with long-term fasting in a marine reptile: the case of green turtles (*Chelonia mydas*) at Ascension Island. Can. J. Zool. 80 (2002): 1299-1302.
- Hirsch K.F. Contemporary and fossil chelonian eggshells. Copeia 2 (1983): 382-397.
- Houghton J.D.R., A.E. Myers, C. Lloyd, R.S. King, C. Isaacs and G.C. Hays.. Protracted rainfall decreases temperature within leatherback turtle (*Dermochelys coriacea*) clutches in Grenada, West Indies: Ecological implications for a species displaying temperature dependent sex determination. J. Exp. Mar. Biol. Ecol. 345 (2007): 71-77.
- Kitimasak W., K. Thirakhupt and D.L. Moll. Eggshell structure of the siamese narrow-headed softshell turtle *Chitra chitra* Nutphand, 1986 (Testudines: Trionychidae). Science Asia 29 (2003): 95-98.
- Kittiwattanawong K., S. Chantrapornsyl, W. Sakamoto and N. Arai. Tracking of green turtles *Chelonia mydas* in the Andaman sea using platform transmitter terminals. Phuket mar. biol. Cent. Res. Bull. 64 (2002): 81-87.
- Kobayashi N. and H. Okamura. Effects of heavy metals on sea urchin embryo development. Part 1. Tracing the cause by the effects. Chemosphere 55 (2004): 1403-1412.

- Lam J.C.W., S. Tanab, S.K.F. Chan, M.H.W. Lam, M. Martin and P.K.S. Lam. Levels of trace elements in green turtle eggs collected from Hong Kong: Evidence of risks due to selenium and nickel. *Environ. Pollut.* 144 (2006): 790-801.
- Limpus C. A marine resource case study: climate change and sea level rise probable impacts on marine turtles, p. 157. In: Hay J. E. and Kaluwin C. (Eds). *Climate Change and Sea Level Rise in the South Pacific Region*. Australia. 1993.
- Lin L.H., H. Li, H. An and X. Ji. Do temperature fluctuations during incubation always play an important role in shaping the phenotype of hatchling reptiles. *Journal of Thermal Biology*. 2008.
- Maffucci F., F. Caurant, P. Bustamante and F. Bentivegna. Trace elements (Cd, Cu, Hg, Se, Zn) accumulation and tissue distribution in loggerhead turtles (*Caretta caretta*) from the Western Mediterranean Sea (southern Italy). *Chemosphere* 58 (2005): 535-542.
- Mahmoud I.Y., J.R. Paulson, M. Dudley, J.S. Patzlaff and A.Y.A. Al-Kindi. Secretory proteins in the reproductive tract of the snapping turtle, *Chelhydra serpentina*. *Comp.Biochem. Physiol. A* 139 (2004): 487–494.
- Mascarenhas R., R. Santos and D. Zeppelini. Plastic debris ingestion by sea turtle in Paraíba, Brazil. *Mar. Pollut. Bull.* 49 (2004): 354–355.
- Mazaris A.D., A.S. Kallimanis, S.P. Sgardelis and J.D. Pantis. Do long-term changes in sea surface temperature at the breeding areas affect the breeding dates and reproduction performance of Mediterranean loggerhead turtles? Implications for climate change. *J. Exp. Mar. Biol. Ecol.* 367 (2008): 219-226.
- Mrosovsky N. Ecology and nest-site selection of leatherback turtles *Dermochelys coriacea*. *Biol. Cons.* 26 (1983): 47-56.
- Nechaeva M.V., I.G. Makarenko, E.B. Tsitrin and N.P. Zhdanova. Physiological and morphological characteristics of the rhythmic contractions of the amnion in veiled chameleon (*Chamaeleo calyptratus*) embryogenesis. *Comp. Biochem. Physiol. A* 140 (2005): 19-28.
- Nicolson S.W. and P.L. Lutz. Salt gland function in the green sea turtle *Chelonia mydas*. *J. exp. Biol.* 144 (1989): 171-184.

- Osborne L. and M.B. Thompson. Chemical composition and structure of the eggshell of three oviparous lizards. *Copeia* 3 (2005): 683-692.
- Packard G.C., T.L. Taigen, M.J. Packard and T.J. Boardman. Changes in mass of eggshell turtles (*Trionyx spiniferus*) incubate under hydric conditions simulating those of natural nests. *J. Zool. A* 193 (1981): 81-90.
- Packard M.J., J.B. Iverson and G.C. Packard. Morphology of shell formation in eggs of the turtle *Kinosternon flavescens*. *J. Morphol.* 181 (1984): 21-28.
- Packard M.J. and G.C. Packard. The effect of water balance of eggs on growth and calcium metabolism of embryonic painted turtles (*Chrysemys picta*). *Physiol. Zool.* 59 (1986): 398-405.
- Packard G.C. and M.J. Packard. The Physiological Ecology of Reptilian Eggs and Embryos. In C. Gans and R.B. Huey (eds.), *Biology of Reptila*. 16 (1988). New York: Alan r. Liss, Inc.
- Packard M.J., M.J. Packard and G.C. Packard. Sources of calcium, magnecium and phosphorus for embryonic softshell turtles (*Trionyx piniferus*). *J. Exp. Zool.* 258 (1991): 151-157.
- Pike D.A. Environmental correlates of nesting in loggerhead turtles, *Caretta caretta*. *Anim. Behav.* 76 (2008): 603-610.
- Pina C.I., M. Simoncini, P. Siroski and A. Larriera. Storage of *Caiman latirostris* (Crocodylia: Alligatoridae) eggs in harvest containers: Effects on hatchability. *Aquaculture* 271 (2007): 271-274.
- Ramsey M. and D. Crews. Review: Steroid signaling and temperature-dependent sex determination-Reviewing the evidence for early action of estrogen during ovarian determination in turtles. *Semin. Cell Dev. Biol.* 20 (2009): 283-292.
- Romanoff A.L. and A.J. Romanoff. *The Avian Egg*. New York: John Wiley & Sons Inc. 1949. 918.
- Sahoo G., R.K. Sahoo and P. Mohanty-Hejmadi. Calcium metabolism in olive ridley turtle eggs during embryonic development. *Comp. Biochem. Physiol. A* 121 (1998): 91-97.
- Sakai H., H. Ichihashi, H. Suganuma and R. Tatsukawa. Heavy metal monitoring in sea turtles using eggs. *Mar. Polut. Bull.* 30 (1995): 347-353.

- Solomon S.E. and T. Baird . Studies on the egg shell (Oviducal and Oviposited) of *Chelonia mydas* L. . J. Exp. Mar. Biol. Ecol. 22 (1976): 15-16.
- South Sea Research Institute (SSRI) and Korea Ocean Research and Development Institute (KORDI), Geoje, Korea. Biochemical Responses of Fish to Oil Spills and Other Marine Pollutants, 3-14 November 2008. 117.
- Stewart J.R. and M.B. Thompson. Review: Evolution of placentation among squamate reptiles: recent research and future directions. Comp. Biochem. Physiol. A 127 (2000): 411-431.
- Storelli M.M., A. Storelli, R.D. Addabbo, C. Marano, R. Bruno and G.O. Marcotrigiano. Trace elements in loggerhead turtles (*Caretta caretta*) from the Eastern Mediterranean Sea: overview and evaluation. Environ. Pollut. 135 (2005): 163-170.
- Swaileh, K.M. and R. Sansur. Monitoring urban heavy metal pollution using the House Sparrow (*Passer domesticus*). Environ. Monit. 8 (2006): 209-213.
- Thompson M.B., B.K. Speake, K.J. Russell, R.J. McCartney and P.F. Surai. Changes in fatty acid profiles and in protein, ion and energy contents of eggs of the Murray short-necked turtle, *Emydura macquarii* (Chelonia, Pleurodira) during development. Comp. Biochem. Physiol. A. 122 (1999): 75-84.
- Thompson M.B. and B.K. Speake. Review: Energy and nutrient utilization by embryonic reptiles. Comp. Biochem. Physiol. A 133 (2003): 529-538.
- Tryfonas A.E., J.K. Tucker, P.E. Brunkow, K.A. Johnson, H.S. Hussein, Z.Q. Lin. Metal accumulation in eggs of red-eared slider (*Trachemys scripta elegans*) in the Lower Illinois River. Chemosphere 63 (2006): 39-48.
- Wack C.L., S.F. Fox, E.C. Hellgren and M.B. Lovorn. Effects of sex, age, and season on plasma steroids in free-ranging Texas horned lizards (*Phrynosoma cornutum*). Gen. Comp. Endocrin. 155 (2008): 589-596.
- Wallace B.P., P.R. Sotherland, P.S. Tomillo, S.S. Bouchard, R.D. Reina, J.R. Spotila and F.V. Paladino. Egg components, egg size, and hatchling size in leatherback turtles. Comp. Biochem. Physiol. A. 145 (2006): 524-532.
- Winkler J.D. Testing phylogenetic implications of eggshell characters in side-necked turtles (Testudines: Pleurodira). Zoology 109 (2006): 127-136.

- Van Meter R.J., J.R. Spotila and H.W. Avery. Polycyclic aromatic hydrocarbons affect survival and development of common snapping turtle (*Chelydra serpentina*) embryos and hatchlings. Environ. Pollut. 142 (2006): 466-475.
- Xiangkun H., S. Li, L. Meiyiing, B. Huijun, H. Nainan and C. Qiusheng. Seasonal changes of sperm storage and correlative structures in male and female soft-shelled turtles, *Trionyx sinensis*. Anim.Reprod. Sci. 108 (2008): 435-445.
- You W.H. and P.C. Wang. Study on calcium and magnesium metabolism on embryonic development of *Chinemys reevesii*. Chinese J. Zool. 29 (1994a): 20-22.
- Zhu X.P., C.Q. Wei, W.H. Zhao, H.J. Du, Y.L. Chen and J.F. Gui. Effects of incubation temperatures on embryonic development in the Asian yellow pond turtle. Aquaculture 259 (2006): 243-248.

ประวัติผู้วิจัย

ชื่อ-สกุล

นางสาวสรัสวดี นวนสุคนธ์

ที่อยู่

111 หมู่ที่ 11 ตำบลหนองเงาเหลื่อม อำเภอเมือง จังหวัดนครปฐม 73000

ประวัติการศึกษา

พ.ศ. 2545 สำเร็จการศึกษาชั้นมัธยมศึกษาปีที่ 6 จากโรงเรียนประจำวิทยาลัย

พ.ศ. 2549 สำเร็จการศึกษาปริญญาวิทยาศาสตรบัณฑิต คณะวิทยาศาสตร์

สาขาวิทยา มหาวิทยาลัยศิลปากร

พ.ศ. 2550 ศึกษาต่อระดับปริญญาโท สาขาชีวิทยา บัณฑิตวิทยาลัย
มหาวิทยาลัยศิลปากร

วิทยานิพนธ์เรื่อง “ต้นแบบเปลือกไข่ต่าทะเลไทย : วิเคราะห์โครงสร้าง
สัมฐานวิทยาและองค์ประกอบของชาติเพื่อการอนุรักษ์”

ประวัติการทำงาน

พ.ศ. 2549 ผู้ช่วยสอน ภาควิชาชีวิทยา คณะวิทยาศาสตร์ มหาวิทยาลัยศิลปากร

นักวิทยาศาสตร์ สาขาชีวิทยา ศูนย์ปฏิบัติการกลาง สถาบันเทคโนโลยี
พระจอมเกล้าเจ้าคุณทหารลาดกระบัง วิทยาเขตชุมพร

ผลงานที่ตีพิมพ์เผยแพร่

1. Nuamsukon S., T. Chuen-Im, P. Peng-Pan, S. Rattanayuvakorn and M. Areekijseree. (2008) Juvenile Sea Turtles Conservation: Analysis of Structure, Element of Eggshell, Microbiological Investigation. Challenge to Life Sciences: *Molecules and Cells*. The 9th International Congress on Cell Biology & The 20th Annual Conference of the Korean Society for Molecular Biology in conjunction with The 11th Annual Conference of Asia-Pacific International Molecular Biology Network October 7-10, 2008 COEX, Seoul, Korea.
2. Nuamsukon S., T. Chuen-Im, S. Rattanayuvakorn, K. Panishkan, N.A. Narkkong and M. Areekijseree. Thai Marine Turtle Eggshell: Morphology, Ultrastructure and Composition. Proceedings of the 26th MST Annual Conference 28-30 January 2009, Chiangmai, Thailand.

3. Nuamsukon S., T. Chuen-Im, S. Rattanayuvakorn, K. Panishkan, N.A. Narkkong and M. Areekijseree. Thai Marine Turtle Eggshell: Morphology, Ultrastructure and Composition. Journal of Microscopy Society of Thailand 23;1 (2009): 52-56.
4. Nuamsukon S., T. Chuen-Im, and M. Areekijseree. Model of Thai Marine Turtle Eggshell: Analysis of Structure, Morphology and Element for Conservation. 1-3 April 2009. Pattaya, Thailand.
5. Areekijseree M., S. Nuamsukon, T. Chuen-Im, N.A. Narkkong and K. Sribuddhachart. Microanalysis on Ultrastructure and Elemental Composition of Green Turtles (*Chelonia mydas*) Eggshells. Proceedings of the 27th MST Annual Conference, 20-22 January 2010, Samui, Thailand.
6. Nuamsukon S., T. Chuen-Im, and M. Areekijseree Ultrastructure and Elemental Composition in Post Hatching of Green Turtle, Hawksbill Turtle, and Leatherback Turtle Eggshells. 30 March -1 April 2010, Pattaya, Thailand.